

# Fortran 90 数値解析ライブラリ (STPK) マニュアル (Ver.0.9.0.1)

辻野智紀

2012 年 3 月 5 日

# 目 次

|                      |    |
|----------------------|----|
| 第 1 章 概要             | 1  |
| 1.1 概要               | 1  |
| 1.1.1 本ライブラリの特徴      | 1  |
| 第 2 章 インストール・使用方法    | 2  |
| 2.1 インストール           | 2  |
| 2.1.1 アンインストール       | 3  |
| 2.2 使い方              | 3  |
| 2.3 本ライブラリの使用にあたって   | 4  |
| 第 3 章 サブルーチン一覧       | 5  |
| 3.1 alge_solv        | 5  |
| 3.1.1 Poisson_GauSei | 5  |
| 3.1.2 Poisson_Jacobi | 7  |
| 3.2 basis            | 9  |
| 3.2.1 c2i_convert    | 9  |
| 3.2.2 c2r_convert    | 10 |
| 3.2.3 i2c_convert    | 10 |

---

|       |                           |    |
|-------|---------------------------|----|
| 3.2.4 | r2c_convert               | 11 |
| 3.2.5 | rand_make                 | 11 |
| 3.3   | derivation                | 12 |
| 3.3.1 | curl                      | 12 |
| 3.3.2 | curl_3d                   | 14 |
| 3.3.3 | div                       | 15 |
| 3.3.4 | div_3d                    | 16 |
| 3.3.5 | grad_1d                   | 17 |
| 3.3.6 | grad_2d                   | 18 |
| 3.3.7 | grad_3d                   | 19 |
| 3.3.8 | laplacian_1d              | 20 |
| 3.4   | ffts                      | 20 |
| 3.4.1 | c2r_ffttp_1d              | 21 |
| 3.4.2 | ffttp_1d                  | 21 |
| 3.4.3 | ffttp_2d                  | 22 |
| 3.4.4 | r2c_ffttp_1d              | 23 |
| 3.5   | file_operate              | 24 |
| 3.5.1 | auto_read_file            | 25 |
| 3.5.2 | line_number_counter       | 26 |
| 3.5.3 | read_file                 | 26 |
| 3.5.4 | read_file_gtool3          | 27 |
| 3.5.5 | read_file_gtool3_header.c | 28 |

---

|        |  |    |
|--------|--|----|
| 3.5.6  | <code>read_file_gtool3_header_i</code> | 28 |
| 3.5.7  | <code>read_file_gtool3_header_r</code> | 29 |
| 3.5.8  | <code>read_file_text</code>            | 29 |
| 3.5.9  | <code>read_mgdsst</code>               | 30 |
| 3.5.10 | <code>write_file</code>                | 31 |
| 3.6    | <code>math_const</code>                | 31 |
| 3.7    | <code>matrix_calc</code>               | 32 |
| 3.7.1  | <code>Gau_Sei</code>                   | 32 |
| 3.7.2  | <code>Jacobi_algebra</code>            | 32 |
| 3.7.3  | <code>Jacobi_eigen</code>              | 33 |
| 3.7.4  | <code>LU_devs</code>                   | 34 |
| 3.7.5  | <code>SOR_Gau_Sei</code>               | 35 |
| 3.7.6  | <code>SOR_Jacobi_algebra</code>        | 35 |
| 3.7.7  | <code>determ_2d</code>                 | 36 |
| 3.7.8  | <code>eigenvalue_power</code>          | 37 |
| 3.7.9  | <code>gausss</code>                    | 37 |
| 3.7.10 | <code>invert_mat</code>                | 38 |
| 3.7.11 | <code>schumit_norm</code>              | 38 |
| 3.7.12 | <code>trans_mat</code>                 | 39 |
| 3.8    | <code>max_min</code>                   | 39 |
| 3.8.1  | <code>max_val_1d</code>                | 40 |
| 3.8.2  | <code>max_val_2d</code>                | 40 |

---

|        |                  |    |
|--------|------------------|----|
| 3.8.3  | max_val_3d       | 41 |
| 3.8.4  | min_val_1d       | 41 |
| 3.8.5  | min_val_2d       | 42 |
| 3.8.6  | min_val_3d       | 42 |
| 3.9    | phys_const       | 43 |
| 3.10   | poly_function    | 43 |
| 3.10.1 | chebyshev        | 44 |
| 3.10.2 | gegenbauer       | 44 |
| 3.10.3 | hermite          | 45 |
| 3.10.4 | jacobi_poly      | 45 |
| 3.10.5 | laguerre         | 46 |
| 3.10.6 | legendre         | 47 |
| 3.10.7 | sonine           | 47 |
| 3.11   | special_function | 48 |
| 3.11.1 | Full_Ellip1_Func | 48 |
| 3.11.2 | Full_Ellip2_Func | 48 |
| 3.11.3 | bessj            | 49 |
| 3.11.4 | bessy            | 49 |
| 3.11.5 | beszero          | 50 |
| 3.11.6 | beta_func        | 51 |
| 3.11.7 | delta            | 51 |
| 3.11.8 | df_bessj         | 52 |

---

|                                     |    |
|-------------------------------------|----|
| 3.11.9 df_bessy . . . . .           | 52 |
| 3.11.10 epsilon . . . . .           | 53 |
| 3.11.11 gamma_func . . . . .        | 53 |
| 3.11.12 kaijo . . . . .             | 54 |
| 3.11.13 sp_bessj . . . . .          | 54 |
| 3.11.14 sp_bessy . . . . .          | 55 |
| 3.12 statistics . . . . .           | 55 |
| 3.12.1 Anomaly_1d . . . . .         | 55 |
| 3.12.2 Anomaly_2d . . . . .         | 56 |
| 3.12.3 Anomaly_3d . . . . .         | 57 |
| 3.12.4 Cor_Coe . . . . .            | 57 |
| 3.12.5 LSM . . . . .                | 58 |
| 3.12.6 LSM_poly . . . . .           | 59 |
| 3.12.7 Mean_1d . . . . .            | 60 |
| 3.12.8 Mean_2d . . . . .            | 60 |
| 3.12.9 Mean_3d . . . . .            | 61 |
| 3.12.10 Reg_Line . . . . .          | 62 |
| 3.12.11 covariance . . . . .        | 62 |
| 3.12.12 interpo_search_1d . . . . . | 63 |
| 3.12.13 interpo_search_2d . . . . . | 64 |
| 3.12.14 interpo_search_3d . . . . . | 64 |
| 3.12.15 interpolation_1d . . . . .  | 65 |

---

|   |    |
|---|----|
| 3.12.16 interpolation_2d . . . . .      | 66 |
| 3.12.17 interpolation_3d . . . . .      | 67 |
| 3.12.18 nearest_search_1d . . . . .     | 68 |
| 3.12.19 nearest_search_2d . . . . .     | 69 |
| 3.12.20 nearest_search_3d . . . . .     | 70 |
| 3.12.21 stand_vari . . . . .            | 70 |
| 3.13 Thermo_Advanced_Function . . . . . | 71 |
| 3.13.1 CAPE . . . . .                   | 71 |
| 3.13.2 CIN . . . . .                    | 72 |
| 3.13.3 T_LFC . . . . .                  | 73 |
| 3.13.4 T_LNB . . . . .                  | 73 |
| 3.13.5 precip_water . . . . .           | 74 |
| 3.13.6 qrsg_2_dbz . . . . .             | 75 |
| 3.13.7 z_LCL . . . . .                  | 76 |
| 3.13.8 z_LFC . . . . .                  | 77 |
| 3.13.9 z_LNB . . . . .                  | 77 |
| 3.14 thermo_advanced_routine . . . . .  | 78 |
| 3.14.1 Brunt_Freq . . . . .             | 78 |
| 3.14.2 Ertel_PV . . . . .               | 79 |
| 3.15 thermo_const . . . . .             | 80 |
| 3.16 thermo_function . . . . .          | 80 |
| 3.16.1 LH . . . . .                     | 81 |

|                                    |    |
|------------------------------------|----|
| 3.16.2 RHTP_2_qv . . . . .         | 81 |
| 3.16.3 RHT_2_e . . . . .           | 82 |
| 3.16.4 TP_2_qvs . . . . .          | 82 |
| 3.16.5 TP_2_rho . . . . .          | 83 |
| 3.16.6 TqvP_2_TLCL . . . . .       | 84 |
| 3.16.7 TqvP_2_thetae . . . . .     | 84 |
| 3.16.8 TqvP_2_thetaes . . . . .    | 85 |
| 3.16.9 eP_2_qv . . . . .           | 86 |
| 3.16.10 eT_2_RH . . . . .          | 86 |
| 3.16.11 es_Bolton . . . . .        | 87 |
| 3.16.12 es_TD . . . . .            | 87 |
| 3.16.13 exner_func_dry . . . . .   | 88 |
| 3.16.14 get_gamma_d . . . . .      | 88 |
| 3.16.15 goff_gratch . . . . .      | 89 |
| 3.16.16 goff_gratch_i . . . . .    | 89 |
| 3.16.17 hypsometric_form . . . . . | 90 |
| 3.16.18 TP_2_qv . . . . .          | 91 |
| 3.16.19 qvTP_2_RH . . . . .        | 91 |
| 3.16.20 rhoP_2_T . . . . .         | 92 |
| 3.16.21 rhoT_2_P . . . . .         | 92 |
| 3.16.22 tetens . . . . .           | 93 |
| 3.16.23 thetaP_2_T . . . . .       | 93 |



|         |                             |     |
|---------|-----------------------------|-----|
| 3.16.24 | <code>thetaT_2P</code>      | 94  |
| 3.16.25 | <code>theta_dry</code>      | 95  |
| 3.16.26 | <code>theta_moist</code>    | 95  |
| 3.16.27 | <code>thetae_Bolton</code>  | 96  |
| 3.16.28 | <code>thetaes_Bolton</code> | 96  |
| 3.17    | Trajectory                  | 97  |
| 3.17.1  | Forward_Trajectory_2d       | 97  |
| 3.17.2  | Forward_Trajectory_3d       | 99  |
| 3.17.3  | Stream_Line_2d              | 101 |
| 3.17.4  | Stream_Line_3d              | 102 |
| 3.18    | typhoon_analy               | 104 |
| 3.18.1  | grad_wind_pres              | 104 |
| 3.18.2  | hydro_grad_eqb              | 105 |
| 3.18.3  | tangent_mean_anom_scal      | 106 |
| 3.18.4  | tangent_mean_anom_scal_Cart | 107 |
| 3.18.5  | tangent_mean_anom_vec       | 108 |
| 3.18.6  | tangent_mean_scal           | 109 |
| 3.18.7  | tangent_mean_vec            | 111 |
| 第 4 章   | サンプルプログラム                   | 113 |
| 4.1     | サンプルプログラムのコンパイル方法           | 113 |
| 4.2     | 各プログラムの説明                   | 114 |
| 4.3     | advection                   | 114 |

---

|          |                |     |
|----------|----------------|-----|
| 4.4      | cov            | 117 |
| 4.5      | diffusion      | 119 |
| 4.6      | matrix_test    | 122 |
| 4.7      | normal_poly    | 125 |
| 4.8      | poison         | 136 |
| 4.9      | read_mgdsst_nc | 138 |
| 4.10     | SEQ            | 140 |
| 4.11     | thermo         | 142 |
| 4.12     | Thorpe         | 143 |
| 4.13     | wind           | 145 |
| 第 5 章 付録 |                | 149 |

# 第1章 概要

## 1.1 概要

STPK ライブラリとは, Fortran 90 をベースとする数値解析ライブラリである。数値モデルの出力結果から様々な解析を行うために必要な処理をサブルーチンおよび関数という形で表現し、Fortran 90 のモジュールという概念を用いて用途別に関数を分類した関数集ライブラリである。Linux 系で動作するようにコーディングされているので、Linux 系のディストリビューションが多数を占める大学および研究機関の計算機、ワークステーション、果てはスーパーコンピュータにおいても問題なく動作することが期待される。また、近年計算機に使用されるプロセッサはデュアルコア、クアッドコアが当たり前となっている。そのような環境における高速な解析を実現するために、本ライブラリでは、OpenMP と呼ばれるスレッド並列命令を用いることで、一部処理の高速化を図っている。

### 1.1.1 本ライブラリの特徴

本ライブラリの特徴として以下のような事柄があげられる。

- lapack などの純粋な数学ライブラリと同様の処理を行う (例えば、連立一次方程式の求解や固有値問題) サブルーチンが充実している。これに関連して特に特殊関数を計算する関数、サブルーチンが非常に充実している。
- 流体力学において必須となる変数の空間微分等を計算するルーチンが充実している。
- 気象観測等の初期解析として必要となる熱力学関係の処理を行うルーチン (相当温度の計算等) が充実している。

以上のようなことから、本ライブラリを扱う上で必要な技能は、「プログラムのコンパイルができる」、「ルーチンと関数が適切に使える」のみである。これは、Fortran に限らず、プログラム言語を少し覚えて、簡単なプログラムなら書けるレベルとそれ以上のユーザーを対象としており、ライブラリとしての敷居が低いことが言えるであろう。

## 第2章 インストール・使用方法

### 2.1 インストール

本節では、STPK ライブラリのインストール方法を説明する。

1. tar.gz 形式のソースファイルを以下のコマンドで展開する。

```
$ tar zxvf ソースファイル.tar.gz
```

2. ソースファイルの中に configure ファイルが存在することを確認する。
3. コンパイル時に必要となる環境変数を設定する。ただし、用いるコンパイラによって設定する変数は様々であるので、ここでは以下のように例をあげておく。

————— Intel Fortran 版 —————

```
FC = ifort, FCFLAGS='-assume byterecl (必須) -convert big_endian  
-openmp'
```

————— gfortran 版 —————

```
FC = gfortran, FCFLAGS='-fconvert=big-endian -fopenmp'
```

————— Fujitsu Fortran 版 —————

```
FC = frt, FCFLAGS='-KOMP -Am (必須)'
```

————— g95 版 —————

```
FC = g95, FCFLAGS='-fendian=big'
```

ここで、"-convert big\_endian", "-fconvert=big-endian", "-fendian=big" はともに、エンディアン設定である。また、"-openmp", "-fopenmp", "-KOMP" は OpenMP を有効にするオプションである。frt のみは、実行時オプションにてエンディアン変更を行う。さらに、gfortran にて、1 行の文字数制限によるエラーが出た際には、"-ffree-line-length-none" を追加する。また、ifort において、

OpenMP を有効にしたのち、OpenMP 由来の segmentation fault が発生する場合は、サブルーチンで stack に確保されるメモリ容量が大きすぎるのが原因である可能性がある。その場合は、"-heap-arrays 数値" として、確保される配列の一部をヒープ領域に作成することで回避できる可能性がある。特に、3 次元配列を用いて大規模な解析を行う際には、用いるべきである。

4. 展開ディレクトリ内において、configure スクリプトによって Makefile を作成する。

```
$ ./configure --prefix=インストール先ディレクトリ --includedir=モジュールファイルインストール先
```

これらは、デフォルトでは、/usr/local にインストールされる。

5. make する。

```
$ make
```

6. make が正常に終了したら、make install でインストールを行う。

### 2.1.1 アンインストール

アンインストールは、インストール先のライブラリおよび、モジュールファイルを手動で削除すればよい。また、展開ディレクトリ内の config.log 等の中間生成ファイルは make distclean を実行することで削除可能である。

## 2.2 使い方

ここでは、適切に本ライブラリのモジュールを組み込み、適切にサブルーチンを用いたソースファイルがあるとして、そのソースをコンパイルすることを考える。このとき、プログラムのコンパイルには、以下の形式を自身の環境に合わせて適宜書き換えれば OK である。

```
コンパイラ名 -I(includedir のパス) ソースファイル名 -L(prefix/lib のパス)  
-lstpk
```

上を実行すると、a.out という実行形式のプログラムが作成されるはずである。ただし、コンパイル時のその他オプションはインストール時に FCFLAGS に設定したオプションをそのまま使用した方が無難である。

## 2.3 本ライブラリの使用にあたって

本ライブラリは自由に使用, ソースコードの改変を行って頂いて構いません. また, 本ライブラリを使用したことによって発生した損害等は開発者は一切責任を負いません. なお, 本ライブラリを用いた著作物を作成する際は「本研究の解析には数値解析ライブラリ STPK (Version.???) を用いた」と表記して頂ければ幸いである. また, 引用文献として記述する場合は, 「辻野智紀. 2012. Fortran 90 数値解析ライブラリ (STPK) マニュアル」と記述して頂ければ幸いである.

## 第3章 サブルーチン一覧

### 3.1 alge\_solv

偏微分方程式を反復法を用いて計算するルーチン集.

#### 3.1.1 Poisson\_GauSei

##### 機能

ガウスザイデル法 ( 逐次反復法 ) を用いて、2 次元の非斉次 2 階線形偏微分方程式を計算する.

##### 書式

```
call Poisson_GauSei( x, y, rho, eps, boundary, psi, [bound_opt], [a],  
[b], [c], [d], [e] )
```

##### 引数

|           |                      |       |                              |
|-----------|----------------------|-------|------------------------------|
| x         | <R(:)>               | in    | 右手系第一座標.                     |
| y         | <R(:)>               | in    | 右手系第二座標.                     |
| rho       | <R(size(x),size(y))> | in    | 非斉次方程式の強制項 (後述).             |
| eps       | <R>                  | in    | 反復法の収束条件 (後述).               |
| boundary  | <C(4)>               | in    | 4 辺の境界条件を与える (後述).           |
| psi       | <R(size(x),size(y))> | inout | ポアソン方程式の解.                   |
| bound_opt | <R(size(x),size(y))> | in    | 境界での値 (後述).<br>デフォルト: すべてゼロ. |
| a         | <R(size(x),size(y))> | in    | 係数 1 (後述).<br>デフォルト: すべて 1.  |
| b         | <R(size(x),size(y))> | in    | 係数 2 (後述).<br>デフォルト: すべてゼロ.  |
| c         | <R(size(x),size(y))> | in    | 係数 3 (後述).<br>デフォルト: すべて 1.  |
| d         | <R(size(x),size(y))> | in    | 係数 4 (後述).<br>デフォルト: すべてゼロ.  |
| e         | <R(size(x),size(y))> | in    | 係数 5 (後述).<br>デフォルト: すべてゼロ.  |

#### 定義式

求める未知変数を  $\psi$  としたとき、以下の偏微分方程式を計算する。

$$a(x, y) \frac{\partial^2 \psi}{\partial x^2} + b(x, y) \frac{\partial^2 \psi}{\partial x \partial y} + c(x, y) \frac{\partial^2 \psi}{\partial y^2} + d(x, y) \frac{\partial \psi}{\partial x} + e(x, y) \frac{\partial \psi}{\partial y} = \rho(x, y).$$

このとき、引数は以下の対応をする。

$$x : x, \quad y : y, \quad \rho : \text{rho}, \quad \psi : \text{psi}.$$

$$a : a, \quad b : b, \quad c : c, \quad d : d, \quad e : e.$$

#### 備考

- 非斉次強制項  $\rho$  は計算領域すべてについて、ゼロと設定すると、ラプラス方程式を計算することに相当する。
- 本ルーチンの収束条件は、反復の 1 ステップ前後での絶対誤差の最大値が閾値以下になったときに計算を終了するように設定しており、オプション引数 eps はその誤差の値を設定する。
- 本ルーチンでは、4 辺の境界条件を

1 : 固定端境界 (ディリクレ型), 2 : 自由端境界 (ノイマン型), 3 : 周期境界条件

の 3 種類で設定することができる。ここで、別のオプション引数 bound\_opt を設定しておけば、その値で境界を強制することができる (固定端の場合は、引



数の値そのものが用いられ、自由端の場合は、境界を法線方向に流れるフラックスの値として引数の値が使用される。もちろん、周期境界ではこの値は設定しても反映されない。この引数は 4 文字の文字型であり、それぞれの順番は図??のような対応をしている。ここで、引数は `bound\_opt='abcd'` の記号と対応している。

- 境界条件は自由に設定できるが、周期境界条件を設定した場合、その境界に隣接する反対側の境界も同一の境界条件の値を設定しておかなければならない。例えば、 $x$  軸に平行な境界を周期境界とするのであれば、`boundary` の 1, 3 文字目は '3' でなければならない。そのようにされていない場合には、エラーを返す仕様になっている。
- 境界が固定端か自由端の場合、`bound\_opt` で設定される値のうち、境界上に存在する配列要素<sup>\*1</sup>の値を参照して、固定端の場合はその値を直接固定端での値として、自由端の場合は、

$$\frac{\partial \psi}{\partial x} = f, \quad \frac{\partial \psi}{\partial y} = g$$

という境界条件である場合、 $f, g$  の値に相当する。つまり、このオプションにおいて、実際にルーチンではほとんどの配列が使用されないことになる。

- 偏微分方程式の各係数の値を表す  $a, b, c, d, e$  であるが、この値を省略すると、最高階の微分演算子に係る係数はすべて 1 に設定され、その他はすべてゼロに設定される（すなわち、純ポアソン方程式の計算となる）。これは、最高階の微分演算子までゼロに設定すると、方程式が特異系になり、この方法で処理すべき方程式の形ではなくなるための措置である。
- 偏微分方程式の係数は空間変化している場合でも計算することは可能であり、空間格子点が等間隔座標でない場合でも計算は可能である。

### 3.1.2 Poisson\_Jacobi

#### 機能

ヤコビ法を用いて、2 次元の非斉次 2 階線形偏微分方程式を計算する。OpenMP による並列処理が可能。

#### 書式

```
call Poisson_Jacobi( x, y, rho, eps, boundary, psi, [bound_opt], [a],
                   [b], [c], [d], [e] )
```

#### 引数

<sup>\*1</sup>つまり、`bound_opt(1,:)`, `bound_opt(size(x),:)`, `bound_opt(:,1)`, `bound_opt(:,size(y))` に設定されている値のこと。

|           |                      |       |                              |
|-----------|----------------------|-------|------------------------------|
| x         | <R(:)>               | in    | 右手系第一座標.                     |
| y         | <R(:)>               | in    | 右手系第二座標.                     |
| rho       | <R(size(x),size(y))> | in    | 非斉次方程式の強制項 (後述).             |
| eps       | <R>                  | in    | 反復法の収束条件 (後述).               |
| boundary  | <C(4)>               | in    | 4 辺の境界条件を与える (後述).           |
| psi       | <R(size(x),size(y))> | inout | ポアソン方程式の解.                   |
| bound_opt | <R(size(x),size(y))> | in    | 境界での値 (後述).<br>デフォルト: すべてゼロ. |
| a         | <R(size(x),size(y))> | in    | 係数 1 (後述).<br>デフォルト: すべて 1.  |
| b         | <R(size(x),size(y))> | in    | 係数 2 (後述).<br>デフォルト: すべてゼロ.  |
| c         | <R(size(x),size(y))> | in    | 係数 3 (後述).<br>デフォルト: すべて 1.  |
| d         | <R(size(x),size(y))> | in    | 係数 4 (後述).<br>デフォルト: すべてゼロ.  |
| e         | <R(size(x),size(y))> | in    | 係数 5 (後述).<br>デフォルト: すべてゼロ.  |

### 定義式

求める未知変数を  $\psi$  としたとき、以下の偏微分方程式を計算する。

$$a(x, y) \frac{\partial^2 \psi}{\partial x^2} + b(x, y) \frac{\partial^2 \psi}{\partial x \partial y} + c(x, y) \frac{\partial^2 \psi}{\partial y^2} + d(x, y) \frac{\partial \psi}{\partial x} + e(x, y) \frac{\partial \psi}{\partial y} = \rho(x, y).$$

このとき、引数は以下の対応をする。

$$x : x, \quad y : y, \quad \rho : \text{rho}, \quad \psi : \text{psi}.$$

$$a : a, \quad b : b, \quad c : c, \quad d : d, \quad e : e.$$

### 備考

- 非斉次強制項  $\rho$  は計算領域すべてについて、ゼロと設定すると、ラプラス方程式を計算することに相当する。
- 本ルーチンの収束条件は、反復の 1 ステップ前後での絶対誤差の最大値が閾値以下になったときに計算を終了するように設定しており、オプション引数 eps はその誤差の値を設定する。
- 本ルーチンでは、4 辺の境界条件を

1 : 固定端境界 (ディリクレ型), 2 : 自由端境界 (ノイマン型), 3 : 周期境界条件

の 3 種類で設定することができる。ここで、別のオプション引数 bound\_opt を設定しておけば、その値で境界を強制することができる (固定端の場合は、引

数の値そのものが用いられ、自由端の場合は、境界を法線方向に流れるフラックスの値として引数の値が使用される。もちろん、周期境界ではこの値は設定しても反映されない)。この引数は 4 文字の文字型であり、それぞれの順番は図??のような対応をしている。ここで、引数は `bound\_opt='abcd'` の記号と対応している。

- 境界条件は自由に設定できるが、周期境界条件を設定した場合、その境界に隣接する反対側の境界も同一の境界条件の値を設定しておかなければならない。例えば、 $x$  軸に平行な境界を周期境界とするのであれば、`boundary` の 1, 3 文字目は '3' でなければならない。そのようにされていない場合には、エラーを返す仕様になっている。
- 境界が固定端か自由端の場合、`bound\_opt` で設定される値のうち、境界上に存在する配列要素<sup>\*2</sup>の値を参照して、固定端の場合はその値を直接固定端での値として、自由端の場合は、

$$\frac{\partial \psi}{\partial x} = f, \quad \frac{\partial \psi}{\partial y} = g$$

という境界条件である場合、 $f, g$  の値に相当する。つまり、このオプションにおいて、実際にルーチンではほとんどの配列が使用されないことになる。

- 偏微分方程式の各係数の値を表す  $a, b, c, d, e$  であるが、この値を省略すると、最高階の微分演算子に係る係数はすべて 1 に設定され、その他はすべてゼロに設定される（すなわち、純ポアソン方程式の計算となる）。これは、最高階の微分演算子までゼロに設定すると、方程式が特異系になり、この方法で処理すべき方程式の形ではなくなるための措置である。
- 偏微分方程式の係数は空間変化している場合でも計算することは可能であり、空間格子点が等間隔座標でない場合でも計算は可能である。

## 3.2 basis

本ライブラリを使用する上で必要となるルーチンのうち、どのモジュールにも当てはまらなかった基本的な数学処理関数集である。

### 3.2.1 c2i\_convert

機能

文字型を整数型に変換する。

<sup>\*2</sup>つまり、`bound_opt(1,:)`, `bound_opt(size(x),:)`, `bound_opt(:,1)`, `bound_opt(:,size(y))` に設定されている値のこと。

## 書式

```
result = c2i_convert( cval )
```

## 引数

|      |          |       |          |
|------|----------|-------|----------|
| cval | <C(100)> | in    | 変換する文字.  |
| 戻り値  | <I>      | inout | 変換された整数. |

## 定義式

なし.

## 備考

なし.

## 3.2.2 c2r\_convert

## 機能

文字型を実数型に変換する。

## 書式

```
result = c2r_convert( cval )
```

## 引数

|      |          |       |          |
|------|----------|-------|----------|
| cval | <C(100)> | in    | 変換する文字.  |
| 戻り値  | <R>      | inout | 変換された実数. |

## 定義式

なし.

## 備考

なし.

## 3.2.3 i2c\_convert

## 機能

整数型を文字型に変換する。

## 書式

```
result = i2c_convert( ival, [forma] )
```

## 引数

|       |        |       |          |
|-------|--------|-------|----------|
| ival  | <I>    | in    | 変換する整数.  |
| forma | <C(*)> | in    | 変換時の形式.  |
| 戻り値   | <C>    | inout | 変換された文字. |

定義式

なし.

備考

なし.

### 3.2.4 r2c\_convert

機能

実数型を文字型に変換する。

書式

```
result = r2c_convert( rval, [forma] )
```

引数

|       |        |       |          |
|-------|--------|-------|----------|
| rval  | <R>    | in    | 変換する実数.  |
| forma | <C(*)> | in    | 変換時の形式.  |
| 戻り値   | <C>    | inout | 変換された文字. |

定義式

なし.

備考

なし.

### 3.2.5 rand\_make

機能

混合合同法を用いて擬似乱数を生成する。

書式

```
call rand_make( L, output )
```

引数

|        |     |       |                  |
|--------|-----|-------|------------------|
| L      | <I> | in    | 出力する最大桁数 +1 の数値. |
| output | <I> | inout | 出力される乱数.         |

**定義式**

混合合同法は、数列  $x_n$  について、整数  $a, b$  を用いて、

$$x_n = \text{mod}(ax_{n-1} + b, L)$$

という漸化式で表現される数列によって擬似乱数を生成するアルゴリズムである。ここで、 $L$  は整数である。 $a, b, L, x_0$  については任意性が与えられているので、本ルーチンでは、

$$a = 11, b = 12$$

という値を採用した。また、 $L$  は使用者が必要とする任意の桁数 +1 の数値で求められ、 $x_0$  は唯一性を重視するため、Fortran の組み込み関数である `time()` 関数を用いて得られる時刻を初期値として用いる。

**備考**

なし。

### 3.3 derivation

微分演算を有限差分で計算するルーチン集。本モジュールに組み込まれているルーチンでは、すべての微分計算において、2 次精度の中心差分近似を用いて微分を評価する。なお、評価点の不足する計算領域の端においては、1 次精度に差分の近似を落とすことで処理をする。

なお、すべてのルーチンで用いられているスケール因子の主な座標系での値と、任意の座標系におけるスケール因子の導出方法については、??参照。

#### 3.3.1 curl

**機能**

2 次元ベクトルから渦度を計算する。

**書式**

```
call curl( x, y, u, v, val, [undef], [hx], [hy], [ord] )
```

**引数**

|       |                      |       |                       |
|-------|----------------------|-------|-----------------------|
| x     | <R(:)>               | in    | 右手系第一座標.              |
| y     | <R(:)>               | in    | 右手系第二座標.              |
| u     | <R(size(x),size(y))> | in    | x に対応するベクトル.          |
| v     | <R(size(x),size(y))> | in    | y に対応するベクトル.          |
| val   | <R(size(x),size(y))> | inout | 渦度.                   |
| undef | R                    | in    | 未定義値.                 |
| hx    | <R(size(x),size(y))> | in    | x 方向のスケール因子.          |
| hy    | <R(size(x),size(y))> | in    | y 方向のスケール因子.          |
| ord   | L                    | in    | 微分計算の順番を入れ替える (備考参照). |

## 定義式

互いに直交する基底ベクトル ( $e_1, e_2, e_3$ ) をもつ曲線座標 ( $x_1, x_2, x_3$ ) における, 独立した 2 ベクトルの回転 curl を計算する:

$$\text{curl} \equiv e_3 \cdot \nabla \times \mathbf{u} = \frac{1}{h_1 h_2} \left[ \frac{\partial(h_2 u_2)}{\partial x_1} - \frac{\partial(h_1 u_1)}{\partial x_2} \right]$$

ここで、 $\mathbf{u} = u_1 \mathbf{e}_1 + u_2 \mathbf{e}_2 + u_3 \mathbf{e}_3$  であり、 $h_1, h_2, h_3$  はそれぞれ  $x_1, x_2, x_3$  に対応するスケール因子である。このとき、引数は以下の対応をする。

$$x_1 : x, \quad x_2 : y, \quad u_1 : u, \quad u_2 : v,$$

$$h_1 : hx, \quad h_2 : hy, \quad \text{curl} : \text{val}$$

デカルト座標系の場合、 $h_1 = 1, h_2 = 1, h_3 = 1$  であるので、単純に

$$\text{curl} = \frac{\partial u_2}{\partial x_1} - \frac{\partial u_1}{\partial x_2}$$

を計算することになる。

## 備考

- オプション ord は微分計算の後、正負を反転させるオプションであり、

.true. : 通常計算, .false. : 正負反転

となる。デフォルトは.true.。つまり、false を指定すれば、以下の計算を行うことと同義である。

$$\text{curl} \equiv -e_3 \cdot \nabla \times \mathbf{u} = -\frac{1}{h_1 h_2} \left[ \frac{\partial(h_2 u_2)}{\partial x_1} - \frac{\partial(h_1 u_1)}{\partial x_2} \right].$$

- 未定義値が定義されている場合は、その値に対応する値が格子点に入っている場合、その格子を処理格子として使用している格子点での計算値がすべて未定義値として設定されて返される。

## 3.3.2 curl\_3d

## 機能

3 次元ベクトルから 3 次元渦度を計算する.

## 書式

```
call curl_3d( x, y, z, u, v, w, zeta, eta, xi, [undef], [hx], [hy], [hz]
)
```

## 引数

|       |                              |       |              |
|-------|------------------------------|-------|--------------|
| x     | <R(:)>                       | in    | 右手系第一座標.     |
| y     | <R(:)>                       | in    | 右手系第二座標.     |
| z     | <R(:)>                       | in    | 右手系第三座標.     |
| u     | <R(size(x),size(y),size(z))> | in    | x に対応するベクトル. |
| v     | <R(size(x),size(y),size(z))> | in    | y に対応するベクトル. |
| w     | <R(size(x),size(y),size(z))> | in    | z に対応するベクトル. |
| zeta  | <R(size(x),size(y),size(z))> | inout | x に対応する回転.   |
| eta   | <R(size(x),size(y),size(z))> | inout | y に対応する回転.   |
| xi    | <R(size(x),size(y),size(z))> | inout | z に対応する回転.   |
| undef | <R>                          | in    | 未定義値.        |
| hx    | <R(size(x),size(y),size(z))> | in    | x 方向のスケール因子. |
| hy    | <R(size(x),size(y),size(z))> | in    | y 方向のスケール因子. |
| hz    | <R(size(x),size(y),size(z))> | in    | z 方向のスケール因子. |

## 定義式

互いに直交する基底ベクトル ( $e_1, e_2, e_3$ ) をもつ曲線座標 ( $x_1, x_2, x_3$ ) における, 独立した 3 ベクトルの渦度  $\text{rot}$  を計算する:

$$\begin{aligned} \text{div} \equiv \nabla \times \mathbf{u} = & \frac{1}{h_1 h_2 h_3} \left[ \mathbf{e}_1 \left\{ \frac{\partial(h_3 u_3)}{\partial x_2} - \frac{\partial(h_2 u_2)}{\partial x_3} \right\} \right. \\ & + \mathbf{e}_2 \left\{ \frac{\partial(h_1 u_1)}{\partial x_3} - \frac{\partial(h_3 u_3)}{\partial x_1} \right\} \\ & \left. + \mathbf{e}_3 \left\{ \frac{\partial(h_2 u_2)}{\partial x_1} - \frac{\partial(h_1 u_1)}{\partial x_2} \right\} \right] = \zeta \mathbf{e}_1 + \eta \mathbf{e}_2 + \xi \mathbf{e}_3 \end{aligned}$$

ここで、 $\mathbf{u} = u_1 \mathbf{e}_1 + u_2 \mathbf{e}_2 + u_3 \mathbf{e}_3$  であり、 $h_1, h_2, h_3$  はそれぞれ  $x_1, x_2, x_3$  に対応するスケール因子である。このとき、引数は以下の対応をする。

$$\begin{aligned} x_1 &: \mathbf{x}, & x_2 &: \mathbf{y}, & x_3 &: \mathbf{z}, \\ u_1 &: \mathbf{u}, & u_2 &: \mathbf{v}, & u_3 &: \mathbf{w}, \\ h_1 &: \mathbf{hx}, & h_2 &: \mathbf{hy}, & h_3 &: \mathbf{hz} \\ \zeta &: \mathbf{zeta}, & \eta &: \mathbf{eta}, & \xi &: \mathbf{xi}. \end{aligned}$$



デカルト座標系の場合、 $h_1 = 1, h_2 = 1, h_3 = 1$  であるので、単純に

$$\text{div} = e_1 \left\{ \frac{\partial u_3}{\partial x_2} - \frac{\partial u_2}{\partial x_3} \right\} + e_2 \left\{ \frac{\partial u_1}{\partial x_3} - \frac{\partial u_3}{\partial x_1} \right\} + e_3 \left\{ \frac{\partial u_2}{\partial x_1} - \frac{\partial u_1}{\partial x_2} \right\}$$

を計算することになる。

#### 備考

- 未定義値が定義されている場合は、その値に対応する値が格子点に入っている場合、その格子を処理格子として使用している格子点での計算値がすべて未定義値として設定されて返される。

### 3.3.3 div

#### 機能

2次元ベクトルから発散を計算する。

#### 書式

```
call div( x, y, u, v, val, [undef], [hx], [hy] )
```

#### 引数

|       |                      |       |              |
|-------|----------------------|-------|--------------|
| x     | <R(:)>               | in    | 右手系第一座標.     |
| y     | <R(:)>               | in    | 右手系第二座標.     |
| u     | <R(size(x),size(y))> | in    | x に対応するベクトル. |
| v     | <R(size(x),size(y))> | in    | y に対応するベクトル. |
| val   | <R(size(x),size(y))> | inout | 発散.          |
| undef | <R>                  | in    | 未定義値.        |
| hx    | <R(size(x),size(y))> | in    | x 方向のスケール因子. |
| hy    | <R(size(x),size(y))> | in    | y 方向のスケール因子. |

#### 定義式

互いに直交する基底ベクトル ( $e_1, e_2$ ) をもつ曲線座標 ( $x_1, x_2$ ) における、独立した 2 ベクトルの発散  $\text{div}$  を計算する：

$$\text{div} \equiv \nabla \cdot \mathbf{u} = \frac{1}{h_1 h_2} \left[ \frac{\partial(h_2 u_1)}{\partial x_1} + \frac{\partial(h_1 u_2)}{\partial x_2} \right]$$

ここで、 $\mathbf{u} = u_1 e_1 + u_2 e_2$  であり、 $h_1, h_2$  はそれぞれ  $x_1, x_2$  に対応するスケール因子である。このとき、引数は以下の対応をする。

$$x_1 : x, \quad x_2 : y, \quad u_1 : u, \quad u_2 : v,$$

$$h_1 : hx, \quad h_2 : hy, \quad \text{div} : \text{val}.$$

デカルト座標系の場合、 $h_1 = 1, h_2 = 1$  であるので、単純に

$$\text{div} = \frac{\partial u_1}{\partial x_1} + \frac{\partial u_2}{\partial x_2}$$

を計算することになる。

備考

- 未定義値が定義されている場合は、その値に対応する値が格子点に入っている場合、その格子を処理格子として使用している格子点での計算値がすべて未定義値として設定されて返される。

### 3.3.4 div\_3d

機能

3 次元ベクトルから発散を計算する。

書式

```
call div_3d( x, y, z, u, v, w, val, [undef], [hx], [hy], [hz] )
```

引数

|       |                              |       |              |
|-------|------------------------------|-------|--------------|
| x     | <R(:)>                       | in    | 右手系第一座標.     |
| y     | <R(:)>                       | in    | 右手系第二座標.     |
| z     | <R(:)>                       | in    | 右手系第三座標.     |
| u     | <R(size(x),size(y),size(z))> | in    | x に対応するベクトル. |
| v     | <R(size(x),size(y),size(z))> | in    | y に対応するベクトル. |
| w     | <R(size(x),size(y),size(z))> | in    | z に対応するベクトル. |
| val   | <R(size(x),size(y),size(z))> | inout | 発散.          |
| undef | <R>                          | in    | 未定義値.        |
| hx    | <R(size(x),size(y),size(z))> | in    | x 方向のスケール因子. |
| hy    | <R(size(x),size(y),size(z))> | in    | y 方向のスケール因子. |
| hz    | <R(size(x),size(y),size(z))> | in    | z 方向のスケール因子. |

定義式

互いに直交する基底ベクトル ( $e_1, e_2, e_3$ ) をもつ曲線座標 ( $x_1, x_2, x_3$ ) における、独立した 3 ベクトルの発散  $\text{div}$  を計算する：

$$\text{div} \equiv \nabla \cdot \mathbf{u} = \frac{1}{h_1 h_2 h_3} \left[ \frac{\partial(h_2 h_3 u_1)}{\partial x_1} + \frac{\partial(h_3 h_1 u_2)}{\partial x_2} + \frac{\partial(h_1 h_2 u_3)}{\partial x_3} \right]$$

ここで、 $\mathbf{u} = u_1 \mathbf{e}_1 + u_2 \mathbf{e}_2 + u_3 \mathbf{e}_3$  であり、 $h_1, h_2, h_3$  はそれぞれ  $x_1, x_2, x_3$  に対応するスケール因子である。このとき、引数は以下の対応をする。

$$x_1 : x, \quad x_2 : y, \quad x_3 : z,$$

$$\begin{aligned}
 u_1 &: u, & u_2 &: v, & u_3 &: w, \\
 h_1 &: hx, & h_2 &: hy, & h_3 &: hz \\
 \text{div} &: \text{val}.
 \end{aligned}$$

デカルト座標系の場合、 $h_1 = 1, h_2 = 1, h_3 = 1$  であるので、単純に

$$\text{div} = \frac{\partial u_1}{\partial x_1} + \frac{\partial u_2}{\partial x_2} + \frac{\partial u_3}{\partial x_3}$$

を計算することになる。

#### 備考

- 未定義値が定義されている場合は、その値に対応する値が格子点に入っている場合、その格子を処理格子として使用している格子点での計算値がすべて未定義値として設定されて返される。

### 3.3.5 grad\_1d

#### 機能

任意変数の勾配を計算する。

#### 書式

```
call grad_1d( x, u, val, [undef], [hx] )
```

#### 引数

|       |              |       |                |
|-------|--------------|-------|----------------|
| x     | <R(:)>       | in    | 空間座標.          |
| u     | <R(size(x))> | in    | x の各点で定義される変数. |
| val   | <R(size(x))> | inout | 勾配値.           |
| undef | <R>          | in    | 未定義値.          |
| hx    | <R(size(x))> | in    | x 方向のスケール因子.   |

#### 定義式

座標  $(x_1)$  における変数  $u$  を計算する：

$$\text{grad} = \frac{1}{h_1} \frac{\partial u}{\partial x_1}$$

このとき、引数は以下の対応をする：

$$x_1 : x, \quad u_1 : u, \quad h_1 : hx, \quad \text{grad} : \text{val}.$$

デカルト座標系の場合、 $h_1 = 1$  であるので、単純に

$$\text{grad} = \frac{\partial u}{\partial x_1}$$

を計算することになる。

## 備考

- 未定義値が定義されている場合は、その値に対応する値が格子点に入っている場合、その格子を処理格子として使用している格子点での計算値がすべて未定義値として設定されて返される。

## 3.3.6 grad\_2d

## 機能

任意変数の独立 2 次元勾配ベクトルを計算する。

## 書式

```
call grad_2d( x, y, u, valx, valy, [undef], [hx], [hy] )
```

## 引数

|       |                      |       |              |
|-------|----------------------|-------|--------------|
| x     | <R(:)>               | in    | 第一空間座標.      |
| y     | <R(:)>               | in    | 第二空間座標.      |
| u     | <R(size(x),size(y))> | in    | 勾配を計算する変数.   |
| valx  | <R(size(x),size(y))> | inout | x 方向の勾配ベクトル. |
| valy  | <R(size(x),size(y))> | inout | y 方向の勾配ベクトル. |
| undef | <R>                  | in    | 未定義値.        |
| hx    | <R(size(x),size(y))> | in    | x 方向のスケール因子. |
| hy    | <R(size(x),size(y))> | in    | y 方向のスケール因子. |

## 定義式

基底ベクトル  $(e_1, e_2)$  で定義される座標  $(x_1, x_2)$  における変数  $u$  を計算する：

$$\text{grad} = \frac{e_1}{h_1} \frac{\partial u}{\partial x_1} + \frac{e_2}{h_2} \frac{\partial u}{\partial x_2}$$

このとき、引数は以下の対応をする。

$$x_1 : x, \quad x_2 : y, \quad u : u, \quad h_1 : hx, \quad h_2 : hy,$$

$$\frac{1}{h_1} \frac{\partial u}{\partial x_1} : \text{valx}, \quad \frac{1}{h_2} \frac{\partial u}{\partial x_2} : \text{valy}.$$

デカルト座標系の場合、 $h_1 = 1, h_2 = 1$  であるので、単純に

$$\text{grad} = e_1 \frac{\partial u}{\partial x_1} + e_2 \frac{\partial u}{\partial x_2}$$

を計算することになる。

## 備考

- 未定義値が定義されている場合は、その値に対応する値が格子点に入っている場合、その格子を処理格子として使用している格子点での計算値がすべて未定義値として設定されて返される。

## 3.3.7 grad\_3d

## 機能

任意変数の独立 3 次元勾配ベクトルを計算する。

## 書式

```
call grad_3d( x, y, z, u, valx, valy, valz, [undef], [hx], [hy], [hz]
)
```

## 引数

|       |                              |       |              |
|-------|------------------------------|-------|--------------|
| x     | <R(:)>                       | in    | 第一空間座標.      |
| y     | <R(:)>                       | in    | 第二空間座標.      |
| z     | <R(:)>                       | in    | 第三空間座標.      |
| u     | <R(size(x),size(y),size(z))> | in    | 勾配を計算する変数.   |
| valx  | <R(size(x),size(y),size(z))> | inout | x 方向の勾配ベクトル. |
| valy  | <R(size(x),size(y),size(z))> | inout | y 方向の勾配ベクトル. |
| valz  | <R(size(x),size(y),size(z))> | inout | z 方向の勾配ベクトル. |
| undef | <R>                          | in    | 未定義値.        |
| hx    | <R(size(x),size(y),size(z))> | in    | x 方向のスケール因子. |
| hy    | <R(size(x),size(y),size(z))> | in    | y 方向のスケール因子. |
| hz    | <R(size(x),size(y),size(z))> | in    | z 方向のスケール因子. |

## 定義式

基底ベクトル ( $e_1, e_2, e_3$ ) で定義される座標 ( $x_1, x_2, x_3$ ) における変数  $u$  を計算する：

$$\text{grad} = \frac{e_1}{h_1} \frac{\partial u}{\partial x_1} + \frac{e_2}{h_2} \frac{\partial u}{\partial x_2} + \frac{e_3}{h_3} \frac{\partial u}{\partial x_3}$$

このとき、引数は以下の対応をする。

$$x_1 : x, \quad x_2 : y, \quad x_3 : z, \quad u : u, \quad h_1 : hx, \quad h_2 : hy, \quad h_3 : hz$$

$$\frac{1}{h_1} \frac{\partial u}{\partial x_1} : \text{valx}, \quad \frac{1}{h_2} \frac{\partial u}{\partial x_2} : \text{valy}, \quad \frac{1}{h_3} \frac{\partial u}{\partial x_3} : \text{valz}$$

デカルト座標系の場合、 $h_1 = 1$  であるので、単純に

$$\text{grad} = e_1 \frac{\partial u}{\partial x_1} + e_2 \frac{\partial u}{\partial x_2} + e_3 \frac{\partial u}{\partial x_3}$$

を計算することになる。

#### 備考

- 未定義値が定義されている場合は、その値に対応する値が格子点に入っている場合、その格子を処理格子として使用している格子点での計算値がすべて未定義値として設定されて返される。

### 3.3.8 laplacian\_1d

#### 機能

任意変数の勾配を計算する。

#### 書式

```
call laplacian_1d( x, u, val, [undef] )
```

#### 引数

|       |              |       |                |
|-------|--------------|-------|----------------|
| x     | <R(:)>       | in    | 空間座標.          |
| u     | <R(size(x))> | in    | x の各点で定義される変数. |
| val   | <R(size(x))> | inout | 2 階勾配値.        |
| undef | <R>          | in    | 未定義値.          |

#### 定義式

座標 ( $x_1$ ) における変数  $u$  の 2 階微分を計算する：

$$\text{laplacian} = \frac{\partial^2 u}{\partial x_1^2}$$

このとき、引数は以下の対応をする：

$$x_1 : x, \quad u_1 : u, \quad \text{laplacian} : \text{val}.$$

#### 備考

- 未定義値が定義されている場合は、その値に対応する値が格子点に入っている場合、その格子を処理格子として使用している格子点での計算値がすべて未定義値として設定されて返される。

## 3.4 ffts

FFT (高速フーリエ変換) に関するルーチン集. FFT 計算の詳細については, ?? 参照.

### 3.4.1 c2r\_ffttp\_1d

#### 機能

1 次元実数データの FFT 逆変換を行う。

#### 書式

```
call c2r_ffttp_1d( nx, a, b, [prim] )
```

#### 引数

|      |            |       |   |
|------|------------|-------|---|
| nx   | <I>        | in    | データの個数.                                   |
| a    | <CP(nx/2)> | in    | 複素数変換前データ.                                |
| b    | <R(nx)>    | inout | 実数変換後データ.                                 |
| prim | C(1)       | in    | 素因数分解判定 (後述).<br>'o' = 分解する, 'x' = 分解しない。 |

#### 定義式

$N$  個のデータをもつ実数  $x(k)$ ,  $k = 0, \dots, N-1$  を考える ( $N$  は偶数)。このデータの離散フーリエ正変換  $\hat{x}(l)$  は

$$\hat{x}(l) = \frac{1}{N} \sum_{k=0}^{N-1} x(k) e^{-2\pi i \frac{kl}{N}}, \quad l = 0, \dots, N-1$$

で定義される。逆変換は

$$x(k) = \sum_{l=0}^{N-1} \hat{x}(l) e^{2\pi i \frac{lk}{N}}, \quad k = 0, \dots, N-1$$

で定義される。これを Temperton のアルゴリズムを用いて FFT 処理する。実数データの FFT 計算の詳細については、?? 参照。

#### 備考

- 引数 prim はデータ数  $N$  を素因数分解するものであり、このオプションが 'x' の場合はデータがそのままフーリエ変換処理に回されるので、単なる離散フーリエ変換を行うことになる。分解を行えば、データ数が  $N = 2^a 3^b 5^c 7^d$  まで分解を行い、FFT 処理を行う。
- 本ルーチンの仕様から、波数成分  $N/2$  は配列 a(1) の複素成分に格納しなければならない。

### 3.4.2 ffttp\_1d

#### 機能

1 次元複素数データから FFT を行う。

## 書式

```
call ffttp_1d( nx, a, b, csign, [prim] )
```

## 引数

|       |          |       |   |
|-------|----------|-------|---|
| nx    | <I>      | in    | データの個数.                                 |
| a     | <CP(nx)> | in    | 複素数変換前データ.                              |
| b     | <CP(nx)> | inout | 複素数変換後データ.                              |
| csign | C(1)     | in    | 正逆変換判定.<br>'r' =正変換, 'i' =逆変換.          |
| prim  | C(1)     | in    | 素因数分解判定 (後述).<br>'o' =分解する, 'x' =分解しない. |

## 定義式

$N$  個のデータをもつ複素数  $x(k)$ ,  $k = 0, \dots, N-1$  を考える。このデータの離散フーリエ正変換  $\hat{x}(l)$  は

$$\hat{x}(l) = \frac{1}{N} \sum_{k=0}^{N-1} x(k) e^{-2\pi i \frac{kl}{N}}, \quad l = 0, \dots, N-1$$

で定義される。逆変換は

$$x(k) = \sum_{l=0}^{N-1} \hat{x}(l) e^{2\pi i \frac{lk}{N}}, \quad k = 0, \dots, N-1$$

で定義される。これを Temperton のアルゴリズムを用いて FFT 処理する。

## 備考

- 引数 prim はデータ数  $N$  を素因数分解するものであり、このオプションが 'x' の場合はデータがそのままフーリエ変換処理に回されるので、単なる離散フーリエ変換を行うことになる。分解を行えば、データ数が  $N = 2^a 3^b 5^c 7^d$  まで分解を行い、FFT 処理を行う。

## 3.4.3 ffttp\_2d

## 機能

2次元複素数データから FFT を行う。

## 書式

```
call ffttp_2d( nx, ny, a, b, csign, [prim] )
```

## 引数



|       |             |       |  |
|-------|-------------|-------|--|
| nx    | <I>         | in    | 1 次データの個数.                             |
| ny    | <I>         | in    | 2 次データの個数.                             |
| a     | <CP(nx,ny)> | in    | 複素数変換前データ.                             |
| b     | <CP(nx,ny)> | inout | 複素数変換後データ.                             |
| csign | C(1)        | in    | 正逆変換判定.<br>'r' =正変換, 'i' =逆変換.         |
| prim  | C(1)        | in    | 素因数分解判定(後述).<br>'o' =分解する, 'x' =分解しない. |

#### 定義式

$(N, M)$  個のデータをもつ複素数  $x(k, l)$ ,  $k = 0, \dots, N-1, l = 0, \dots, M-1$  を考える。このデータの離散フーリエ正変換  $\hat{x}(m, n)$  は

$$\hat{x}(m, n) = \frac{1}{NM} \sum_{l=0}^{M-1} \left[ \sum_{k=0}^{N-1} x(k, l) e^{-2\pi i \frac{km}{N}} \right] e^{-2\pi i \frac{ln}{M}}, \quad m = 0, \dots, N-1, n = 0, \dots, M-1$$

で定義される。逆変換は

$$\hat{x}(k, l) = \sum_{n=0}^{M-1} \left[ \sum_{m=0}^{N-1} \hat{x}(m, n) e^{2\pi i \frac{km}{N}} \right] e^{2\pi i \frac{ln}{M}}, \quad k = 0, \dots, N-1, l = 0, \dots, M-1$$

で定義される。これを Temperton のアルゴリズムを用いて FFT 処理する。

#### 備考

- 引数 prim はデータ数  $N$  を素因数分解するものであり、このオプションが 'x' の場合はデータがそのままフーリエ変換処理に回されるので、単なる離散フーリエ変換を行うことになる。分解を行えば、データ数が  $N = 2^a 3^b 5^c 7^d$  まで分解を行い、FFT 処理を行う。

### 3.4.4 r2c\_ffttp\_1d

#### 機能

1 次元実数データから FFT を行う。

#### 書式

```
call r2c_ffttp_1d( nx, a, b, [prim] )
```

#### 引数

|      |            |       |                          |
|------|------------|-------|--------------------------|
| nx   | <I>        | in    | データの個数.                  |
| a    | <R(nx)>    | in    | 実数変換前データ.                |
| b    | <CP(nx/2)> | inout | 複素数変換後データ.               |
| prim | C(1)       | in    | 素因数分解判定 (後述).            |
|      |            |       | 'o' = 分解する, 'x' = 分解しない. |

#### 定義式

$N$  個のデータをもつ実数  $x(k)$ ,  $k = 0, \dots, N-1$  を考える ( $N$  は偶数). このデータの離散フーリエ正変換  $\hat{x}(l)$  は

$$\hat{x}(l) = \frac{1}{N} \sum_{k=0}^{N-1} x(k) e^{-2\pi i \frac{kl}{N}}, \quad l = 0, \dots, N-1$$

で定義される。逆変換は

$$x(k) = \sum_{l=0}^{N-1} \hat{x}(l) e^{2\pi i \frac{lk}{N}}, \quad k = 0, \dots, N-1$$

で定義される。これを Temperton のアルゴリズムを用いて FFT 処理する。実数データの FFT 計算の詳細については、?? 参照。

#### 備考

- 引数 prim はデータ数  $N$  を素因数分解するものであり、このオプションが 'x' の場合はデータがそのままフーリエ変換処理に回されるので、単なる離散フーリエ変換を行うことになる。分解を行えば、データ数が  $N = 2^a 3^b 5^c 7^d$  まで分解を行い、FFT 処理を行う。
- 実数データのフーリエ変換は変換後のデータ数が変換前のデータ数の半分に圧縮されていることに注意。また、本ルーチンの仕様から、複素波数成分  $N/2$  は b(1) の虚部に格納される。

### 3.5 file\_operate

IO ルーチン集. 現在対応しているファイルフォーマットは以下のとおりである.

- 4 バイトバイナリデータ.
- mgdsst データ.
- テキストカラムデータ.
- gtool3 フォーマットデータ.

### 3.5.1 auto\_read\_file

#### 機能

2 次元, 3 次元変数混在の 4 バイトバイナリファイルからデータを読み出す read\_file の自動化ルーチン (CReSS 仕様).

#### 書式

```
call auto_read_file( file_name, d2n, d3n, d2val, d3val,
ad2val, ad3val, nx, ny, nz, d2var,
d3var, [specnz], [intvnz] )
```

#### 引数

|           |                   |       |                      |
|-----------|-------------------|-------|----------------------|
| file_name | <C(*)>            | in    | 読み出すファイル名.           |
| d2n       | <I>               | in    | 読み込む 2 次元変数の数.       |
| d3n       | <I>               | in    | 読み込む 3 次元変数の数.       |
| d2val     | <C(*)>            | in    | 読み込む 2 次元変数の順番 (後述). |
| d3val     | <C(*)>            | in    | 読み込む 3 次元変数の順番 (後述). |
| ad2val    | <C(*)>            | in    | 読み込む 2 次元変数の順番 (後述). |
| ad3val    | <C(*)>            | in    | 読み込む 3 次元変数の順番 (後述). |
| nx        | <I>               | in    | x 方向の要素数.            |
| ny        | <I>               | in    | y 方向の要素数.            |
| nz        | <I>               | in    | z 方向の要素数.            |
| d2var     | <R(nx,ny,d2n)>    | inout | 2 次元データ.             |
| d3var     | <R(nx,ny,nz,d3n)> | inout | 3 次元データ.             |
| specnz    | <I>               | in    | z 方向のある 1 層 (後述).    |
| intvnz    | <I(2)>            | in    | z 方向のある部分連続層 (後述).   |

#### 定義式

call read\_file 参照.

#### 備考

- 4 バイトバイナリデータが 2, 3, 2, 3 次元という順番で 1 ファイルに格納されているようなファイルに用いられる.
- d2val, d3val, ad2val, ad3val はそれぞれ読み込む変数を示すフラグであり, 2, 3, 2, 3 の順番に 4, 3, 4, 5 個の変数が格納されている場合,

```
d2val = '0001', d3val = '000', ad2val = '0000', ad3val =
'10000'
```

となり, この場合, 最初の 2 次元データの 4 番目, 最後の 3 次元データの 1 番目のみ読まれるので, d2n = 1, d3n = 1 で読み込めばよい.

- `specnz` が設定されている場合, 3 次元データは `nz` 個の中で, `specnz` 番目のデータのみが格納される.
- `intvnz` が設定されている場合, 3 次元データは `nz` 個の中で, `intvnz(1)` から `intvnz(2)` 番目までが格納される.

### 3.5.2 line\_number\_counter

#### 機能

テキストカラムデータで格納されているファイルの行数を計算する.

#### 書式

```
result = line_number_counter( file_name )
```

#### 引数

|                        |                           |                    |               |
|------------------------|---------------------------|--------------------|---------------|
| <code>file_name</code> | <code>&lt;C(*)&gt;</code> | <code>in</code>    | 行数を計算するファイル名. |
| 戻り値                    | <code>&lt;I&gt;</code>    | <code>inout</code> | 行数.           |

#### 定義式

特になし.

#### 備考

特になし.

### 3.5.3 read\_file

#### 機能

ダイレクトアクセス形式のバイナリファイルから 2 次元データを読み出すルーチン.

#### 書式

```
call read_file( file_name, nx, ny, rec_num, var )
```

#### 引数

|                        |                               |                    |  |
|------------------------|-------------------------------|--------------------|--|
| <code>file_name</code> | <code>&lt;C(*)&gt;</code>     | <code>in</code>    | 読み出すファイル名.                                 |
| <code>nx</code>        | <code>&lt;I&gt;</code>        | <code>in</code>    | 第一要素配列数.                                   |
| <code>ny</code>        | <code>&lt;I&gt;</code>        | <code>in</code>    | 第二要素配列数.                                   |
| <code>rec_num</code>   | <code>&lt;I&gt;</code>        | <code>in</code>    | <code>nx×ny</code> 分読み出すデータのレコード番号 ( 後述 ). |
| <code>var</code>       | <code>&lt;R(nx,ny)&gt;</code> | <code>inout</code> | 読み出すデータ.                                   |

## 定義式

```

1      open(unit=11, file=file_name, access='direct', recl=4*nx*ny, status='old')
2          read(11,rec=rec_num) ((var(i,j),i=1,nx),j=1,ny)
3      close(unit=11, status='keep')
```

## 備考

特になし.

## 3.5.4 read\_file\_gtool3

## 機能

gtool3 形式のデータを読み込むルーチン.

## 書式

```
call read_file_gtool3( file_name, nx, ny, nz, tstr, tstep, tnum, var )
```

## 引数

|           |                    |       |                 |
|-----------|--------------------|-------|-----------------|
| file_name | <C(*)>             | in    | 読み出すファイル名.      |
| nx        | <I>                | in    | 第一要素配列数.        |
| ny        | <I>                | in    | 第二要素配列数.        |
| nz        | <I>                | in    | 第三要素配列数.        |
| tstr      | <I>                | in    | 読み始める時刻 (後述).   |
| tstep     | <I>                | in    | 読み飛ばす時間間隔 (後述). |
| tnum      | <I>                | in    | 読み込む時間数 (後述).   |
| var       | <R(nx,ny,nz,tnum)> | inout | 読み出すデータ.        |

## 定義式

特になし.

## 備考

- tstr, tstep, tnum の関係は, 1 つのデータファイルに tmax 個分の時刻データが格納されている場合,

$$tstr + tstep * (tnum - 1) \leq tmax$$

という関係が満たされればよい. ここで, tstr = 1 なら, 初期時刻が読み込まれることになる. 実際の計算時刻や出力時間ステップは関係ない.

### 3.5.5 read\_file\_gtool3\_header\_c

#### 機能

gtool3 形式のヘッダーデータのうち, 文字形式のデータを読み出すルーチン.

#### 書式

```
call read_file_gtool3_header_c( file_name, header, var )
```

#### 引数

|           |                       |       |                  |
|-----------|-----------------------|-------|------------------|
| file_name | <C(*)>                | in    | 読み出すファイル名.       |
| header    | <C(*)(:)>             | in    | ヘッダーの名前.         |
| var       | <C(16)(size(header))> | inout | header に対応するデータ. |

#### 定義式

特になし.

#### 備考

- ヘッダーの名称は,  
<http://www.riam.kyushu-u.ac.jp/taikai/lab/others/Gtool/node111.html>  
と同じ名称で与える. ただし, Fortran の予約語である unit, size については, uni, siz と入力すること.

### 3.5.6 read\_file\_gtool3\_header\_i

#### 機能

gtool3 形式のヘッダーデータのうち, 整数形式のデータを読み出すルーチン.

#### 書式

```
call read_file_gtool3_header_i( file_name, header, var )
```

#### 引数

|           |                   |       |                  |
|-----------|-------------------|-------|------------------|
| file_name | <C(*)>            | in    | 読み出すファイル名.       |
| header    | <C(*)(:)>         | in    | ヘッダーの名前.         |
| var       | <I(size(header))> | inout | header に対応するデータ. |

#### 定義式

特になし.

#### 備考

- ヘッダーの名称は,  
<http://www.riam.kyushu-u.ac.jp/taikai/lab/others/Gtool/node111.html>  
と同じ名称で与える. ただし, Fortran の予約語である unit, size については, uni, siz と入力すること.

### 3.5.7 read\_file\_gtool3\_header\_r

#### 機能

gtool3 形式のヘッダーデータのうち, 実数形式のデータを読み出すルーチン.

#### 書式

```
call read_file_gtool3_header_r( file_name, header, var )
```

#### 引数

|           |                   |       |                  |
|-----------|-------------------|-------|------------------|
| file_name | <C(*)>            | in    | 読み出すファイル名.       |
| header    | <C(*)(:)>         | in    | ヘッダーの名前.         |
| var       | <R(size(header))> | inout | header に対応するデータ. |

#### 定義式

特になし.

#### 備考

- ヘッダーの名称は,  
<http://www.riam.kyushu-u.ac.jp/taikai/lab/others/Gtool/node111.html>  
と同じ名称で与える. ただし, Fortran の予約語である unit, size については, uni, siz と入力すること.

### 3.5.8 read\_file\_text

#### 機能

テキストカラム形式のデータを読み込むルーチン.

#### 書式

```
call read_file_text( file_name, nx, ny, var, [skip], [forma] )
```

#### 引数

|           |            |       |                  |
|-----------|------------|-------|------------------|
| file_name | <C(*)>     | in    | 読み出すファイル名.       |
| nx        | <I>        | in    | 列数.              |
| ny        | <I>        | in    | 行数.              |
| var       | <C(nx,ny)> | inout | 読み出すデータ.         |
| skip      | <I>        | in    | 先頭読み飛ばす行数.       |
| forma     | <C(*)>     | in    | 読み込むフォーマット (後述). |

## 定義式

コンマ, スペース区切りのテキストデータを読み込む. nx は 1 行に格納されているデータの列数, ny は先頭から読み取る行数. ただし, skip が設定されている場合は, skip 行だけ読み飛ばして読み始める.

## 備考

- デフォルトでは, 読み飛ばし変数 skip はゼロに設定されている.

## 3.5.9 read\_mgdsst

## 機能

気象庁 MGDSST データを読み込むためのルーチン. 任意の領域ではなく, 全球のみ対応.

## 書式

```
call read_file( fname, var )
```

## 引数

|       |               |       |            |
|-------|---------------|-------|------------|
| fname | <C(*)>        | in    | 読み出すファイル名. |
| var   | <R(1440,720)> | inout | sst データ.   |

## 定義式

特になし. (MGDSST データのフォーマットについては,  
<http://near-goos1.jodc.go.jp/rdb/format/JMA/mgdsst.txt>  
 参照.)

## 備考

- 要素番号の小さいものが地球の南西端 (経度 0°, 緯度 -89.875°) に入り, 配列第一要素は東向き, 第二要素は北向きに格子データが格納されて出力される.
- 未定義値は 999.0, 海氷データは 888.0 という値で格納される.



## 3.5.10 write\_file

## 機能

ダイレクトアクセス形式のバイナリファイルに 2 次元データを書き出すルーチン.

## 書式

```
call write_file( file_name, nx, ny, rec_num, var, [mode] )
```

## 引数

|           |            |       |                        |
|-----------|------------|-------|------------------------|
| file_name | <C(*)>     | in    | 読み出すファイル名.             |
| nx        | <I>        | in    | 第一要素配列数.               |
| ny        | <I>        | in    | 第二要素配列数.               |
| rec_num   | <I>        | in    | nx×ny 分読み出すデータのレコード番号. |
| var       | <R(nx,ny)> | inout | 読み出すデータ.               |
| mode      | <C(*)>     | in    | ファイルの書き出しオプション.        |

## 定義式

```
1 open(unit=11, file=file_name, access='direct', recl=4*nx*ny, status=mode)
2   write(11,rec=rec_num) ((var(i,j),i=1,nx),j=1,ny)
3 close(unit=11, status='keep')
```

## 備考

- mode は Fortran の書き出し status= に設定される値を代入.

## 3.6 math\_const

数学的普遍定数集. 現在は以下の表のように与えられている.

| 変数名 | 型   | 設定値        | 変数の意味 |
|-----|-----|------------|-------|
| pi  | <R> | 3.14159265 | 円周率   |

### 3.7 matrix\_calc

単純な行列演算, 連立代数方程式の求解, 固有値・固有ベクトル計算用のルーチン集. 各ルーチンの詳細な計算方法については, ?? 参照.

#### 3.7.1 Gau\_Sei

##### 機能

ガウスザイデル法による連立 1 次方程式の求解を行うルーチン.

##### 書式

```
call Gau_Sei( a, b, eps, x )
```

##### 引数

|     |                      |       |                |
|-----|----------------------|-------|----------------|
| b   | <R(:)>               | inout | ベクトルの成分 (後述).  |
| a   | <R(size(b),size(b))> | inout | 行列 (後述).       |
| eps | <R>                  | in    | 収束条件値 (後述).    |
| x   | <R(size(b))>         | inout | 求めたいベクトル (後述). |

##### 定義式

行列  $a_{ij}$ , ベクトル  $b_i$  としたとき,

$$a_{ij}x_j = b_i$$

という関係を満たす未知ベクトル  $x_j$  を求める. このとき, 引数との対応関係は

$$a_{ij} : a(i,j), \quad x_j : x(j), \quad b_i : b(i)$$

である. ガウスザイデル法による計算方法の詳細は??参照.

##### 備考

- 引数 eps は各配列の反復前後の相対誤差を表し, この値の最大値が eps 以下になったときに反復計算を終了する.

#### 3.7.2 Jacobi\_algebra

##### 機能

ヤコビ法による連立 1 次方程式の求解を行うルーチン.

## 書式

```
call Jacobi_algebra( a, b, eps, x )
```

## 引数

|     |                      |       |                |
|-----|----------------------|-------|----------------|
| b   | <R(:)>               | inout | ベクトルの成分 (後述).  |
| a   | <R(size(b),size(b))> | inout | 行列 (後述).       |
| eps | <R>                  | in    | 収束条件値 (後述).    |
| x   | <R(size(b))>         | inout | 求めたいベクトル (後述). |

## 定義式

行列  $a_{ij}$ , ベクトル  $b_i$  としたとき,

$$a_{ij}x_j = b_i$$

という関係を満たす未知ベクトル  $x_j$  を求める. このとき, 引数との対応関係は

$$a_{ij} : a(i,j), \quad x_j : x(j), \quad b_i : b(i)$$

である. ヤコビ法による計算方法の詳細は??参照.

## 備考

- 引数 eps は各配列の反復前後の相対誤差を表し, この値の最大値が eps 以下になったときに反復計算を終了する.

## 3.7.3 Jacobi\_eigen

## 機能

ヤコビ法を用いて任意の実対称行列の全固有値を求めるルーチン.

## 書式

```
call Jacobi_eigen( a, lambda, [eps] )
```

## 引数

|        |                |       |                 |
|--------|----------------|-------|-----------------|
| a      | <R(:, :)>      | in    | 固有値を求める行列 (後述). |
| lambda | <R(size(a,1))> | inout | 固有値 (後述).       |
| eps    | <R>            | in    | 反復の収束判条件 (後述).  |

## 定義式

行列  $a_{ij}$ , ベクトル  $x_i$  としたとき,

$$a_{ij}x_j = \lambda x_i$$

という関係を満たす未知数  $\lambda$  を求める. ここで,  $\lambda$  の値は行列の次元数個ある. このとき, 引数との対応関係は

$$a_{ij} : a(i, j), \quad \lambda : \text{lambda}(k)$$

である.  $k$  番目の固有値をここでは  $\text{lambda}(k)$  とした. ヤコビ法による計算方法の詳細は??を参照.

#### 備考

- `eps` は反復計算の収束判定条件であり, 1 回の反復計算前後での絶対誤差の最大値が `eps` 以下になったときに計算を終了する.

### 3.7.4 LU\_devs

#### 機能

部分ピボットつき LU 分解を行うルーチン.

#### 書式

```
call LU_devs( a, b, x, itermax )
```

#### 引数

|                      |   |                    |                |
|----------------------|---|--------------------|----------------|
| <code>b</code>       | <code>&lt;R(:)&gt;</code>               | <code>inout</code> | ベクトルの成分 (後述).  |
| <code>a</code>       | <code>&lt;R(size(b),size(b))&gt;</code> | <code>inout</code> | 行列 (後述).       |
| <code>x</code>       | <code>&lt;R(size(b))&gt;</code>         | <code>inout</code> | 求めたいベクトル (後述). |
| <code>itermax</code> | <code>&lt;I&gt;</code>                  | <code>in</code>    | 反復改良の回数.       |

#### 定義式

行列  $a_{ij}$ , ベクトル  $b_i$  としたとき,

$$a_{ij}x_j = b_i$$

という関係を満たす未知ベクトル  $x_j$  を求める. このとき, 引数との対応関係は

$$a_{ij} : a(i, j), \quad x_j : x(j), \quad b_i : b(i)$$

である. 詳細な計算は??参照.

#### 備考

特になし.

### 3.7.5 SOR\_Gau\_Sei

#### 機能

SOR を用いてガウスザイデル法による連立 1 次方程式の求解を行うルーチン.

#### 書式

```
call SOR_Gau_Sei( a, b, eps, accel, x )
```

#### 引数

|       |                      |       |                 |
|-------|----------------------|-------|-----------------|
| b     | <R(:)>               | inout | ベクトルの成分 (後述).   |
| a     | <R(size(b),size(b))> | inout | 行列 (後述).        |
| eps   | <R>                  | in    | 収束条件値 (後述).     |
| accel | <R>                  | in    | SOR の加速係数 (後述). |
| x     | <R(size(b))>         | inout | 求めたいベクトル (後述).  |

#### 定義式

行列  $a_{ij}$ , ベクトル  $b_i$  としたとき,

$$a_{ij}x_j = b_i$$

という関係を満たす未知ベクトル  $x_j$  を求める. このとき, 引数との対応関係は

$$a_{ij} : a(i,j), \quad x_j : x(j), \quad b_i : b(i)$$

である. SOR つきガウスザイデル法による計算方法の詳細は??参照.

#### 備考

- 引数 eps は各配列の反復前後の相対誤差を表し, この値の最大値が eps 以下になったときに反復計算を終了する.
- 数学上, 加速係数は 2 未満にしなければ安定計算ができない. 本ルーチンでは, 2 以上の値が設定された場合, エラーとなるようにしている.

### 3.7.6 SOR\_Jacobi\_algebra

#### 機能

SOR を用いてヤコビ法による連立 1 次方程式の求解を行うルーチン.

#### 書式

```
call SOR_Jacobi_algebra( a, b, eps, accel, x )
```

## 引数

|       |                      |       |                 |
|-------|----------------------|-------|-----------------|
| b     | <R(:)>               | inout | ベクトルの成分 (後述).   |
| a     | <R(size(b),size(b))> | inout | 行列 (後述).        |
| eps   | <R>                  | in    | 収束条件値 (後述).     |
| accel | <R>                  | in    | SOR の加速係数 (後述). |
| x     | <R(size(b))>         | inout | 求めたいベクトル (後述).  |

## 定義式

行列  $a_{ij}$ , ベクトル  $b_i$  としたとき,

$$a_{ij}x_j = b_i$$

という関係を満たす未知ベクトル  $x_j$  を求める. このとき, 引数との対応関係は

$$a_{ij} : a(i,j), \quad x_j : x(j), \quad b_i : b(i)$$

である. SOR つきヤコビ法による計算方法の詳細は??参照.

## 備考

- 引数 eps は各配列の反復前後の相対誤差を表し, この値の最大値が eps 以下になったときに反復計算を終了する.
- 数学上, 加速係数は 2 未満にしなければ安定計算ができない. 本ルーチンでは, 2 以上の値が設定された場合, エラーとなるようにしている.

## 3.7.7 determ\_2d

## 機能

2 次行列の行列式を返す.

## 書式

```
result = determ_2d( a )
```

## 引数

a <I,R(2,2)> in 計算する行列.

## 定義式

2 次元行列  $A$  の行列式  $|A|$  は

$$A = \begin{pmatrix} a & b \\ c & d \end{pmatrix}, \quad \Rightarrow \quad |A| = \begin{vmatrix} a & b \\ c & d \end{vmatrix} = ad - bc$$

である.

## 備考

特になし.

## 3.7.8 eigenvalue\_power

## 機能

べき乗法を用いて行列の最大固有値とその固有値に対応する固有ベクトルを求めるルーチン.

## 書式

```
call eigenvalue_power( a, eps, lambda, lv )
```

## 引数

|        |                        |       |                 |
|--------|------------------------|-------|-----------------|
| lv     | <R(:)>                 | inout | 固有ベクトル (後述).    |
| a      | <R(size(lv),size(lv))> | inout | 固有値を求める行列 (後述). |
| eps    | <R>                    | in    | 反復の収束判条件 (後述).  |
| lambda | <R>                    | inout | 固有値 (後述).       |

## 定義式

行列  $a_{ij}$ , ベクトル  $x_i$  としたとき,

$$a_{ij}x_j = \lambda x_i$$

という関係を満たす未知数  $\lambda$  を求める. ここで,  $\lambda$  の値は (縮退している場合を除いて,) 行列の次元数個あるので, そのうちの絶対値が最大となる固有値に対応する. このとき, 引数との対応関係は

$$a_{ij} : a(i,j), \quad \lambda : \text{lambda}, \quad x_i : \text{lv}(i)$$

である. べき乗法による計算方法の詳細は??を参照.

## 備考

特になし.

## 3.7.9 gausss

## 機能

部分ピボットつきガウスの消去法を行うルーチン.

## 書式

```
call gausss( a, b, x )
```

## 引数

|   |                      |       |                |
|---|----------------------|-------|----------------|
| b | <R(:)>               | inout | ベクトルの成分 (後述).  |
| a | <R(size(b),size(b))> | inout | 行列 (後述).       |
| x | <R(size(b))>         | inout | 求めたいベクトル (後述). |

## 定義式

行列  $a_{ij}$ , ベクトル  $b_i$  としたとき,

$$a_{ij}x_j = b_i$$

という関係を満たす未知ベクトル  $x_j$  を求める. このとき, 引数との対応関係は

$$a_{ij} : a(i,j), \quad x_j : x(j), \quad b_i : b(i)$$

である. ガウスの消去法の詳細な計算方法は?? 参照.

## 備考

特になし.

## 3.7.10 invert\_mat

## 機能

任意正方行列の逆行列を返す.

## 書式

```
call invert_mat( a )
```

## 引数

|   |                            |       |         |
|---|----------------------------|-------|---------|
| a | <I,R(:,*)>                 | in    | 求める行列.  |
| b | <I,R(size(a,1),size(a,1))> | inout | a の逆行列. |

## 定義式

ガウスの消去法を用いて逆行列を計算する. 詳細な計算方法は??参照.

## 備考

特になし.

## 3.7.11 schumit\_norm

## 機能

任意のベクトルの組をシュミットの直交化法を用いて正規直交ベクトル系に変換するルーチン.



## 書式

```
call schumit_norm( u, v )
```

## 引数

u <R(:, :)>                      in      計算するベクトル系.  
v <R(size(u,1),size(u,2))>    inout   正規直交化ベクトル.

## 定義式

任意のベクトル系  $\{u\}_j$  を互いに線形独立な正規直交ベクトル系  $\{v\}_j$  に変換するためのシュミットの直交化法は

$$\{v\}_j = \frac{\{v'\}_j}{|\{v'\}_j|}, \quad \{v'\}_j = \{u\}_j - \sum_{k=0}^{j-1} (\{u\}_j \cdot \{v\}_k) \{v\}_k$$

である.

## 備考

特になし.

## 3.7.12 trans\_mat

## 機能

任意正方行列の転置を返す.

## 書式

```
call trans_mat( a )
```

## 引数

a <I,R(:, :)>    inout   転置にしたい.

## 定義式

行列  $A_{ij}$  の転置  $^T A$  は  $A_{ji}$  である.

## 備考

- 引数は inout 属性がついているので, 引数の結果は転置された値で返される.

## 3.8 max\_min

配列の最大値, 最小値を検索するルーチン集.

### 3.8.1 max\_val\_1d

#### 機能

1 次元配列の最大値とその値が格納されている配列要素番号を取得する。

#### 書式

```
call max_val_1d( var, mamn, mamv, [undef] )
```

#### 引数

|       |        |       |                  |
|-------|--------|-------|------------------|
| var   | <R(:)> | in    | 1 次元の探索配列.       |
| mamn  | <I>    | inout | 最大値が格納されている要素番号. |
| mamv  | <R>    | inout | var の最大値 .       |
| undef | <R>    | in    | 未定義値 ( 後述 ) .    |

#### 定義式

単純に 1 番目から配列の値を比較する。最大値が複数あった場合、最も要素番号の若いものが返される。

#### 備考

- 未定義値が定義されている場合は、その配列を比較しない。

### 3.8.2 max\_val\_2d

#### 機能

2 次元配列の最大値とその値が格納されている配列要素番号を取得する。

#### 書式

```
call max_val_2d( var, mamn, mamv, [undef] )
```

#### 引数

|       |           |       |                         |
|-------|-----------|-------|-------------------------|
| var   | <R(:, :)> | in    | 2 次元の探索配列.              |
| mamnx | <I>       | inout | 配列内の最大値に該当する第 1 配列要素番号. |
| mamny | <I>       | inout | 配列内の最大値に該当する第 2 配列要素番号. |
| mamv  | <R>       | inout | var の最大値 .              |
| undef | <R>       | in    | 未定義値 ( 後述 ) .           |

#### 定義式

単純に 1 番目から配列の値を比較する。最大値が複数あった場合、最も要素番号の若いものが返される。

## 備考

- 未定義値が定義されている場合は、その配列を比較しない。

## 3.8.3 max\_val\_3d

## 機能

3 次元配列の最大値とその値が格納されている配列要素番号を取得する。

## 書式

```
call max_val_3d( var, mamn, mamv, [undef] )
```

## 引数

|       |        |       |                         |
|-------|--------|-------|-------------------------|
| var   | <R(:)> | in    | 3 次元の探索配列.              |
| mamnx | <I>    | inout | 配列内の最大値に該当する第 1 配列要素番号. |
| mamny | <I>    | inout | 配列内の最大値に該当する第 2 配列要素番号. |
| mamnz | <I>    | inout | 配列内の最大値に該当する第 3 配列要素番号. |
| mamv  | <R>    | inout | var の最大値 .              |
| undef | <R>    | in    | 未定義値 ( 後述 ) .           |

## 定義式

単純に 1 番目から配列の値を比較する。最大値が複数あった場合、最も要素番号の若いものが返される。

## 備考

- 未定義値が定義されている場合は、その配列を比較しない。

## 3.8.4 min\_val\_1d

## 機能

1 次元配列の最小値とその値が格納されている配列要素番号を取得する。

## 書式

```
call min_val_1d( var, mamn, mamv, [undef] )
```

## 引数

|       |        |       |                  |
|-------|--------|-------|------------------|
| var   | <R(:)> | in    | 1 次元の探索配列.       |
| mamn  | <I>    | inout | 最小値が格納されている要素番号. |
| mamv  | <R>    | inout | var の最小値 .       |
| undef | <R>    | in    | 未定義値 ( 後述 ).     |

**定義式**

単純に 1 番目から配列の値を比較する。最小値が複数あった場合、最も要素番号の若いものが返される。

**備考**

- 未定義値が定義されている場合は、その配列を比較しない。

**3.8.5 min\_val\_2d****機能**

2 次元配列の最小値とその値が格納されている配列要素番号を取得する。

**書式**

```
call min_val_2d( var, mamn, mamv, [undef] )
```

**引数**

|       |           |       |                         |
|-------|-----------|-------|-------------------------|
| var   | <R(:, :)> | in    | 2 次元の探索配列.              |
| mamnx | <I>       | inout | 配列内の最小値に該当する第 1 配列要素番号. |
| mamny | <I>       | inout | 配列内の最小値に該当する第 2 配列要素番号. |
| mamv  | <R>       | inout | var の最小値 .              |
| undef | <R>       | in    | 未定義値 ( 後述 ).            |

**定義式**

単純に 1 番目から配列の値を比較する。最小値が複数あった場合、最も要素番号の若いものが返される。

**備考**

- 未定義値が定義されている場合は、その配列を比較しない。

**3.8.6 min\_val\_3d****機能**

3 次元配列の最小値とその値が格納されている配列要素番号を取得する。

## 書式

```
call min_val_3d( var, mamn, mamv, [undef] )
```

## 引数

|       |        |       |                         |
|-------|--------|-------|-------------------------|
| var   | <R(:)> | in    | 3次元の探索配列.               |
| mamnx | <I>    | inout | 配列内の最小値に該当する第 1 配列要素番号. |
| mamny | <I>    | inout | 配列内の最小値に該当する第 2 配列要素番号. |
| mamnz | <I>    | inout | 配列内の最小値に該当する第 3 配列要素番号. |
| mamv  | <R>    | inout | var の最小値 .              |
| undef | <R>    | in    | 未定義値 (後述) .             |

## 定義式

単純に 1 番目から配列の値を比較する。最小値が複数あった場合、最も要素番号の若いものが返される。

## 備考

- 未定義値が定義されている場合は、その配列を比較しない。

### 3.9 phys\_const

物理学的定数集. 物理学における普遍定数を以下の表のように与える. 出典は理科年表 (2008) より.

| 変数名    | 型   | 設定値       | 変数の意味      | 単位                  |
|--------|-----|-----------|------------|---------------------|
| Me     | <R> | 5.9736e24 | 地球の質量      | [kg]                |
| g      | <R> | 9.81      | 地球の標準重力加速度 | [m <sup>2</sup> /s] |
| omega  | <R> | 7.29e-5   | 地球の自転角速度   | [1/s]               |
| radius | <R> | 6.357e6   | 地球の極半径     | [m]                 |

### 3.10 poly\_function

直交多項式を計算するルーチン集. ここで定義される直交多項式ルーチンは、引数の値に応じて interface 宣言されているので、単精度の引数を与えれば単精度で、倍精度の引数を与えれば倍精度で計算した結果を返す. また、ここで用いられている多項式の計算定義式の証明は??参照.

## 3.10.1 chebyshev

## 機能

$0 - n$  次のチェビシェフ多項式を計算する.

## 書式

```
call chebyshev( n, x, che )
```

## 引数

|     |                     |       |            |
|-----|---------------------|-------|------------|
| n   | <I>                 | in    | 計算する最高次数.  |
| x   | <R,DP(:)>           | in    | 求めたい引数.    |
| che | <R,DP(0:n,size(x))> | inout | チェビシェフ多項式. |

## 定義式

$n$  次チェビシェフ多項式を  $T_n(x)$  とすると,

$$T_n(x) = \sum_{k=0}^{[n/2]} \frac{(-1)^k n!}{(2k)! (n-2k)!} x^{n-2k} (1-x^2)^k.$$

## 備考

- 実際の評価は漸化式で評価されている. 評価方法の詳細については??参照.

## 3.10.2 gegenbauer

## 機能

$0 - n$  次のゲーゲンバウアー多項式を計算する.

## 書式

```
call gegenbauer( n, x, p, lambda )
```

## 引数

|        |                     |       |              |
|--------|---------------------|-------|--------------|
| n      | <I>                 | in    | 計算する最高次数.    |
| x      | <R,DP(:)>           | in    | 求めたい引数.      |
| p      | <R,DP(0:n,size(x))> | inout | ゲーゲンバウアー多項式. |
| lambda | <R>                 | in    | ゲーゲンバウアー係数.  |

## 定義式

$n$  次ゲージンバウアー多項式を  $C_n^\lambda(x)$  とすると,

$$C_n^\lambda(x) = \frac{2^n \Gamma(n + \lambda)}{n! \Gamma(\lambda)} x^n F\left(-\frac{n}{2}, \frac{1-n}{2}, 1-n-\lambda; \frac{1}{x^2}\right).$$

ここで,  $F$  はガウスの超幾何級数である.

## 備考

- 実際の評価は漸化式で評価されている. 評価方法の詳細については??参照.

## 3.10.3 hermite

## 機能

$0 - n$  次のエルミート多項式を計算する.

## 書式

```
call hermite( n, x, p )
```

## 引数

|   |                     |       |           |
|---|---------------------|-------|-----------|
| n | <I>                 | in    | 計算する最高次数. |
| x | <R,DP(:)>           | in    | 求めたい引数.   |
| p | <R,DP(0:n,size(x))> | inout | エルミート多項式. |

## 定義式

$n$  次エルミート多項式を  $H_n(x)$  とすると,

$$H_n(x) = \sum_{k=0}^{\lfloor n/2 \rfloor} \frac{(-1)^k (2k-1)!! n!}{(2k)! (n-2k)!} x^{n-2k}.$$

## 備考

- 実際の評価は漸化式で評価されている. 評価方法の詳細については??参照.

## 3.10.4 jacobi\_poly

## 機能

$0 - n$  次のヤコビ多項式を計算する.

## 書式

```
call jacobi_poly( n, x, p, alpha, beta )
```

## 引数

|       |                     |       |           |
|-------|---------------------|-------|-----------|
| n     | <I>                 | in    | 計算する最高次数. |
| x     | <R,DP(:)>           | in    | 求めたい引数.   |
| p     | <R,DP(0:n,size(x))> | inout | ヤコビ多項式.   |
| alpha | <R>                 | in    | ヤコビ係数 1.  |
| beta  | <R>                 | in    | ヤコビ係数 2.  |

## 定義式

$n$  次ヤコビ多項式を  $G_n(\alpha, \beta; x)$  とすると,

$$G_n(\alpha, \beta; x) = 1 + \sum_{k=1}^n \frac{(-1)^k n!}{r! (n-r)!} \frac{\Gamma(\alpha+n+k)\Gamma(\beta)}{\Gamma(\alpha+n)\Gamma(\beta+k)} x^k.$$

## 備考

- 実際の評価は漸化式で評価されている. 評価方法の詳細については??参照.

## 3.10.5 laguerre

## 機能

$0 - n$  次のラゲール多項式を計算する.

## 書式

```
call laguerre( n, x, p )
```

## 引数

|   |                     |       |           |
|---|---------------------|-------|-----------|
| n | <I>                 | in    | 計算する最高次数. |
| x | <R,DP(:)>           | in    | 求めたい引数.   |
| p | <R,DP(0:n,size(x))> | inout | ラゲール多項式.  |

## 定義式

$n$  次ラゲール多項式を  $L_n(x)$  とすると,

$$L_n(x) = \sum_{k=0}^n \frac{(-1)^k n!}{k! (n-k)! k!} x^k.$$

## 備考

- 実際の評価は漸化式で評価されている. 評価方法の詳細については??参照.



## 3.10.6 legendre

## 機能

0 -  $n$  次のルジャンドル多項式を計算する.

## 書式

```
call legendre( n, x, p )
```

## 引数

|   |                     |       |            |
|---|---------------------|-------|------------|
| n | <I>                 | in    | 計算する最高次数.  |
| x | <R,DP(:)>           | in    | 求めたい引数.    |
| p | <R,DP(0:n,size(x))> | inout | ルジャンドル多項式. |

## 定義式

$n$  次ルジャンドル多項式を  $P_n(x)$  とすると,

$$P_n(x) = \sum_{k=0}^{\infty} i(-1)^k \frac{(n-k+1)(n-k+2) \cdots n(n+1) \cdots (n+k)}{k!k!} \left( \frac{1-x}{2} \right)^k.$$

## 備考

- 実際の評価は漸化式で評価されている. 評価方法の詳細については??参照.

## 3.10.7 sonine

## 機能

0 -  $n$  次のソニン多項式を計算する.

## 書式

```
call sonine( n, x, p, lambda )
```

## 引数

|        |                     |       |           |
|--------|---------------------|-------|-----------|
| n      | <I>                 | in    | 計算する最高次数. |
| x      | <R,DP(:)>           | in    | 求めたい引数.   |
| p      | <R,DP(0:n,size(x))> | inout | ソニン多項式.   |
| lambda | <R>                 | in    | ソニン係数.    |

## 定義式

$n$  次ソニン多項式を  $S_n^\lambda(x)$  とすると,

$$S_n^\lambda(x) = \sum_{k=0}^n \frac{(-1)^k (n+\lambda)!}{k! (n+\lambda-k)! k!} x^k.$$

備考

- 実際の評価は漸化式で評価されている. 評価方法の詳細については??参照.

### 3.11 special\_function

特殊関数を計算する関数集. なお, 以下の関数マニュアルには, 関数の定義式のみ表記しており, 実際の評価手順は??を参考にされたい.

#### 3.11.1 Full\_Ellip1\_Func

機能

第一種完全楕円関数を計算する.

書式

```
result = Full_Ellip1_Func( k )
```

引数

|     |        |       |       |
|-----|--------|-------|-------|
| k   | <R>    | in    | 波数.   |
| 戻り値 | <R,DP> | inout | 計算結果. |

定義式

$$K(k) = \int_0^{\pi/2} \frac{1}{\sqrt{1 - k^2 \sin^2 \theta}} d\theta.$$

備考

特になし.

#### 3.11.2 Full\_Ellip2\_Func

機能

第一種完全楕円関数を計算する.

書式

```
result = Full_Ellip2_Func( k )
```

引数

|     |        |       |       |
|-----|--------|-------|-------|
| k   | <R>    | in    | 波数.   |
| 戻り値 | <R,DP> | inout | 計算結果. |

定義式

$$K(k) = \int_0^{\pi/2} \frac{1}{\sqrt{1 - k^2 \sin^2 \theta}} d\theta.$$

備考

特になし.

### 3.11.3 bessj

機能

第一種ベッセル関数を計算する.

書式

```
result = bessj( m, t )
```

引数

|     |        |       |            |
|-----|--------|-------|------------|
| m   | <I,R>  | in    | ベッセル関数の次数. |
| t   | <R,DP> | in    | 変数.        |
| 戻り値 | <R,DP> | inout | 計算結果.      |

定義式

 $m$  次ベッセル関数を  $J_m(t)$  とすると,

$$J_m(t) = \sum_{k=0}^{\infty} \frac{(-1)^k}{k! \Gamma(k+m+1)} \left(\frac{t}{2}\right)^{2k+m}.$$

ここで,  $\Gamma(m)$  は  $m$  次ガンマ関数である.備考

- 実際の評価式は積分形で評価されている. 評価方法の詳細については??参照.

### 3.11.4 bessy

機能

第二種ベッセル関数を計算する.

書式

```
result = bessy( m, t )
```

## 引数

|     |        |       |            |
|-----|--------|-------|------------|
| m   | <I,R>  | in    | ベッセル関数の次数. |
| t   | <R,DP> | in    | 変数.        |
| 戻り値 | <R,DP> | inout | 計算結果.      |

## 定義式

$m$  次ベッセル関数を  $Y_m(t)$  とすると,

$$Y_m(t) = J_m(t) \ln t - \frac{1}{2} \sum_{k=0}^{m-1} \frac{(m-k-1)!}{k!} \left(\frac{t}{2}\right)^{2k-m} - \frac{1}{2} \sum_{k=1}^{\infty} \frac{(-1)^k}{k! (n+k)!} \left[ \left(1 + \frac{1}{2} + \cdots + \frac{1}{k}\right) + \left(\frac{1}{n+1} + \cdots + \frac{1}{n+k}\right) \right] \left(\frac{t}{2}\right)^{2k+m}.$$

ここで,  $\Gamma(m)$  は  $m$  次ガンマ関数,  $J_m(t)$  は  $m$  次ベッセル関数である.

備考 • 実際の評価式は積分形で評価されている. 評価方法の詳細については??参照.

## 3.11.5 beszero

## 機能

第一種ベッセル関数のゼロ点を計算する.

## 書式

```
call beszero( nmax, mmax, k )
```

## 引数

|      |                     |       |                |
|------|---------------------|-------|----------------|
| nmax | <I>                 | in    | ベッセル関数の最大次数.   |
| mmax | <I>                 | in    | 求めるゼロ点の個数.     |
| k    | <R,DP(0:nmax,mmax)> | inout | ゼロ点での値 (備考参照). |

## 定義式

第一種ベッセル関数の 0 次から  $n$  次までの原点から  $m$  個のゼロ点を計算する. このとき, 引数との対応関係は以下ようになる.

$$n : \text{nmax}, \quad m : \text{mmax}.$$

備考 • 例えば,  $n$  次の  $m$  番目のゼロ点での変数の値を求めたい場合, `call beszero( n, m, k(0:n,m) )` と指定すれば, `k(n,m)` にそのゼロ点の値が格納されている.

## 3.11.6 beta\_func

## 機能

ベータ関数を計算する.

## 書式

```
result = beta_func( x, y )
```

## 引数

|     |        |       |       |
|-----|--------|-------|-------|
| x   | <R,DP> | in    | 第一要素. |
| y   | <R,DP> | in    | 第二要素. |
| 戻り値 | <R,DP> | inout | 計算結果. |

## 定義式

ベータ関数を  $B(x, y)$  とすると,

$$B(x, y) = \int_0^1 t^{x-1} (1-t)^{y-1} dt, \quad x, y > 0$$

- 備考
- 実際の評価式は近似式で評価されている. 評価方法の詳細については??参照.
  - ベータ関数には変数対称性をもつため,

$$B(x, y) = B(y, x)$$

であるので, 引数の順序は問わない.

## 3.11.7 delta

## 機能

クロネッカーのデルタを計算する.

## 書式

```
result = delta( i, j )
```

## 引数

|     |     |       |       |
|-----|-----|-------|-------|
| i   | <I> | in    | 第一要素. |
| j   | <I> | in    | 第二要素. |
| 戻り値 | <R> | inout | 計算結果. |

## 定義式

$$\delta_{i,j} = \begin{cases} 1 & (i = j) \\ 0 & (i \neq j) \end{cases}$$

## 備考

特になし.

## 3.11.8 df\_bessj

## 機能

第一種変形ベッセル関数を計算する.

## 書式

```
result = df_bessj( m, t )
```

## 引数

|     |        |       |              |
|-----|--------|-------|--------------|
| m   | <I,R>  | in    | 変形ベッセル関数の次数. |
| t   | <R,DP> | in    | 変数.          |
| 戻り値 | <R,DP> | inout | 計算結果.        |

## 定義式

$m$  次変形ベッセル関数を  $I_m(t)$  とすると,

$$I_m(t) = i^{-m} J_m(it).$$

ここで,  $J_m(t)$  は  $m$  次ベッセル関数,  $i$  は虚数単位である.

備考 • 実際の評価式は積分形で評価されている. 評価方法の詳細については??参照.

## 3.11.9 df\_bessy

## 機能

第一種変形ノイマン関数を計算する.

## 書式

```
result = df_bessy( m, t )
```

## 引数

|     |        |       |              |
|-----|--------|-------|--------------|
| m   | <I,R>  | in    | 変形ノイマン関数の次数. |
| t   | <R,DP> | in    | 変数.          |
| 戻り値 | <R,DP> | inout | 計算結果.        |

## 定義式

$m$  次変形ノイマン関数を  $K_m(t)$  とすると,

$$K_m(t) = \frac{\pi}{2} \frac{I_{-m}(t) - I_m(t)}{\sin m\pi}.$$

ここで,  $I_m(t)$  は  $m$  次変形ベッセル関数である.

備考 • 実際の評価式は積分形で評価されている. 評価方法の詳細については??参照.

## 3.11.10 epsilon

## 機能

エディントンのイプシロンを計算する.

## 書式

```
result = epsilon( i, j, k )
```

## 引数

|     |     |       |       |
|-----|-----|-------|-------|
| i   | <I> | in    | 第一要素. |
| j   | <I> | in    | 第二要素. |
| k   | <I> | in    | 第三要素. |
| 戻り値 | <R> | inout | 計算結果. |

## 定義式

$$\varepsilon_{i,j,k} = \begin{cases} 1 & \text{偶置換} \\ -1 & \text{奇置換} \\ 0 & \text{その他} \end{cases}$$

## 備考

特になし.

## 3.11.11 gamma\_func

## 機能

ガンマ関数を計算する.

## 書式

```
result = gamma_func( x )
```

## 引数

|     |        |       |       |
|-----|--------|-------|-------|
| x   | <I,R>  | in    | 要素.   |
| 戻り値 | <R,DP> | inout | 計算結果. |

定義式

ガンマ関数を  $\Gamma(x)$  とすると,

$$\Gamma(x) = \int_0^{\infty} t^{x-1} e^{-t} dt, \quad x > 0$$

備考 • 実際の評価式は近似式で評価されている. 評価方法の詳細については??参照.

## 3.11.12 kaijo

機能

階乗を計算する.

書式

`result = kaijo( i )`

引数

|     |       |       |       |
|-----|-------|-------|-------|
| i   | <I>   | in    | 要素.   |
| 戻り値 | <I,R> | inout | 計算結果. |

定義式

$$i! = i \times (i-1) \times \cdots \times 2 \times 1$$

備考

特になし.

## 3.11.13 sp\_bessj

機能

第一種球ベッセル関数を計算する.

書式

`result = sp_bessj( m, t )`

引数

|     |        |       |             |
|-----|--------|-------|-------------|
| m   | <I,R>  | in    | 球ベッセル関数の次数. |
| t   | <R,DP> | in    | 変数.         |
| 戻り値 | <R,DP> | inout | 計算結果.       |



## 定義式

$m$  次球ベッセル関数を  $j_m(t)$  とすると,

$$j_m(t) = \left(\frac{\pi}{2t}\right)^{1/2k} J_{m+1/2}(t).$$

ここで,  $J_m(t)$  は  $m$  次ベッセル関数である.

備考 • 実際の評価式は積分形で評価されている. 評価方法の詳細については??参照.

## 3.11.14 sp\_bessy

## 機能

第一種球ノイマン関数を計算する.

## 書式

```
result = sp_bessy( m, t )
```

## 引数

|     |        |       |             |
|-----|--------|-------|-------------|
| m   | <I,R>  | in    | 球ノイマン関数の次数. |
| t   | <R,DP> | in    | 変数.         |
| 戻り値 | <R,DP> | inout | 計算結果.       |

## 定義式

$m$  次球ノイマン関数を  $j_m(t)$  とすると,

$$y_m(t) = \left(\frac{\pi}{2t}\right)^{1/2k} Y_{m+1/2}(t).$$

ここで,  $Y_m(t)$  は  $m$  次ノイマン関数である.

備考 • 実際の評価式は積分形で評価されている. 評価方法の詳細については??参照.

## 3.12 statistics

主要な統計処理に加え, 平均化, 内挿, フィッティング処理等を行うルーチン集.

## 3.12.1 Anomaly\_1d

## 機能

1 次元配列の平均値からのアノマリーを計算する。

## 書式

```
call Anomaly_1d( x, anor, [error] )
```

## 引数

|       |              |       |                 |
|-------|--------------|-------|-----------------|
| x     | <R(:)>       | in    | 1 次元データ.        |
| anor  | <R(size(x))> | inout | 各 x(i) に対応する偏差. |
| error | <R>          | in    | 欠損値 (後述).       |

## 定義式

任意の長さのデータ列  $x_n$  が存在した場合、そのアノマリー  $a_n$  は以下のように計算される。

$$a_i = x_i - \frac{1}{n} \sum_{p=1}^n x_p$$

## 備考

- 欠損値が定義されている場合は、平均計算の際、その値が入っているデータ点を計算に入れない。また、アノマリーとしても error で定義されている値を返す。

## 3.12.2 Anomaly\_2d

## 機能

2 次元配列の平均値からのアノマリーを計算する。

## 書式

```
call Anomaly_2d( x, anor, [error] )
```

## 引数

|       |                          |       |                   |
|-------|--------------------------|-------|-------------------|
| x     | <R(:, :)>                | in    | 1 次元データ.          |
| anor  | <R(size(x,1),size(x,2))> | inout | 各 x(i,j) に対応する偏差. |
| error | <R>                      | in    | 欠損値 (後述).         |

## 定義式

任意の長さのデータ列  $x_{mn}$  が存在した場合、そのアノマリー  $a_{mn}$  は以下のように計算される。

$$a_{ij} = x_{ij} - \frac{1}{mn} \sum_{q=1}^n \sum_{p=1}^m x_{pq}$$

## 備考

- 欠損値が定義されている場合は、平均計算の際、その値が入っているデータ点を計算に入れない。また、アノマリーとしても `error` で定義されている値を返す。

## 3.12.3 Anomaly\_3d

## 機能

3 次元配列の平均値からのアノマリーを計算する。

## 書式

```
call Anomaly_3d( x, anor, [error] )
```

## 引数

|                    |   |                    |                                  |
|--------------------|---|--------------------|----------------------------------|
| <code>x</code>     | <code>&lt;R(:)&gt;</code>                             | <code>in</code>    | 1 次元データ.                         |
| <code>anor</code>  | <code>&lt;R(size(x,1),size(x,2),size(x,3))&gt;</code> | <code>inout</code> | 各 <code>x(i,j,k)</code> に対応する偏差. |
| <code>error</code> | <code>&lt;R&gt;</code>                                | <code>in</code>    | 欠損値 (後述).                        |

## 定義式

任意の長さのデータ列  $x_{lmn}$  が存在した場合、そのアノマリー  $a_{lmn}$  は以下のように計算される。

$$a_{ijk} = x_{ijk} - \frac{1}{lmn} \sum_{r=1}^n \sum_{q=1}^m \sum_{p=1}^l x_{pqr}$$

## 備考

- 欠損値が定義されている場合は、平均計算の際、その値が入っているデータ点を計算に入れない。また、アノマリーとしても `error` で定義されている値を返す。

## 3.12.4 Cor\_Coe

## 機能

2 データの相関係数を計算するルーチン.

## 書式

```
call Cor_Coe( x, y, cc, [error] )
```

## 引数

|       |              |       |          |
|-------|--------------|-------|----------|
| x     | <R(:)>       | in    | 1 次元データ. |
| y     | <R(size(x))> | in    | 1 次元データ. |
| cc    | <R>          | inout | 相関係数.    |
| error | <R>          | in    | 欠損値.     |

## 定義式

任意の長さの 2 データ列  $x_n, y_n$  が存在した場合、その相関係数  $cc$  以下のように計算される。

$$cc = \frac{cov}{stv(x) \times stv(y)}.$$

ただし、以下のような記号を用いた。

$$cov = \sum_{i=1}^n (x_i - \bar{x})(y_i - \bar{y}), \quad stv(\phi) = \sum_{i=1}^n (\phi_i - \bar{\phi})^2$$

ここで、 $cov$  は共分散、 $stv(\phi)$  は  $\phi_n$  というデータ列の標準偏差となる。また、上線のついた変数は平均値を表す。

## 備考

- 欠損値が定義されている場合は、計算の際、そのデータを計算しない。

## 3.12.5 LSM

## 機能

あるデータ列に対して、線形関数にフィッティングする際に、最小二乗法によってその傾きと切片を計算するルーチン。

## 書式

```
call LSM( x, y, slope, intercept, [undef] )
```

## 引数

|           |              |       |               |
|-----------|--------------|-------|---------------|
| x         | <R(:)>       | in    | データ要素 1.      |
| y         | <R(size(x))> | in    | データ要素 2.      |
| slope     | <R>          | inout | 求められる線形関数の傾き. |
| intercept | <R>          | inout | 求められる線形関数の切片. |
| undef     | <R>          | in    | 欠損値 (後述) .    |

## 定義式

任意の長さのデータ列の組  $x_n, y_n$  が存在した場合、そのデータを最小二乗法により以下のような線形関数  $F(x_n)$  にフィッティングする。

$$F(x_i) = a_1 x_i + a_0.$$

このとき、引数は以下の対応をする。

$$x_i : x(i), \quad a_1 : \text{slope}, \quad a_0 : \text{intercept}.$$

なお、この最小二乗法による具体的な計算の証明は付録の??参照。

## 備考

- 欠損値が定義されている場合は、その値が入っているデータ点を計算に入れない。

## 3.12.6 LSM\_poly

## 機能

あるデータ列に対して、任意次数の多項式にフィッティングする際に、最小二乗法によってその各係数を計算するルーチン。

## 書式

```
call LSM_poly( x, y, a, intercept, [undef] )
```

## 引数

|           |              |       |                   |
|-----------|--------------|-------|-------------------|
| x         | <R(:)>       | in    | データ要素 1.          |
| y         | <R(size(x))> | in    | データ要素 2.          |
| a         | <R(:)>       | inout | 求められる多項式の各係数（後述）. |
| intercept | <R>          | inout | 求められる多項式の切片（後述）.  |
| undef     | <R>          | in    | 欠損値（後述）.          |

## 定義式

任意の長さのデータ列の組  $x_n, y_n$  が存在した場合、そのデータを最小二乗法により以下のような  $m$  次多項式  $F(x_n)$  にフィッティングする。

$$F(x_i) = \sum_{j=1}^m a_j x_i^j + a_0.$$

このとき、引数は以下の対応をする。

$$x_i : x(i), \quad a_j : a(j), \quad a_0 : \text{intercept}.$$

引数の形から見て明らかなように、実引数として  $a$  を渡す際、その配列の要素数が多項式の最高次数となる。また、メインルーチン側で、`intercept` も配列  $a$  に組み込みたい場合、実引数側で `intercept` の変数として、 $a(0)$  を代入すれば問題ない。なお、この最小二乗法による具体的な計算の証明は付録の??参照。

#### 備考

- 欠損値が定義されている場合は、その値が入っているデータ点を計算に入れない。

### 3.12.7 Mean\_1d

#### 機能

1 次元配列の平均値を計算する。

#### 書式

```
call Mean_1d( x, ave, [error] )
```

#### 引数

|                    |        |       |            |
|--------------------|--------|-------|------------|
| <code>x</code>     | <R(:)> | in    | 1 次元データ.   |
| <code>ave</code>   | <R>    | inout | 計算する平均値.   |
| <code>error</code> | <R>    | in    | 欠損値 (後述) . |

#### 定義式

任意の長さのデータ列  $x_n$  が存在した場合、そのアノマリー  $ave$  は以下のように計算される。

$$ave = \frac{1}{n} \sum_{p=1}^n x_p$$

#### 備考

- 欠損値が定義されている場合は、平均計算の際、その値が入っているデータ点を計算に入れない。

### 3.12.8 Mean\_2d

#### 機能

2 次元配列の平均値を計算する。

## 書式

```
call Mean_2d( x, ave, [error] )
```

## 引数

|       |           |       |           |
|-------|-----------|-------|-----------|
| x     | <R(:, :)> | in    | 2 次元データ.  |
| ave   | <R>       | inout | 計算する平均値.  |
| error | <R>       | in    | 欠損値 (後述). |

## 定義式

任意の長さのデータ列  $x_{mn}$  が存在した場合、そのアノマリー  $ave$  は以下のように計算される。

$$ave = \frac{1}{mn} \sum_{q=1}^n \sum_{p=1}^m x_{pq}$$

## 備考

- 欠損値が定義されている場合は、平均計算の際、その値が入っているデータ点を計算に入れない。

## 3.12.9 Mean\_3d

## 機能

3 次元配列の平均値を計算する。

## 書式

```
call Mean_3d( x, ave, [error] )
```

## 引数

|       |              |       |           |
|-------|--------------|-------|-----------|
| x     | <R(:, :, :)> | in    | 3 次元データ.  |
| ave   | <R>          | inout | 計算する平均値.  |
| error | <R>          | in    | 欠損値 (後述). |

## 定義式

任意の長さのデータ列  $x_{lmn}$  が存在した場合、そのアノマリー  $ave$  は以下のように計算される。

$$ave = \frac{1}{lmn} \sum_{r=1}^n \sum_{q=1}^m \sum_{p=1}^l x_{pqr}$$

## 備考

- 欠損値が定義されている場合は、平均計算の際、その値が入っているデータ点を計算に入れない。

### 3.12.10 Reg\_Line

#### 機能

を計算するルーチン.

#### 書式

```
call Reg_Line( x, y, cov, [error] )
```

#### 引数

|       |              |       |          |
|-------|--------------|-------|----------|
| x     | <R(:)>       | in    | 1 次元データ. |
| y     | <R(size(x))> | in    | 1 次元データ. |
| cov   | <R>          | inout | 共分散.     |
| error | <R>          | in    | 欠損値.     |

#### 定義式

任意の長さの 2 データ列  $x_n, y_n$  が存在した場合、その共分散  $cov$  以下のように計算される。

$$cov = \sum_{i=1}^n (x_i - \bar{x})(y_i - \bar{y})$$

ここで、上線のついた変数は平均値を表す。

#### 備考

- 欠損値が定義されている場合は、計算の際、そのデータを計算しない。

### 3.12.11 covariance

#### 機能

2 データの共分散を計算するルーチン.

#### 書式

```
call covariance( x, y, cov, [error] )
```

#### 引数



|       |              |       |          |
|-------|--------------|-------|----------|
| x     | <R(:)>       | in    | 1 次元データ. |
| y     | <R(size(x))> | in    | 1 次元データ. |
| cov   | <R>          | inout | 共分散.     |
| error | <R>          | in    | 欠損値.     |

## 定義式

任意の長さの 2 データ列  $x_n, y_n$  が存在した場合、その共分散  $cov$  以下のように計算される。

$$cov = \sum_{i=1}^n (x_i - \bar{x})(y_i - \bar{y})$$

ここで、上線のついた変数は平均値を表す。

## 備考

- 欠損値が定義されている場合は、計算の際、そのデータを計算しない。

## 3.12.12 interpo\_search\_1d

## 機能

1 次元の漸増配列（要素数が増えるごとに値が大きくなる配列）の中で、point を越えない最大の要素番号を出力する（いわゆるガウス記号のような処理を行う）。

## 書式

```
call interpo_search_1d( x, point, i, [undef] )
```

## 引数

|       |        |       |                                |
|-------|--------|-------|--------------------------------|
| x     | <R(:)> | in    | 1 次元漸増配列.                      |
| point | <R>    | in    | 調べたい点.                         |
| i     | <I>    | inout | point を越えない最大の x(i) に相当する要素番号. |
| undef | <I>    | in    | 探索範囲外フラグ（後述）. デフォルトはゼロ.        |

## 定義式

模式図は図??.

## 備考

- 探索範囲の配列要素値より小さい値を探索しようとした際に undef を返す。探索範囲より大きい場合はどのような値をとっても、x の最大値に相当する配列要素番号を返す。

## 3.12.13 interpo\_search\_2d

## 機能

2 次元の漸増配列（要素数が増えるごとに値が大きくなる配列）の中で、pointx, pointy を越えない最大の要素番号を出力する（いわゆるガウス記号のような処理を行う）。

## 書式

```
call interpo_search_2d( x, y, pointx, pointy, i, j, [undef] )
```

## 引数

|        |        |       |                                 |
|--------|--------|-------|---------------------------------|
| x      | <R(:)> | in    | 1 次元漸増配列.                       |
| y      | <R(:)> | in    | 1 次元漸増配列.                       |
| pointx | <R>    | in    | x について調べたい点.                    |
| pointy | <R>    | in    | y について調べたい点.                    |
| i      | <I>    | inout | pointx を越えない最大の x(i) に相当する要素番号. |
| j      | <I>    | inout | pointy を越えない最大の y(j) に相当する要素番号. |
| undef  | <I>    | in    | 探索範囲外フラグ（後述）. デフォルトはゼロ.         |

## 定義式

模式図は図??.

## 備考

- 探索範囲の配列要素値より小さい値を探索しようとした際に undef を返す。探索範囲より大きい場合はどのような値をとっても、x の最大値に相当する配列要素番号を返す。

## 3.12.14 interpo\_search\_3d

## 機能

3 次元の漸増配列（要素数が増えるごとに値が大きくなる配列）の中で、pointx, pointy, pointz を越えない最大の要素番号を出力する（いわゆるガウス記号のような処理を行う）。

## 書式

```
call interpo_search_3d( x, y, z, pointx, pointy, pointz, i, j, k, [undef] )
```

## 引数

|        |        |       |                                 |
|--------|--------|-------|---------------------------------|
| x      | <R(:)> | in    | 1 次元漸増配列.                       |
| y      | <R(:)> | in    | 1 次元漸増配列.                       |
| z      | <R(:)> | in    | 1 次元漸増配列.                       |
| pointx | <R>    | in    | x について調べたい点.                    |
| pointy | <R>    | in    | y について調べたい点.                    |
| pointz | <R>    | in    | z について調べたい点.                    |
| i      | <I>    | inout | pointx を越えない最大の x(i) に相当する要素番号. |
| j      | <I>    | inout | pointy を越えない最大の y(j) に相当する要素番号. |
| k      | <I>    | inout | pointz を越えない最大の z(k) に相当する要素番号. |
| undeff | <I>    | in    | 探索範囲外フラグ (後述). デフォルトはゼロ.        |

## 定義式

模式図は図??.

## 備考

- 探索範囲の配列要素値より小さい値を探索しようとした際に undeff を返す。探索範囲より大きい場合はどのような値をとっても、x の最大値に相当する配列要素番号を返す。

## 3.12.15 interpolation\_1d

## 機能

1 次元の線形内挿ルーチン。内挿点と内挿の際に参照する点および、その点における値をもとに、内挿点での値を線形内挿によって計算する。

## 書式

```
call interpolation_1d( x, y, point, val )
```

## 引数

|       |        |       |                  |
|-------|--------|-------|------------------|
| x     | <R(2)> | in    | 内挿点の左右端 (後述) .   |
| y     | <R(2)> | in    | x で定義される値 (後述) . |
| point | <R>    | in    | 内挿点.             |
| val   | <R>    | inout | 内挿点での値.          |

## 定義式

模式図は図??. ある座標配列  $x_n$  の各点に対して定義されている値  $y_n$  をもとに、ある 2 点  $x_i, x_{i+1}$  の間の点  $x_{ip}$  における線形内挿値を計算したいとする。このとき、内挿値  $y_{ip}$  は近傍 2 点の値を参照して、以下のように計算される。

$$y_{ip} = y_i + dx * (x_{ip} - x_i), \quad dx = \frac{y_{i+1} - y_i}{x_{i+1} - x_i}.$$

このとき、引数は以下の対応をする。

$$x_i : x(1), \quad x_{i+1} : x(2), \quad y_i : y(1), \quad y_{i+1} : y(2), \\ x_{ip} : \text{point}, \quad y_{ip} : \text{val}$$

## 備考

- 最初に、 $x(1:2)$  の点がわからない場合は、point の値をもとに、interpo\_search\_1d ルーチンを用い、これらの点をあらかじめ求めておけばよい。

## 3.12.16 interpolation\_2d

## 機能

2 次元の線形内挿ルーチン。内挿点と内挿の際に参照する点および、その点における値をもとに、内挿点での値を線形内挿によって計算する。

## 書式

```
call interpolation_2d( x, y, z, point, val )
```

## 引数

|       |          |       |  |
|-------|----------|-------|--|
| x     | <R(2)>   | in    | x 方向内挿点の左右端 (後述) .                             |
| y     | <R(2)>   | in    | y 方向内挿点の左右端 (後述) .                             |
| z     | <R(2,2)> | in    | x, y で定義される値 (後述) .                            |
| point | <R(2)>   | in    | x, y での内挿点.<br>point(1) が x, point(2) が y に対応. |
| val   | <R>      | inout | 内挿点での値.  |

## 定義式

模式図は図??. ある座標配列  $x_n, y_m$  の各点に対して定義されている値  $z_{nm}$  をもとに、ある 4 点  $(x_i, y_j), (x_{i+1}, y_j), (x_i, y_{j+1}), (x_{i+1}, y_{j+1})$  で囲まれる点  $(x_p, y_q)$  における双線形内挿値を計算したいとする。このとき、内挿値  $z_{pq}$  は近傍 4 点の値を参照して、

$$z_{pq} = z_{ij} + \frac{z_{i+1j} - z_{ij}}{x_{i+1} - x_i} (x_p - x_i) + \frac{z_{ij+1} - z_{ij}}{y_{j+1} - y_j} (y_q - y_j) \\ + \frac{[z_{i+1j+1} - z_{ij+1} - z_{i+1j} + z_{ij}]}{(x_{i+1} - x_i)(y_{j+1} - y_j)} (x_p - x_i)(y_q - y_j)$$

と計算される<sup>\*3</sup>。このとき、引数は以下の対応をする。

$$\begin{aligned} x_i &: x(1), & x_{i+1} &: x(2), & y_j &: y(1), & y_{j+1} &: y(2), \\ z_{ij} &: z(1,1), & z_{i+1j} &: z(2,1), & z_{ij+1} &: z(1,2), & z_{i+1j+1} &: z(2,2), \\ x_p &: \text{point}(1), & y_q &: \text{point}(2), & z_{pq} &: \text{val} \end{aligned}$$

#### 備考

- 最初に、 $x(1:2)$ ,  $y(1:2)$  の点がわからない場合は、`point` の値をもとに、`interpo_search_2d` ルーチンを用い、これらの点をあらかじめ求めておけばよい。

### 3.12.17 interpolation\_3d

#### 機能

3 次元の線形内挿ルーチン。内挿点と内挿の際に参照する点および、その点における値をもとに、内挿点での値を線形内挿によって計算する。

#### 書式

```
call interpolation_3d( x, y, z, u, point, val )
```

#### 引数

|       |            |       |  |
|-------|------------|-------|--|
| x     | <R(2)>     | in    | x 方向内挿点の左右端 (後述) .   |
| y     | <R(2)>     | in    | y 方向内挿点の左右端 (後述) .   |
| z     | <R(2)>     | in    | z 方向内挿点の左右端 (後述) .   |
| u     | <R(2,2,2)> | in    | x, y, z で定義される値 (後述) .   |
| point | <R(3)>     | in    | x, y, z での内挿点.<br>point(1) が x, point(2) が y に,<br>point(3) が z に対応. |
| val   | <R>        | inout | 内挿点での値.  |

#### 定義式

模式図は図??。ある座標配列  $x_n, y_m, z_l$  の各点に対して定義されている値  $u_{nml}$  をもとに、ある 8 点で囲まれる点  $(x_p, y_q, z_r)$  における双線形内挿値を計算したいとする。

<sup>\*3</sup>この式の導出は??参照.

このとき、内挿値  $z_{pqr}$  は近傍 8 点の値を参照して、

$$\begin{aligned}
 u_{pqr} = & u_{ijk} + (u_{i+1jk} - u_{ijk}) \frac{(x_p - x_i)}{x_{i+1} - x_i} + (u_{ij+1k} - u_{ijk}) \frac{(y_q - y_j)}{y_{j+1} - y_j} \\
 & + (u_{ijk+1} - u_{ijk}) \frac{(z_r - z_k)}{z_{k+1} - z_j} \\
 & + (u_{i+1j+1k} - u_{ij+1k} - u_{i+1jk} + u_{ijk}) \frac{(x_p - x_i)}{x_{i+1} - x_i} \frac{(y_q - y_j)}{y_{j+1} - y_j} \\
 & + (u_{i+1jk+1} - u_{ik+1} - u_{i+1jk} + u_{ijk}) \frac{(x_p - x_i)}{x_{i+1} - x_i} \frac{(z_r - z_k)}{z_{k+1} - z_j} \\
 & + (u_{ij+1k+1} - u_{ijk+1} - u_{ij+1k} + u_{ijk}) \frac{(y_q - y_j)}{y_{j+1} - y_j} \frac{(z_r - z_k)}{z_{k+1} - z_j} \\
 & + (u_{i+1j+1k+1} - u_{ij+1k+1} - u_{i+1jk+1} + u_{ijk+1} - u_{i+1j+1k} + u_{ij+1k} + u_{i+1jk} - u_{ijk}) \\
 & \times \frac{(x_p - x_i)}{x_{i+1} - x_i} \frac{(y_q - y_j)}{y_{j+1} - y_j} \frac{(z_r - z_k)}{z_{k+1} - z_j}
 \end{aligned}$$

と計算される<sup>\*4</sup>。このとき、引数は以下の対応をする。

$$\begin{aligned}
 x_i &: \mathbf{x}(1), & x_{i+1} &: \mathbf{x}(2), & y_j &: \mathbf{y}(1), & y_{j+1} &: \mathbf{y}(2), \\
 z_k &: \mathbf{z}(1), & z_{k+1} &: \mathbf{z}(2), \\
 z_{ijk} &: \mathbf{z}(1,1,1), & z_{i+1jk} &: \mathbf{z}(2,1,1), & z_{ij+1k} &: \mathbf{z}(1,2,1), & z_{ijk+1} &: \mathbf{z}(1,1,2), \\
 z_{i+1j+1k} &: \mathbf{z}(2,2,1), & z_{i+1jk+1} &: \mathbf{z}(2,1,2), & z_{ij+1k+1} &: \mathbf{z}(1,2,2), & z_{i+1j+1k+1} &: \mathbf{z}(2,2,2), \\
 x_p &: \mathbf{point}(1), & y_q &: \mathbf{point}(2), & z_r &: \mathbf{point}(3), & u_{pqr} &: \mathbf{val}
 \end{aligned}$$

#### 備考

- 最初に、 $\mathbf{x}(1:2)$ ,  $\mathbf{y}(1:2)$ ,  $\mathbf{z}(1:2)$  の点がわからない場合は、 $\mathbf{point}$  の値をもとに、`interpo_search_3d` ルーチンを用い、これらの点をあらかじめ求めておけばよい。

### 3.12.18 nearest\_search\_1d

#### 機能

1 次元の漸増配列（要素数が増えるごとに値が大きくなる配列）の中で、 $\mathbf{point}$  に最も近い要素番号を出力する。

#### 書式

```
call nearest_search_1d( x, point, i )
```

<sup>\*4</sup>この式の導出は??参照.

## 引数

|       |        |       |                                |
|-------|--------|-------|--------------------------------|
| x     | <R(:)> | in    | 1 次元漸増配列.                      |
| point | <R>    | in    | 調べたい点.                         |
| i     | <I>    | inout | point に最も近い x(i)<br>に相当する要素番号. |

## 定義式

模式図は図??.

## 備考

なし。

## 3.12.19 nearest\_search\_2d

## 機能

2 次元の漸増配列（要素数が増えるごとに値が大きくなる配列）の中で、pointx, pointy に最も近い要素番号を出力する。

## 書式

```
call nearest_search_2d( x, y, pointx, pointy, i, j )
```

## 引数

|        |        |       |                                 |
|--------|--------|-------|---------------------------------|
| x      | <R(:)> | in    | 1 次元漸増配列.                       |
| y      | <R(:)> | in    | 1 次元漸増配列.                       |
| pointx | <R>    | in    | x について調べたい点.                    |
| pointy | <R>    | in    | y について調べたい点.                    |
| i      | <I>    | inout | pointx に最も近い x(i)<br>に相当する要素番号. |
| j      | <I>    | inout | pointy に最も近い y(j)<br>に相当する要素番号. |

## 定義式

模式図は図??.

## 備考

なし。

## 3.12.20 nearest\_search\_3d

## 機能

3 次元の漸増配列（要素数が増えるごとに値が大きくなる配列）の中で、pointx, pointy, pointz に最も近い要素番号を出力する。

## 書式

```
call nearest_search_3d( x, y, z, pointx, pointy, pointz, i, j, k )
```

## 引数

|        |        |       |                              |
|--------|--------|-------|------------------------------|
| x      | <R(:)> | in    | 1 次元漸増配列.                    |
| y      | <R(:)> | in    | 1 次元漸増配列.                    |
| z      | <R(:)> | in    | 1 次元漸増配列.                    |
| pointx | <R>    | in    | x について調べたい点.                 |
| pointy | <R>    | in    | y について調べたい点.                 |
| pointz | <R>    | in    | z について調べたい点.                 |
| i      | <I>    | inout | pointx に最も近い x(i) に相当する要素番号. |
| j      | <I>    | inout | pointy に最も近い y(j) に相当する要素番号. |
| k      | <I>    | inout | pointz に最も近い z(k) に相当する要素番号. |

## 定義式

模式図は図??.

## 備考

なし。

## 3.12.21 stand\_vari

## 機能

2 データの標準偏差を計算するルーチン.

## 書式

```
call stand_vari( x, anor, [error] )
```

## 引数

|       |        |       |          |
|-------|--------|-------|----------|
| x     | <R(:)> | in    | 1 次元データ. |
| anor  | <R>    | inout | 標準偏差.    |
| error | <R>    | in    | 欠損値.     |



## 定義式

任意の長さのデータ列  $x_n$  が存在した場合、その標準偏差  $stv$  以下のように計算される。

$$stv = \sum_{i=1}^n (x_i - \bar{x})^2$$

ここで、上線のついた変数は平均値を表す。

## 備考

- 欠損値が定義されている場合は、計算の際、そのデータを計算しない。

## 3.13 Thermo\_Advanced\_Function

熱力学変数の処理を行う関数のうち、他のモジュールに依存した計算を行う関数集。

## 3.13.1 CAPE

## 機能

対流有効位置エネルギー (Convective Available Potential Energy) を計算するルーチン。

## 書式

```
result = CAPE( p, z, qv, temp, z_ref, [undef] )
```

## 引数

|       |              |       |                 |
|-------|--------------|-------|-----------------|
| p     | <R(:)>       | in    | 気圧 [Pa].        |
| z     | <R(size(p))> | in    | 高度 [m].         |
| qv    | <R(size(p))> | in    | 水蒸気混合比 [kg/kg]. |
| temp  | <R(size(p))> | in    | 温度 [K].         |
| z_ref | <R>          | in    | 基準高度 [m].       |
| 戻り値   | <R>          | inout | CAPE [J/kg].    |
| undef | <R>          | in    | 未定義値.           |

## 定義式

$$\int_{p_{LNB}}^{p_{LFC}} R(T_p - T_a) d \ln p.$$

ここで、 $p$  は気圧、 $T_a$  は環境場の温度 (つまり、ゾンデで観測される温度)、 $T_p$  は断熱減率に従って、基準高度  $z_{ref}$  から上昇させたパーセルの温度、 $R$  は気体定数、

LFC は自由対流高度 (Level of Free Convection)、LNB は中立浮力高度 (Level of Neutral Buoyancy).

#### 備考

- 引数として与える各配列は、要素番号の小さい方がより地表に近い値となるように、つまり配列としてデータを与える際は、地表面から格納していく。
- 高度データは LFC, LNB の値を計算するためにのみ使用している。
- undeff が設定されている高度の値は積算されない。
- もし、基準高度を気圧基準で与える場合は、この関数を呼び出す前に基準気圧での高度を計算し、その値を引数として入れれば OK.

### 3.13.2 CIN

#### 機能

対流抑制エネルギー (Convective INhibition) を計算するルーチン.

#### 書式

```
result = CIN( p, z, qv, temp, z_ref, [undeff] )
```

#### 引数

|        |              |       |                 |
|--------|--------------|-------|-----------------|
| p      | <R(:)>       | in    | 気圧 [Pa].        |
| z      | <R(size(p))> | in    | 高度 [m].         |
| qv     | <R(size(p))> | in    | 水蒸気混合比 [kg/kg]. |
| temp   | <R(size(p))> | in    | 温度 [K].         |
| z_ref  | <R>          | in    | 基準高度 [m].       |
| 戻り値    | <R>          | inout | CIN [J/kg].     |
| undeff | <R>          | in    | 未定義値.           |

#### 定義式

$$\int_{p_{LFC}}^{p_{ref}} R(T_p - T_a) d \ln p.$$

ここで、 $p$  は気圧、 $T_a$  は環境場の温度 (つまり、ゾンデで観測される温度)、 $T_p$  は断熱減率に従って、基準高度  $z_{ref}$  から上昇させたパーセルの温度、 $R$  は気体定数、LFC は自由対流高度 (Level of Free Convection)、 $p_{ref}$  は  $z_{ref}$  での気圧.

#### 備考

- 引数として与える各配列は、要素番号の小さい方がより地表に近い値となるように、つまり配列としてデータを与える際は、地表面から格納していく。
- 高度データは LFC, LNB の値を計算するためにのみ使用している。
- undeff が設定されている高度の値は積算されない。
- もし、基準高度を気圧基準で与える場合は、この関数を呼び出す前に基準気圧での高度を計算し、その値を引数として入れれば OK.

### 3.13.3 T\_LFC

#### 機能

LFC (Level of Free Convection) での温度を計算する関数.

#### 書式

```
result = T_LFC( z_ref, z, temp, p, qv )
```

#### 引数

|       |              |       |                 |
|-------|--------------|-------|-----------------|
| z_ref | <R>          | in    | 基準高度 [m].       |
| z     | <R(size(p))> | in    | 高度 [m].         |
| temp  | <R(size(p))> | in    | 温度 [K].         |
| p     | <R(:)>       | in    | 気圧 [Pa].        |
| qv    | <R(size(p))> | in    | 水蒸気混合比 [kg/kg]. |
| 戻り値   | <R>          | inout | LFC での温度 [K].   |

#### 定義式

断熱図におけるパラメータの詳細は??参照.

#### 備考

- 引数として与える各配列は、要素番号の小さい方がより地表に近い値となるように、つまり配列としてデータを与える際は、地表面から格納していく。
- ある基準高度での相当温位を上昇させたとき、周囲の飽和相当温位と一致する高度が LFC である. ここでは、周囲の飽和相当温位と交差する 2 点を求め、そこから高度方向に内挿することで高度を決定する.

### 3.13.4 T\_LNB

#### 機能

LNB (Level of Neutral Buoyancy) での温度を計算する関数.

## 書式

```
result = T_LNB( z_ref, z, temp, p, qv, [option] )
```

## 引数

|        |              |       |                 |
|--------|--------------|-------|-----------------|
| T_ref  | <R>          | in    | 基準高度 [m].       |
| z      | <R(size(p))> | in    | 高度 [m].         |
| temp   | <R(size(p))> | in    | 温度 [K].         |
| p      | <R(:)>       | in    | 気圧 [Pa].        |
| qv     | <R(size(p))> | in    | 水蒸気混合比 [kg/kg]. |
| 戻り値    | <R>          | inout | LNB での温度 [K].   |
| option | <R>          | in    | 計算方法 (備考参照).    |

## 定義式

断熱図におけるパラメータの詳細は??参照.

## 備考

- 引数として与える各配列は、要素番号の小さい方がより地表に近い値となるように、つまり配列としてデータを与える際は、地表面から格納していく。
- option には数字が入る. 本関数では、LNB を計算するために、2 種類の方法をとることができる。1 つめは LFC 高度での飽和相当温位が LFC より上空で再び環境場の飽和相当温位と交わる点を計算し、その高度を LNB とする方法である。しかし、実際の高分解能な高層気象観測データでは、湿度のデータが大きく変動する場合があるため、LFC のすぐ上で LNB を迎えてしまい、正確に計算されない場合がある。そこで、2 つめは高層気象観測データの上端から下向きに飽和相当温位を計算し、最初に LFC での飽和相当温位と同じ値を迎えた高度を LNB とする方法で計算を行う。飽和相当温位は上層では漸増関数となるため、この手法をとっても問題はない。デフォルトでは option = 1 であり、これは 1 つめの手法による計算である。

## 3.13.5 precip\_water

## 機能

可降水量を計算する関数.

## 書式

```
result = precip_water( p, qv, [undef] )
```

## 引数

|       |              |       |                            |
|-------|--------------|-------|----------------------------|
| p     | <R(:)>       | in    | 気圧 [Pa].                   |
| qv    | <R(size(p))> | in    | 水蒸気混合比 [kg/kg].            |
| 戻り値   | <R>          | inout | 可降水量 [kg/m <sup>2</sup> ]. |
| undef | <R>          | in    | 未定義値.                      |

## 定義式

断熱図におけるパラメータの詳細は??参照.

## 備考

- 引数として与える各配列は、要素番号の小さい方がより地表に近い値となるように、つまり配列としてデータを与える際は、地表面から格納していく。

## 3.13.6 qrsg\_2\_dbz

## 機能

凝結物混合比から擬似的なレーダ反射強度を計算する関数.

## 書式

```
result = z_LFC( rho, qr, [qs], [qg] )
```

## 引数

|     |     |       |                            |
|-----|-----|-------|----------------------------|
| rho | <R> | in    | 基準高度 [kg/m <sup>3</sup> ]. |
| qr  | <R> | in    | 雨水混合比 [kg/kg].             |
| qs  | <R> | in    | 雪混合比 [kg/kg].              |
| qg  | <R> | in    | 霰混合比 [kg/kg].              |
| 戻り値 | <R> | inout | レーダ反射強度 [dBZ].             |

## 定義式

レーダ反射強度 dBZ は

$$\text{dBZ} \equiv 10 \log_{10} Z$$

で定義されている. 本関数では, この  $Z$  の計算に Murakami (1990) の (54) 式:

$$\begin{aligned}
 Z = & \Gamma(7) N_{R0} \left( \frac{\bar{\rho} Q_R}{\pi \rho_W N_{R0}} \right)^{1.75} 10^{18} \\
 & + \Gamma(7) \left[ \left| \frac{\varepsilon_i - 1}{\varepsilon_i + 2} \right|^2 \middle/ \left| \frac{\varepsilon_w - 1}{\varepsilon_w + 2} \right|^2 \right] \left( \frac{\rho_s}{\rho_W} \right)^2 N_{s0} \left( \frac{\bar{\rho} Q_s}{\pi \rho_s N_{s0}} \right)^{1.75} 10^{18} \\
 & + \Gamma(7) \left[ \left| \frac{\varepsilon_i - 1}{\varepsilon_i + 2} \right|^2 \middle/ \left| \frac{\varepsilon_w - 1}{\varepsilon_w + 2} \right|^2 \right] \left( \frac{\rho_g}{\rho_W} \right)^2 N_{g0} \left( \frac{\bar{\rho} Q_g}{\pi \rho_g N_{g0}} \right)^{1.75} 10^{18}
 \end{aligned}$$

を用いている. ここで、各記号はそれぞれ以下のとおりである。

|                 |           |
|-----------------|-----------|
| $\Gamma(x)$     | ガンマ関数.    |
| $\varepsilon_i$ | 氷の比誘電率.   |
| $\varepsilon_w$ | 水の比誘電率.   |
| $N_{R0}$        | 雨の数密度.    |
| $N_{s0}$        | 雪の数密度.    |
| $N_{g0}$        | 霰の数密度.    |
| $\rho_w$        | 水の密度.     |
| $\rho_s$        | 雪の密度.     |
| $\rho_q$        | 霰の密度.     |
| $\bar{\rho}$    | 基本場の大気密度. |

各物理パラメータは Murakami (1990) に記載されている値を用いるが, 記載されていないパラメータについては, 理科年表 (2008) の値を参考に行っている. レーダ反射強度の詳細な計算は??参照.

## 備考

特になし.

## 3.13.7 z\_LCL

## 機能

LCL (Lifted Condensation Level) を計算する関数.

## 書式

```
result = z_LCL( z_ref, z, temp, p, qv )
```

## 引数

|       |              |       |                 |
|-------|--------------|-------|-----------------|
| z_ref | <R>          | in    | 基準高度 [m].       |
| z     | <R(size(p))> | in    | 高度 [m].         |
| temp  | <R(size(p))> | in    | 温度 [K].         |
| p     | <R(:)>       | in    | 気圧 [Pa].        |
| qv    | <R(size(p))> | in    | 水蒸気混合比 [kg/kg]. |
| 戻り値   | <R>          | inout | LCL 高度 [m].     |

## 定義式

断熱図におけるパラメータの詳細は??参照.

## 備考

- 引数として与える各配列は、要素番号の小さい方がより地表に近い値となるように、つまり配列としてデータを与える際は、地表面から格納していく。

### 3.13.8 z\_LFC

#### 機能

LFC (Level of Free Convection) を計算する関数.

#### 書式

```
result = z_LFC( z_ref, z, temp, p, qv )
```

#### 引数

|       |              |       |                 |
|-------|--------------|-------|-----------------|
| z_ref | <R>          | in    | 基準高度 [m].       |
| z     | <R(size(p))> | in    | 高度 [m].         |
| temp  | <R(size(p))> | in    | 温度 [K].         |
| p     | <R(:)>       | in    | 気圧 [Pa].        |
| qv    | <R(size(p))> | in    | 水蒸気混合比 [kg/kg]. |
| 戻り値   | <R>          | inout | LFC 高度 [m].     |

#### 定義式

断熱図におけるパラメータの詳細は??参照.

#### 備考

- 引数として与える各配列は、要素番号の小さい方がより地表に近い値となるように、つまり配列としてデータを与える際は、地表面から格納していく。
- ある基準高度での相当温位を上昇させたとき、周囲の飽和相当温位と一致する高度が LFC である。ここでは、周囲の飽和相当温位と交差する 2 点を求め、そこから高度方向に内挿することで高度を決定する。

### 3.13.9 z\_LNB

#### 機能

LNB (Level of Neutral Buoyancy) を計算する関数.

#### 書式

```
result = z_LNB( z_ref, z, temp, p, qv, [option] )
```

#### 引数

|        |              |       |                 |
|--------|--------------|-------|-----------------|
| z_ref  | <R>          | in    | 基準高度 [m].       |
| z      | <R(size(p))> | in    | 高度 [m].         |
| temp   | <R(size(p))> | in    | 温度 [K].         |
| p      | <R(:)>       | in    | 気圧 [Pa].        |
| qv     | <R(size(p))> | in    | 水蒸気混合比 [kg/kg]. |
| 戻り値    | <R>          | inout | LNB 温度 [m].     |
| option | <R>          | in    | 計算方法 (備考参照).    |

## 定義式

断熱図におけるパラメータの詳細は??参照.

## 備考

- 引数として与える各配列は、要素番号の小さい方がより地表に近い値となるように、つまり配列としてデータを与える際は、地表面から格納していく。
- option には数字が入る。本関数では、LNB を計算するために、2 種類の方法をとることができる。1 つめは LFC 高度での飽和相当温位が LFC より上空で再び環境場の飽和相当温位と交わる点を計算し、その高度を LNB とする方法である。しかし、実際の高分解能な高層気象観測データでは、湿度のデータが大きく変動する場合があるため、LFC のすぐ上で LNB を迎えてしまい、正確に計算されない場合がある。そこで、2 つめは高層気象観測データの上端から下向きに飽和相当温位を計算し、最初に LFC での飽和相当温位と同じ値を迎えた高度を LNB とする方法で計算を行う。飽和相当温位は上層では漸増関数となるため、この手法をとっても問題はない。デフォルトでは option = 1 であり、これは 1 つめの手法による計算である。

### 3.14 thermo\_advanced\_routine

熱力学関係の処理ルーチンの中で、スカラー値ではなく配列形式で引数を返す処理を行うルーチンのうち、他のモジュールに依存する処理を行うものを集めたモジュール。

ここで用いている多くの熱力学変数の詳細は??参照。

#### 3.14.1 Brunt\_Freq

## 機能

ブラントパイサラ振動数の 2 乗を計算する。

## 書式

```
call Brunt_Freq( x, y, z, pt, BV, [undef] )
```



## 引数

|       |                              |       |                   |
|-------|------------------------------|-------|-------------------|
| x     | <R(:)>                       | in    | 右手系第一座標.          |
| y     | <R(:)>                       | in    | 右手系第二座標.          |
| z     | <R(:)>                       | in    | 右手系第三座標.          |
| pt    | <R(size(x),size(y),size(z))> | in    | 温位 [K].           |
| BV    | <R(size(x),size(y),size(z))> | inout | ブラントバイサラ振動数 [/s]. |
| undef | <R>                          | in    | 未定義値.             |

## 定義式

ブラントバイサラ振動数を  $N$  とすると、その定義は

$$N^2 = \frac{g}{\theta} \frac{\partial \theta}{\partial z}$$

となる。ここで、 $g, \theta$  はそれぞれ重力加速度と温位である。

## 備考

特になし.

## 3.14.2 Ertel\_PV

## 機能

エルテルのポテンシャル渦度を計算する.

## 書式

```
call Ertel_PV( x, y, z, u, v, w, rho, pt, cor, PV, [undef], [sx], [sy],
[sz] )
```

## 引数

|       |                              |       |                                    |
|-------|------------------------------|-------|------------------------------------|
| x     | <R(:)>                       | in    | 右手系第一座標.                           |
| y     | <R(:)>                       | in    | 右手系第二座標.                           |
| z     | <R(:)>                       | in    | 右手系第三座標.                           |
| u     | <R(size(x),size(y),size(z))> | in    | x 方向の速度.                           |
| v     | <R(size(x),size(y),size(z))> | in    | y 方向の速度.                           |
| w     | <R(size(x),size(y),size(z))> | in    | z 方向の速度.                           |
| rho   | <R(size(x),size(y),size(z))> | in    | 密度 [kg/m <sup>3</sup> ].           |
| pt    | <R(size(x),size(y),size(z))> | in    | 温位 [K].                            |
| cor   | <R(size(x),size(y))>         | in    | コリオリパラメータ [/s].                    |
| BV    | <R(size(x),size(y),size(z))> | inout | エルテルの PV [K/kg s m <sup>2</sup> ]. |
| undef | <R>                          | in    | 未定義値.                              |

## 定義式

エルテルのポテンシャル渦度を  $P$  とすると、その定義は

$$P = \frac{\omega_a \cdot \nabla \theta}{\rho}$$

となる。ここで、 $\omega_a, \theta, \rho$  はそれぞれ絶対渦度、温位、密度である。

## 備考

特になし。

## 3.15 thermo\_const

熱力学的定数集。熱力学学における普遍定数を以下の表のように与える。出典は理科年表 (2008) より。

| 変数名      | 型   | 設定値         | 変数の意味          | 単位                   |
|----------|-----|-------------|----------------|----------------------|
| Cpd      | <R> | 1004.0      | 乾燥大気の定圧比熱      | [J/K kg]             |
| Cpv      | <R> | 1870.0      | 水蒸気の定圧比熱       | [J/K kg]             |
| LH0      | <R> | 2.5e6       | 水蒸気の潜熱         | [J/kg]               |
| LHS      | <R> | 2.8e6       | 水蒸気の昇華潜熱       | [J/kg]               |
| Md       | <R> | 28.96       | 乾燥大気分子量        | [kg/kmol]            |
| Mv       | <R> | 18.0        | 水蒸気分子量         | [kg/kmol]            |
| Rd       | <R> | 287.0       | 乾燥大気気体定数       | [J/K kg]             |
| Rv       | <R> | 461.0       | 水蒸気気体定数        | [J/K kg]             |
| e0       | <R> | 611.0       | 凝固点での水蒸気圧      | [Pa]                 |
| ei0      | <R> | 611.73      | 凝固点での氷飽和での水蒸気圧 | [Pa]                 |
| eps_rdrv | <R> | 287.0/461.0 | $Rd/Rv$        | [1]                  |
| kalm     | <R> | 0.4         | カルマン定数         | [1]                  |
| p0       | <R> | 1.0e5       | 基準気圧           | [Pa]                 |
| p00      | <R> | 1.01325e5   | 標準大気圧          | [Pa]                 |
| rho      | <R> | 1.0e3       | 水の密度           | [kg/m <sup>3</sup> ] |
| t0       | <R> | 273.15      | 標準気圧での水の凝固点    | [K]                  |
| ti0      | <R> | 273.16      | 水の三重点での凝固温度    | [K]                  |

## 3.16 thermo\_function

熱力学に関する物理量間の変換関数集。基本的に、スカラー変数を返すような処理はすべてこのモジュールに組み込まれる。それは引数が配列であっても、返す量がスカラー変

数である場合についても適用される.

なお, すべてのルーチンで用いられている変換関数の定義は??参照. また, 各計算式の詳細な導出も同様の節参照.

### 3.16.1 LH

機能

キルヒホッフの式 (??) から潜熱の温度依存性を考慮した潜熱の値を計算する.

書式

```
result=LH( T )
```

引数

|     |     |       |              |
|-----|-----|-------|--------------|
| T   | <R> | in    | 大気の温度 [K].   |
| 戻り値 | <R> | inout | 潜熱 [J/K kg]. |

定義式

$$LH(T) = LH_0 - 232(T - T_0), \quad LH_0 = 2.5 \times 10^5.$$

ここで,  $T_0 = 273.15$  K である。

備考

特になし.

### 3.16.2 RHTP\_2\_qv

機能

相対湿度と温度と圧力から水蒸気混合比を計算する.

書式

```
result=RHTP_2_qv( RH, T, P )
```

引数

|     |     |       |                    |
|-----|-----|-------|--------------------|
| RH  | <R> | in    | 大気の相対湿度 [%].       |
| T   | <R> | in    | 大気の温度 [K].         |
| P   | <R> | in    | 大気的全圧 [Pa].        |
| 戻り値 | <R> | inout | 大気の水蒸気混合比 [kg/kg]. |

## 定義式

計算過程は以下である.

$$\text{RHT\_2\_e}(\text{RH}, T) \Rightarrow \text{水蒸気圧 } e \Rightarrow \text{eP\_2\_qv}(e, P) \Rightarrow \text{水蒸気混合比}$$

## 備考

特になし.

## 3.16.3 RHT\_2\_e

## 機能

相対湿度と温度から水蒸気圧を計算する.

## 書式

```
result=RHT_2_e( RH, T )
```

## 引数

|     |     |       |                |
|-----|-----|-------|----------------|
| RH  | <R> | in    | 大気の相対湿度 [%].   |
| T   | <R> | in    | 大気の温度 [K].     |
| 戻り値 | <R> | inout | 大気の水蒸気分圧 [Pa]. |

## 定義式

相対湿度  $RH$  と飽和水蒸気圧  $e_s$ 、水蒸気分圧  $e$  の定義式:

$$RH \equiv \frac{e}{e_s} \times 100$$

を元に計算する。ここで、飽和水蒸気圧は温度から `es_Bolton` を用いて計算した値を用いる。

## 備考

特になし.

## 3.16.4 TP\_2\_qvs

## 機能

大気の温度と全圧から飽和混合比を計算する。ここで用いる飽和水蒸気圧の計算は `es_Bolton` による式を用いて行われるものとする。

## 書式

```
result=TP_2_qvs( T, P )
```

## 引数

|     |     |       |                   |
|-----|-----|-------|-------------------|
| T   | <R> | in    | 大気の温度 [K].        |
| P   | <R> | in    | 大気の圧力 [Pa].       |
| 戻り値 | <R> | inout | 大気の飽和混合比 [kg/kg]. |

## 定義式

大気の飽和混合比を  $q_{vs}$  とすると、その定義から

$$q_{vs} = \frac{\rho_v}{\rho_d}$$

である。ここで、 $\rho_v$ ,  $\rho_d$  はそれぞれ水蒸気の密度と乾燥大気の密度である。理想気体の状態方程式から、それぞれの密度は

$$\rho_v = \frac{e_s}{R_v T}, \quad \rho_d = \frac{p_d}{R_d T}$$

である。ここで、 $e_s, p_d, R_v, R_d, T$  はそれぞれ飽和水蒸気圧, 乾燥大気分圧, 水蒸気の気体定数, 乾燥大気の気体定数, 大気の温度である。よって、

$$q_{vs} = \frac{R_d}{R_v} \frac{e_s}{p - e_s}$$

となる。ここで、乾燥大気分圧は大気全圧  $p$  から飽和水蒸気圧を差し引いたものである。上式は成り立つ。 $e_s$  は温度のみの関数であるため、大気温度と全圧を与えれば、飽和混合比が得られることがわかる。

## 備考

特になし。

## 3.16.5 TP\_2\_rho

## 機能

乾燥大気の状態方程式から、温度と気圧を与えて密度を得る。

## 書式

```
result=TP_2_rho( T, P )
```

## 引数

|     |     |       |                             |
|-----|-----|-------|-----------------------------|
| T   | <R> | in    | 大気の温度 [K].                  |
| P   | <R> | in    | 大気の圧力 [Pa].                 |
| 戻り値 | <R> | inout | 大気の密度 [kg/m <sup>3</sup> ]. |

## 定義式

大気の状態方程式：

$$p = \rho RT.$$

ここで、 $p, \rho, R, T$  はそれぞれ大気の圧力、密度、乾燥大気の気体定数、大気の温度である。すべての変数は MKS 単位系で処理される。

## 備考

特になし。

## 3.16.6 TqvP\_2\_TLCL

## 機能

Bolton (1980) の式から LCL 高度での温度を計算する。

## 書式

```
result=TqvP_2_TLCL( T, qv, pres )
```

## 引数

|      |     |       |                    |
|------|-----|-------|--------------------|
| T    | <R> | in    | 大気の温度 [K].         |
| qv   | <R> | in    | 大気の水蒸気混合比 [kg/kg]. |
| pres | <R> | in    | 大気の気圧 [Pa].        |
| 戻り値  | <R> | inout | LCL での温度 [K].      |

## 定義式

LCL での気温を  $T_{\text{LCL}}$  とすると、

$$T_{\text{LCL}} = \frac{c}{a \ln T - \ln e - b} + 55, \quad a = 3.5, b = 4.805, c = 2840$$

ここで、 $e$  は水蒸気圧である。

## 備考

特になし。

## 3.16.7 TqvP\_2\_thetae

## 機能

相当温位を定義式から計算する。

## 書式

```
result=TqvP_2_thetae( T, qv, pres )
```

## 引数

|      |     |       |                    |
|------|-----|-------|--------------------|
| T    | <R> | in    | 大気の温度 [K].         |
| qv   | <R> | in    | 大気の水蒸気混合比 [kg/kg]. |
| pres | <R> | in    | 大気の気圧 [Pa].        |
| 戻り値  | <R> | inout | 相当温位 [K].          |

## 定義式

相当温位を  $\theta_e$  とすると、

$$\theta_e = \theta_d \exp \left[ \frac{L(T_{LCL})q_{vs}}{C_{pd}T_{LCL}} \right]$$

ここで,  $\theta_d, L, C_{pd}, T_{LCL}, q_{vs}$  はそれぞれ乾燥大気の温位、水蒸気の潜熱、乾燥定圧比熱、LCL 温度、飽和混合比である。

## 備考

特になし。

## 3.16.8 TqvP\_2\_thetaes

## 機能

飽和相当温位を定義式から計算する。

## 書式

result=TqvP\_2\_thetaes( T, pres )

## 引数

|      |     |       |             |
|------|-----|-------|-------------|
| T    | <R> | in    | 大気の温度 [K].  |
| pres | <R> | in    | 大気の気圧 [Pa]. |
| 戻り値  | <R> | inout | 相当温位 [K].   |

## 定義式

飽和相当温位を  $\theta_{es}$  とすると、

$$\theta_{es} = \theta_d \exp \left[ \frac{L(T)q_{vs}}{C_{pd}T} \right]$$

ここで,  $\theta_d, L, C_{pd}, T, q_{vs}$  はそれぞれ乾燥大気の温位、水蒸気の潜熱、乾燥定圧比熱、温度、飽和混合比である。

## 備考

特になし。

## 3.16.9 eP\_2\_qv

## 機能

水蒸気圧と圧力から水蒸気混合比を計算する.

## 書式

```
result=eP_2_qv( e, P )
```

## 引数

|     |     |       |                    |
|-----|-----|-------|--------------------|
| e   | <R> | in    | 大気の水蒸気圧 [Pa].      |
| P   | <R> | in    | 大気的全圧 [Pa].        |
| 戻り値 | <R> | inout | 大気の水蒸気混合比 [kg/kg]. |

## 定義式

$$q_v = \frac{\varepsilon e}{P - e}, \quad \varepsilon = \frac{R_d}{R_v}.$$

$R_d, R_v$  はそれぞれ、乾燥大気、水蒸気の気体定数。

## 備考

特になし.

## 3.16.10 eT\_2\_RH

## 機能

水蒸気圧と温度から相対湿度を計算する.

## 書式

```
result=eT_2_RH( e, T )
```

## 引数

|     |     |       |               |
|-----|-----|-------|---------------|
| e   | <R> | in    | 大気の水蒸気圧 [Pa]. |
| T   | <R> | in    | 大気の温度 [K].    |
| 戻り値 | <R> | inout | 大気の相対湿度 [%].  |

## 定義式

相対湿度  $RH$  と飽和水蒸気圧  $e_s$ 、水蒸気分圧  $e$  の定義式 :

$$RH \equiv \frac{e}{e_s} \times 100$$

を元に計算する。ここで、飽和水蒸気圧は温度から `es_Bolton` を用いて計算した値を用いる。



## 備考

特になし.

## 3.16.11 es\_Bolton

## 機能

Bolton (1980) の式から温度を元に飽和水蒸気圧を計算する.

## 書式

```
result=es_Bolton( T )
```

## 引数

|     |     |       |               |
|-----|-----|-------|---------------|
| T   | <R> | in    | 大気の温度 [K].    |
| 戻り値 | <R> | inout | 大気の水蒸気圧 [Pa]. |

## 定義式

$$e_s(T) = e_0 \exp a \frac{T-T_0}{T-c}, \quad a = 17.67, \quad c = 29.65$$

ここで,  $T_0 = 273.15$  K,  $e_0 = 611.0$  Pa,  $e_s(T)$  は飽和水蒸気圧である。

## 備考

特になし.

## 3.16.12 es\_TD

## 機能

Bolton (1980) の式の逆算で、水蒸気圧を与えることでそのときの露点温度を計算する.

## 書式

```
result=es_TD( e )
```

## 引数

|     |     |       |               |
|-----|-----|-------|---------------|
| e   | <R> | in    | 大気の水蒸気圧 [Pa]. |
| 戻り値 | <R> | inout | 大気の露点温度 [K].  |

## 定義式

$$T_D = c + a \frac{T_0 - c}{a - \log(e/e_0)}, \quad a = 17.67, \quad c = 29.65$$

ここで,  $T_0 = 273.15$  K,  $e_0 = 611.0$  Pa,  $T_D$  は露点温度である。

**備考**

特になし。

**3.16.13 exner\_func\_dry****機能**

乾燥大気におけるエクスナー関数を計算する。

**書式**

```
result=exner_func_dry( P )
```

**引数**

|     |     |       |                     |
|-----|-----|-------|---------------------|
| P   | <R> | in    | 大気の圧力 [Pa].         |
| 戻り値 | <R> | inout | 乾燥大気のエクスナー関数 [無次元]. |

**定義式**

エクスナー関数  $\pi_d$  の定義式：

$$\pi_d = T \left( \frac{p}{p_0} \right)^{R_d/C_{pd}}$$

から求める。ここで、 $p_0$  はエクスナー関数の基準気圧である。 $R_d, C_{pd}$  はそれぞれ、乾燥大気における気体定数と定圧比熱である。

**備考**

特になし。

**3.16.14 get\_gamma\_d****機能**

乾燥大気の断熱減率を取得する。

**書式**

```
result=get_gamma_d( )
```

**引数**

|     |     |       |               |
|-----|-----|-------|---------------|
| 戻り値 | <R> | inout | 乾燥断熱減率 [K/m]. |
|-----|-----|-------|---------------|

## 定義式

乾燥断熱減率  $\Gamma_d$  は定圧比熱  $C_{pd}$  と重力加速度  $g$  を用いて、

$$\Gamma_d = -\frac{g}{C_{pd}}$$

## 備考

特になし.

## 3.16.15 goff\_gratch

## 機能

Goff-Gratch の式から温度を元に飽和水蒸気圧を計算する.

## 書式

```
result=goff_gratch( T )
```

## 引数

T            <R>    in        大気の温度 [K].  
戻り値    <R>    inout    大気の飽和水蒸気圧 [Pa].

## 定義式

$$pow = a \left( \frac{tst}{T} - 1.0 \right) + b \log_{10} \left( \frac{tst}{T} \right) + c \left( 10.0^{pa(1.0-T/tst)} - 1.0 \right) + d \left( 10.0^{pb(tst/T-1.0)} - 1.0 \right),$$

$$e_s(T) = p_0 \times 10^{pow}.$$

ここで、

$$a = -7.90298, \quad b = 5.02808, \quad c = -1.3816 \times 10^{-7}, \quad d = 8.1328 \times 10^{-3},$$

$$pa = 11.344, \quad pb = -3.49149, \quad tst = 373.15, \quad p_0 = 1.01325 \times 10^5$$

## 備考

特になし.

## 3.16.16 goff\_gratch\_i

## 機能

Goff-Gratch の式から温度を元に氷飽和で飽和水蒸気圧を計算する.

## 書式

```
result=goff_gratch_i( T )
```

## 引数

T        <R>    in        大気の温度 [K].  
 戻り値   <R>    inout    大気の飽和水蒸気圧 [Pa].

## 定義式

$$pow = a \left( \frac{t_{i0}}{T} - 1.0 \right) + b \log_{10} \frac{t_{i0}}{T} + c \left( 1.0 - \frac{T}{t_{i0}} \right)$$

$$e_s(T) = p_0 \times 10^{pow}.$$

ここで、

$$a = -9.09718, \quad b = -3.56654, \quad c = 0.876793,$$

$$p_0 = 611.73, \quad t_{i0} = 273.16.$$

## 備考

特になし.

## 3.16.17 hypsometric\_form

## 機能

ある高度における気圧の補正を行う. 高度に海面を与えれば海面更正気圧を計算することができる.

## 書式

```
result=hypsometric_form( p, z, T, [z_t] )
```

## 引数

p        <R>    in        基準高度での圧力 [Pa].  
 z        <R>    in        基準高度 [m].  
 T        <R>    in        基準高度での温度 [K].  
 z\_t      <R>    in        更正を行う高度 [m].  
                     デフォルト値は 0 m.  
 戻り値   <R>    inout    z\_t での温度 [K].

## 定義式

対流圏における標準大気の気温減率を  $\Gamma = 6.5 \text{ K/km}$  として、高度  $z_t$  での気圧  $p(z_t)$  は、既に気圧、温度の分かっている高度  $z$  での値  $p(z), T(z)$  を用いて、

$$p(z_t) = p(z) \left( \frac{T(z) + \Gamma z}{T(z) + \Gamma z_t} \right)^{g/(\Gamma R_d)}$$

から求める. ここで,  $R_d$  は乾燥大気における気体定数である.

## 備考

特になし.

## 3.16.18 TP\_2\_qv

## 機能

温度と圧力から水蒸気混合比を計算する.

## 書式

result=TP\_2\_qv( T, P )

## 引数

|     |     |       |                    |
|-----|-----|-------|--------------------|
| T   | <R> | in    | 大気の温度 [K].         |
| P   | <R> | in    | 大気的全圧 [Pa].        |
| 戻り値 | <R> | inout | 大気の水蒸気混合比 [kg/kg]. |

## 定義式

計算過程は, es\_Bolton で温度から飽和水蒸気圧を計算し, その飽和水蒸気圧  $E_s$  を用いて,

$$q_{vs} = \frac{\varepsilon e_s}{P - e_s}, \quad \varepsilon = \frac{R_d}{R_v}.$$

$R_d, R_v$  はそれぞれ, 乾燥大気、水蒸気の気体定数。

## 備考

特になし.

## 3.16.19 qvTP\_2\_RH

## 機能

水蒸気混合比と温度と圧力から相対湿度を計算する.

## 書式

result=qvTP\_2\_RH( qv, T, P )

## 引数

|     |     |       |                    |
|-----|-----|-------|--------------------|
| qv  | <R> | in    | 大気の水蒸気混合比 [kg/kg]. |
| T   | <R> | in    | 大気の温度 [K].         |
| P   | <R> | in    | 大気的全圧 [Pa].        |
| 戻り値 | <R> | inout | 大気の相対湿度 [%].       |

## 定義式

計算過程は以下である.

$$qvP\_2\_e(qv,P) \Rightarrow \text{水蒸気圧 } e \Rightarrow eT\_2\_RH(e,T) \Rightarrow \text{相対湿度}$$

## 備考

特になし.

## 3.16.20 rhoP\_2\_T

## 機能

乾燥大気の状態方程式から, 密度と気圧を与えて温度を得る.

## 書式

```
result=rhoP_2_T( rho, P )
```

## 引数

|     |     |       |                             |
|-----|-----|-------|-----------------------------|
| rho | <R> | in    | 大気の密度 [kg/m <sup>3</sup> ]. |
| P   | <R> | in    | 大気の圧力 [Pa].                 |
| 戻り値 | <R> | inout | 大気の温度 [K].                  |

## 定義式

大気の状態方程式 :

$$p = \rho RT.$$

ここで,  $p, \rho, R, T$  はそれぞれ大気の圧力、密度、乾燥大気の気体定数、大気の温度である。すべての変数は MKS 単位系で処理される。

## 備考

特になし.

## 3.16.21 rhoT\_2\_P

## 機能

乾燥大気の状態方程式から, 密度と温度を与えて気圧を得る.

## 書式

```
result=rhoT_2_P( rho, T )
```

## 引数

|     |     |       |                             |
|-----|-----|-------|-----------------------------|
| rho | <R> | in    | 大気の密度 [kg/m <sup>3</sup> ]. |
| T   | <R> | in    | 大気の温度 [K].                  |
| 戻り値 | <R> | inout | 大気の気圧 [Pa].                 |

## 定義式

大気の状態方程式：

$$p = \rho RT.$$

ここで、 $p, \rho, R, T$  はそれぞれ大気の圧力、密度、乾燥大気の気体定数、大気の温度である。すべての変数は MKS 単位系で処理される。

## 備考

特になし。

## 3.16.22 tetens

## 機能

tetens の実験式から温度を元に飽和水蒸気圧を計算する。

## 書式

result=tetens( T )

## 引数

|     |     |       |                 |
|-----|-----|-------|-----------------|
| T   | <R> | in    | 大気の温度 [K].      |
| 戻り値 | <R> | inout | 大気の飽和水蒸気圧 [Pa]. |

## 定義式

$$e_s(T) = e_0 \times 10^{a \frac{T-T_0}{T-T_0+b}}, \quad \begin{cases} a = 7.5, b = 237.7 & (T \geq T_0) \\ a = 9.5, b = 265.5 & (T < T_0) \end{cases}$$

ここで、 $T_0 = 273.15$  K,  $e_s(T)$  は飽和水蒸気圧である。

## 備考

特になし。

## 3.16.23 thetaP\_2\_T

## 機能

湿位、圧力から温度を計算する。

## 書式

```
result=thetaP_2.T( theta, P )
```

## 引数

|       |     |       |             |
|-------|-----|-------|-------------|
| theta | <R> | in    | 大気の温位 [K].  |
| P     | <R> | in    | 大気の圧力 [Pa]. |
| 戻り値   | <R> | inout | 大気の温度 [K].  |

## 定義式

温位の定義式：

$$T = \theta \left( \frac{P}{p_0} \right)^{R_d/C_{pd}}$$

から求める。ここで、 $p_0$  はエクスナー関数の基準気圧である。 $R_d, C_{pd}$  はそれぞれ、乾燥大気における気体定数と定圧比熱である。

## 備考

特になし。

## 3.16.24 thetaT\_2.P

## 機能

温位、温度から気圧を計算する。

## 書式

```
result=thetaT_2.P( theta, T )
```

## 引数

|       |     |       |             |
|-------|-----|-------|-------------|
| theta | <R> | in    | 大気の温位 [K].  |
| T     | <R> | in    | 大気の温度 [K].  |
| 戻り値   | <R> | inout | 大気の圧力 [Pa]. |

## 定義式

温位の定義式：

$$P = p_0 \left( \frac{T}{\theta} \right)^{C_{pd}/R_d}$$

から求める。ここで、 $p_0$  はエクスナー関数の基準気圧である。 $R_d, C_{pd}$  はそれぞれ、乾燥大気における気体定数と定圧比熱である。

## 備考

特になし。



## 3.16.25 theta\_dry

## 機能

乾燥大気における湿位を計算する.

## 書式

```
result=theta_dry( T, P )
```

## 引数

|     |     |       |              |
|-----|-----|-------|--------------|
| T   | <R> | in    | 大気の温度 [K].   |
| P   | <R> | in    | 大気の圧力 [Pa].  |
| 戻り値 | <R> | inout | 乾燥大気の湿位 [K]. |

## 定義式

湿位の定義式 :

$$\theta_d = T \left( \frac{p_0}{P} \right)^{R_d/C_{pd}}$$

から求める. ここで、 $p_0$  はエクスター関数の基準気圧である.  $R_d, C_{pd}$  はそれぞれ、乾燥大気における気体定数と定圧比熱である。

## 備考

特になし.

## 3.16.26 theta\_moist

## 機能

湿潤大気における湿位を計算する.

## 書式

```
result=theta_moist( T, P, qv )
```

## 引数

|     |     |       |                    |
|-----|-----|-------|--------------------|
| T   | <R> | in    | 大気の温度 [K].         |
| P   | <R> | in    | 大気の圧力 [Pa].        |
| qv  | <R> | in    | 大気の水蒸気混合比 [kg/kg]. |
| 戻り値 | <R> | inout | 湿潤大気の湿位 [K].       |

## 定義式

湿潤大気における湿位の定義式 :

$$\theta_m = T \left( \frac{p_0}{P} \right)^{pow}, \quad pow = \frac{R_d}{C_{pd}} \frac{1 + q_v/\varepsilon}{1 + q_v \times (C_{pv}/C_{pd})}$$

から求める. ここで、 $p_0$  はエクスナー関数の基準気圧である。 $R_d, C_{pd}, R_v, C_{pv}$  はそれぞれ、乾燥大気における気体定数と定圧比熱、水蒸気における気体定数と定圧比熱である。

## 備考

特になし.

## 3.16.27 thetae\_Bolton

## 機能

Bolton (1980) の式から相当温位を計算する.

## 書式

```
result=thetae_Bolton( T, qv, pres )
```

## 引数

|      |     |       |                    |
|------|-----|-------|--------------------|
| T    | <R> | in    | 大気の温度 [K].         |
| qv   | <R> | in    | 大気の水蒸気混合比 [kg/kg]. |
| pres | <R> | in    | 大気的气圧 [Pa].        |
| 戻り値  | <R> | inout | 相当温位 [K].          |

## 定義式

相当温位を  $\theta_e$  とすると、

$$\theta_e = T \left( \frac{p_0}{p} \right)^{a(1-bq_{vs})} \exp \left\{ q_{vs} \left( \frac{c}{T_{LCL}} \right) (1 + dq_{vs}) \right\}, \quad a = 0.2854, b = 0.28, c = 3376, d = 0.81$$

ここで、 $T, p_0, p, T_{LCL}, q_{vs}$  はそれぞれ気温、1000 hPa、気圧、LCL 温度、飽和混合比である。

## 備考

特になし.

## 3.16.28 thetaes\_Bolton

## 機能

Bolton (1980) の式から飽和相当温位を計算する.

## 書式

```
result=thetaes_Bolton( T, pres )
```

## 引数

|      |     |       |             |
|------|-----|-------|-------------|
| T    | <R> | in    | 大気の温度 [K].  |
| pres | <R> | in    | 大気の気圧 [Pa]. |
| 戻り値  | <R> | inout | 相当温位 [K].   |

## 定義式

相当温位を  $\theta_{es}$  とすると、

$$\theta_{es} = T \left( \frac{p_0}{p} \right)^{a(1-bq_{vs})} \exp \left\{ q_{vs} \left( \frac{c}{T} \right) (1 + dq_{vs}) \right\}, \quad a = 0.2854, \quad b = 0.28, \quad c = 3376, \quad d = 0.81$$

ここで,  $T, p_0, p, q_{vs}$  はそれぞれ気温、1000 hPa、気圧、飽和混合比である。

## 備考

特になし。

## 3.17 Trajectory

速度場のデータを与えて、流線、流跡線の計算を行うルーチン集。

## 3.17.1 Forward\_Trajectory\_2d

## 機能

2次元ベクトル場のデータからオフラインで前方流跡線解析を行う。

## 書式

```
call Forward_Trajectory_2d( dt, stime, step, ini_x, ini_y, t, x, y, u,
v, traj_x, traj_y, [opt], [udef] )
```

## 引数

|        |                              |       |                                      |
|--------|------------------------------|-------|--------------------------------------|
| dt     | <R>                          | in    | 計算する時間間隔 [s].                        |
| stime  | <R>                          | in    | 初期位置での時刻 [s].                        |
| step   | <I>                          | in    | 計算を行うステップ数.                          |
| ini_x  | <R(:)>                       | in    | 初期位置 x [m].                          |
| ini_y  | <R(size(ini_x))>             | in    | 初期位置 y [m].                          |
| t      | <R(:)>                       | in    | 速度場データのある時刻 (後述).                    |
| x      | <R(:)>                       | in    | 右手系第一座標 [m].                         |
| y      | <R(:)>                       | in    | 右手系第二座標 [m].                         |
| u      | <R(size(x),size(y),size(t))> | in    | x 方向のベクトル (後述).                      |
| v      | <R(size(x),size(y),size(t))> | in    | y 方向のベクトル (後述).                      |
| traj_x | <R(step,size(ini_x))>        | inout | 流跡線の x 位置座標 [m].                     |
| traj_y | <R(step,size(ini_x))>        | inout | 流跡線の y 位置座標 [m].                     |
| opt    | <C(*)>                       | in    | 時間積分のスキーム (後述).<br>デフォルトは前方オイラースキーム. |
| undef  | R                            | in    | 領域外処理用未定義値 (後述).                     |

### 定義式

与えられる速度場のデータが時刻  $t_1$  から  $t_n$  までの  $n$  個存在し、その時間間隔は非一様とする。このとき、時刻  $t_s$  から  $dt$  ステップで  $nt$  回だけ流跡線を計算するときの模式図が図??である。速度場データのない時刻では、その前後の速度場データから線形内挿を行って速度場を計算している。流跡線の定義式は、座標  $(x, y)$  において、2次元ベクトル  $v(x, y, t)$  が定義されており、この速度場に乗って移動するパーセルの軌跡  $x(x, y, t)$  を

$$\delta x(x, y, t) = v(x, y, t) \delta t$$

という式の数値積分によって計算するものである。流線計算と異なり、速度場が時間の関数でもあるため、パーセルの位置  $x(x, y, t)$  も時間の関数となっていることがわかる。もし、速度場が定常であれば、速度ベクトルは時間に依存しないので、パーセルの位置ベクトルも時間に依存することはなくなる。このことから、定常な速度場において、流線と流跡線は一致することがわかる。

図??における各変数と引数の対応関係は以下のとおりである。

$$t_s : stime, \quad dt : dt, \quad nt : step, \quad n : size(t),$$

$$t_i : t(i)$$

### 備考

- オプション opt は流跡線計算の際に行う時間積分の積分スキームを指定するオプションであり、以下の設定が可能である。

EU1 前方 1 次精度のオイラースキーム.

HO1 ホインスキーム (改良オイラースキーム).

ME1 修正オイラースキーム.

RK3 3 次ルンゲ・クッタキーム.

RK4 4 次ルンゲ・クッタキーム.

これらのスキームの詳細については、付録??参照。

- 流跡線が  $x$ ,  $y$  で指定される領域外に到達した場合、それ以降の時間ステップについては計算を放棄する。そして、放棄された時刻に相当する  $\text{traj\_x}$ ,  $\text{traj\_y}$  の要素には `undef` で定義された値が返される。デフォルト設定では、0.0 が返されるようになっている。
- `size(ini_x)` を 2 以上にすればその各の初期値に対応した流跡線が計算される。

### 3.17.2 Forward\_Trajectory\_3d

#### 機能

3 次元ベクトル場のデータからオフラインで前方流跡線解析を行う。

#### 書式

```
call Forward_Trajectory_3d( dt, stime, step, ini_x, ini_y, ini_z,  
t, x, y, z, u, v, w, traj_x, traj_y, traj_z, [opt], [undef] )
```

#### 引数

|        |   |       |                                      |
|--------|---|-------|--------------------------------------|
| dt     | <R>                                       | in    | 計算する時間間隔 [s].                        |
| stime  | <R>                                       | in    | 初期位置での時刻 [s].                        |
| step   | <I>                                       | in    | 計算を行うステップ数.                          |
| ini_x  | <R(:)>                                    | in    | 初期位置 x [m].                          |
| ini_y  | <R(size(ini_x))>                          | in    | 初期位置 y [m].                          |
| ini_z  | <R(size(ini_x))>                          | in    | 初期位置 z [m].                          |
| t      | <R(:)>                                    | in    | 速度場データのある時刻 (後述).                    |
| x      | <R(:)>                                    | in    | 右手系第一座標 [m].                         |
| y      | <R(:)>                                    | in    | 右手系第二座標 [m].                         |
| z      | <R(:)>                                    | in    | 右手系第三座標 [m].                         |
| u      | <R(size(x),size(y),<br>size(z), size(t))> | in    | x 方向のベクトル (後述).                      |
| v      | <R(size(x),size(y),<br>size(z), size(t))> | in    | y 方向のベクトル (後述).                      |
| w      | <R(size(x),size(y),<br>size(z), size(t))> | in    | z 方向のベクトル (後述).                      |
| traj_x | <R(step,size(ini_x))>                     | inout | 流跡線の x 位置座標 [m].                     |
| traj_y | <R(step,size(ini_x))>                     | inout | 流跡線の y 位置座標 [m].                     |
| traj_z | <R(step,size(ini_x))>                     | inout | 流跡線の z 位置座標 [m].                     |
| opt    | <C(*)>                                    | in    | 時間積分のスキーム (後述).<br>デフォルトは前方オイラースキーム. |
| undef  | R   | in    | 領域外処理用未定義値 (後述).                     |

#### 定義式

与えられる速度場のデータが時刻  $t_1$  から  $t_n$  までの  $n$  個存在し、その時間間隔は非一様とする。このとき、時刻  $t_s$  から  $dt$  ステップで  $nt$  回だけ流跡線を計算するときの模式図が図??である。速度場データのない時刻では、その前後の速度場データから線形内挿を行って速度場を計算している。流跡線の定義式は、座標  $(x, y, z)$  において、3次元ベクトル  $\boldsymbol{v}(x, y, z, t)$  が定義されており、この速度場に乗って移動するパーセルの軌跡  $\boldsymbol{x}(x, y, z, t)$  を

$$\delta \boldsymbol{x}(x, y, z, t) = \boldsymbol{v}(x, y, z, t) \delta t$$

という式の数値積分によって計算するものである。流線計算と異なり、速度場が時間の関数でもあるため、パーセルの位置  $\boldsymbol{x}(x, y, z, t)$  も時間の関数となっていることがわかる。もし、速度場が定常であれば、速度ベクトルは時間に依存しないので、パーセルの位置ベクトルも時間に依存することはなくなる。このことから、定常な速度場において、流線と流跡線は一致することがわかる。

図??における各変数と引数の対応関係は以下のとおりである。

$$t_s : \text{stime}, \quad dt : \text{dt}, \quad nt : \text{step}, \quad n : \text{size}(t),$$

$$t_i : \text{t}(i)$$

## 備考

- オプション `opt` は流跡線計算の際に行う時間積分の積分スキームを指定するオプションであり、以下の設定が可能である。  
 EU1 前方 1 次精度のオイラスキーム.  
 HO1 ホインスキーム (改良オイラスキーム).  
 ME1 修正オイラスキーム.  
 RK3 3 次ルンゲ・クッタキーム.  
 RK4 4 次ルンゲ・クッタキーム.  
 これらのスキームの詳細については、付録??参照。
- 流跡線が `x`, `y`, `z` で指定される領域外に到達した場合、それ以降の時間ステップについては計算を放棄する。そして、放棄された時刻に相当する `traj_x`, `traj_y`, `traj_z` の要素には `undef` で定義された値が返される。デフォルト設定では、0.0 が返されるようになっている。
- `size(ini_x)` を 2 以上にすればその各の初期値に対応した流跡線が計算される。

## 3.17.3 Stream\_Line\_2d

## 機能

2 次元ベクトル場のデータから流線を計算する。

## 書式

```
call Stream_Line_2d( dt, step, ini_x, ini_y, x, y, u, v, traj_x, traj_y,
[opt], [undef] )
```

## 引数

|                     |                      |                    |                                     |
|---------------------|----------------------|--------------------|-------------------------------------|
| <code>dt</code>     | <R>                  | <code>in</code>    | 計算する時間間隔 [s].                       |
| <code>step</code>   | <I>                  | <code>in</code>    | 計算を行うステップ数.                         |
| <code>ini_x</code>  | <R>                  | <code>in</code>    | 初期位置 <code>x</code> [m].            |
| <code>ini_y</code>  | <R>                  | <code>in</code>    | 初期位置 <code>y</code> [m].            |
| <code>x</code>      | <R(:)>               | <code>in</code>    | 右手系第一座標 [m].                        |
| <code>y</code>      | <R(:)>               | <code>in</code>    | 右手系第二座標 [m].                        |
| <code>u</code>      | <R(size(x),size(y))> | <code>in</code>    | <code>x</code> 方向のベクトル.             |
| <code>v</code>      | <R(size(x),size(y))> | <code>in</code>    | <code>y</code> 方向のベクトル.             |
| <code>traj_x</code> | <R(step)>            | <code>inout</code> | 流線の <code>x</code> 位置座標 [m].        |
| <code>traj_y</code> | <R(step)>            | <code>inout</code> | 流線の <code>y</code> 位置座標 [m].        |
| <code>opt</code>    | <C(*)>               | <code>in</code>    | 時間積分のスキーム (後述).<br>デフォルトは前方オイラスキーム. |
| <code>undef</code>  | R                    | <code>in</code>    | 領域外処理用未定義値 (後述).                    |

## 定義式

流線の定義式は、座標  $(x, y)$  において、2 次元ベクトル  $v(x, y)$  が定義されており、この速度場に乗って移動するパーセルの軌跡  $x(x, y)$  を

$$\delta x(x, y) = v(x, y) \delta t$$

という式の数値積分によって計算するものである。

## 備考

- オプション `opt` は流線計算の際に行う時間積分の積分スキームを指定するオプションであり、以下の設定が可能である。
  - EU1 前方 1 次精度のオイラスキーム.
  - HO1 ホインスキーム (改良オイラスキーム).
  - ME1 修正オイラスキーム.
  - RK3 3 次ルンゲ・クッタキーム.
  - RK4 4 次ルンゲ・クッタキーム.これらのスキームの詳細については、付録??参照。
- 流線が  $x, y$  で指定される領域外に到達した場合、それ以降の時間ステップについては計算を放棄する。そして、放棄された時刻に相当する `traj_x`, `traj_y` の要素には `undef` で定義された値が返される。デフォルト設定では、0.0 が返されるようになっている。

## 3.17.4 Stream\_Line\_3d

## 機能

3 次元ベクトル場のデータから流線を計算する。

## 書式

```
call Stream_Line_3d( dt, step, ini_x, ini_y, ini_z,  
x, y, z, u, v, w, traj_x, traj_y, traj_z, [opt], [undef] )
```

## 引数



|        |                                  |       |                                     |
|--------|----------------------------------|-------|-------------------------------------|
| dt     | <R>                              | in    | 計算する時間間隔 [s].                       |
| step   | <I>                              | in    | 計算を行うステップ数.                         |
| ini_x  | <R>                              | in    | 初期位置 x [m].                         |
| ini_y  | <R>                              | in    | 初期位置 y [m].                         |
| ini_z  | <R>                              | in    | 初期位置 z [m].                         |
| x      | <R(:)>                           | in    | 右手系第一座標 [m].                        |
| y      | <R(:)>                           | in    | 右手系第二座標 [m].                        |
| z      | <R(:)>                           | in    | 右手系第三座標 [m].                        |
| u      | <R(size(x),size(y),<br>size(z))> | in    | x 方向のベクトル (後述).                     |
| v      | <R(size(x),size(y),<br>size(z))> | in    | y 方向のベクトル (後述).                     |
| w      | <R(size(x),size(y),<br>size(z))> | in    | z 方向のベクトル (後述).                     |
| traj_x | <R(step)>                        | inout | 流線の x 位置座標 [m].                     |
| traj_y | <R(step)>                        | inout | 流線の y 位置座標 [m].                     |
| traj_z | <R(step)>                        | inout | 流線の z 位置座標 [m].                     |
| opt    | <C(*)>                           | in    | 時間積分のスキーム (後述).<br>デフォルトは前方オイラスキーム. |
| undef  | R                                | in    | 領域外処理用未定義値 (後述).                    |

### 定義式

流線の定義式は、座標  $(x, y, z)$  において、3 次元ベクトル  $\mathbf{v}(x, y, z)$  が定義されており、この速度場に乗って移動するパーセルの軌跡  $\mathbf{x}(x, y, z)$  を

$$\delta \mathbf{x}(x, y, z) = \mathbf{v}(x, y, z) \delta t$$

という式の数値積分によって計算するものである。

### 備考

- オプション opt は流線計算の際に行う時間積分の積分スキームを指定するオプションであり、以下の設定が可能である。  
 EU1 前方 1 次精度のオイラスキーム.  
 HO1 ホインスキーム (改良オイラスキーム).  
 ME1 修正オイラスキーム.  
 RK3 3 次ルンゲ・クッタキーム.  
 RK4 4 次ルンゲ・クッタキーム.  
 これらのスキームの詳細については、付録??参照.
- 流線が x, y, z で指定される領域外に到達した場合、それ以降の時間ステップについては計算を放棄する。そして、放棄された時刻に相当する traj\_x, traj\_y, traj\_z の要素には undef で定義された値が返される。デフォルト設定では、0.0 が返されるようになっている。

### 3.18 typhoon\_analy

台風解析用のスペシャルルーチン集. 主に、デカルト座標系におけるデータを円筒座標系に変換し、接線平均等の処理を行うものの集合体。

#### 3.18.1 grad\_wind\_pres

機能

傾度風平衡場を満たす気圧場を計算する

書式

```
call grad_wind_pres( r, coril, v, rho, r_ref, p_ref, pres )
```

引数

|       |              |       |                                  |
|-------|--------------|-------|----------------------------------|
| r     | <R(:)>       | in    | 動径座標 [m].                        |
| coril | <R(size(r))> | in    | コリオリパラメータ [1/s].                 |
| v     | <R(size(r))> | in    | 軸対称風 [m/s].                      |
| rho   | <R>          | in    | サウンディングの密度 [kg/m <sup>3</sup> ]. |
| r_ref | <R>          | in    | 積分定数の位置座標 [m].                   |
| p_ref | <R>          | in    | r_ref での気圧 [Pa].                 |
| pres  | <R(size(r))> | inout | 平衡場の気圧 [Pa].                     |

定義式

傾度風平衡：

$$\frac{V_g^2}{r} + fV_g = \frac{1}{\rho} \frac{\partial p}{\partial r}$$

を満たすように、気圧場の水平分布を計算する。ここで、 $V_g$  は軸対称風、 $\rho$  は大気密度、 $p$  は気圧、 $r, z$  は動径、鉛直座標、 $f$  はコリオリパラメータである。傾度風平衡の式から、軸対称風を元に  $r$  方向に数値積分：

$$\int_{r_{ref}}^r \frac{\partial p}{\partial r} dr = \int_{r_0}^r \rho \left[ \frac{V_g^2}{r} + fV_g \right] dr$$

を行う。この式を計算すると、

$$p(r) = p_{ref} + \int_{r_{ref}}^r \rho \left[ \frac{V_g^2}{r} + fV_g \right] dr$$

となるので、与えられた軸対称風から各半径における気圧の値が求められる。

備考

なし.

## 3.18.2 hydro\_grad\_eqb

## 機能

サウンディングと軸対称流から静力学・傾度風平衡場の計算を行う。

## 書式

```
call hydro_grad_eqb( r, z, coril, v, pres_s, rho_s, pres, rho, [error]
)
```

## 引数

|        |                      |       |   |
|--------|----------------------|-------|---|
| r      | <R(:)>               | in    | 動径座標 [m].                                   |
| z      | <R(:)>               | in    | 鉛直座標 [m].                                   |
| coril  | <R(size(r),size(z))> | in    | コリオリパラメータ [1/s].                            |
| v      | <R(size(r),size(z))> | in    | 軸対称流 [m/s].                                 |
| pres_s | <R(size(z))>         | in    | サウンディングの気圧 [Pa].                            |
| rho_s  | <R(size(z))>         | in    | サウンディングの密度 [kg/m <sup>3</sup> ].            |
| pres   | <R(size(r),size(z))> | inout | 平衡場の気圧 [Pa].                                |
| rho    | <R(size(r),size(z))> | inout | 平衡場の密度 [kg/m <sup>3</sup> ].                |
| error  | <R>                  | in    | イタレーションの収束条件.<br>デフォルト = 10 <sup>-5</sup> . |

## 定義式

各高度において、静力学平衡：

$$\frac{\partial p}{\partial z} = -g\rho$$

および、傾度風平衡：

$$\frac{V_g^2}{r} + fV_g = \frac{1}{\rho} \frac{\partial p}{\partial r}$$

を満たすように、1次元のサウンディングデータから気圧場、密度場の鉛直構造を修正する。ここで、 $V_g$  は軸対称風、 $\rho$  は大気密度、 $p$  は気圧、 $r, z$  は動径、鉛直座標、 $f$  はコリオリパラメータである。これらの構造が求められれば、理想気体の状態方程式から、温度場も自然に得られる。また、これらの平衡状態が実現しているということは、傾度風平衡版の温度風平衡も同時に成り立つことがわかる<sup>\*5</sup>。修正の方法は、反復法を用いた収束による修正である。以下にその流れを示す。初期には密度、気圧場を各高度について水平様に与えておく。また、修正を行う際の基準状態は熱帯低気圧の中心から十分離れた  $r(nr)$ ,  $nr=size(r)$  の点とする。

1. 傾度風平衡の式から、軸対称風を元に  $r$  方向に数値積分：

$$\int_{r_0}^r \frac{\partial p}{\partial r} dr = \int_{r_0}^r \rho \left[ \frac{V_g^2}{r} + fV_g \right] dr$$

<sup>\*5</sup>傾度風平衡版の温度風の関係式は Emanuel (1986) 等を参照。

を行う。ここで、 $r_0$  は上で定義した動径座標の外縁である。この式を計算すると、

$$p(r) = p(r_0) + \int_{r_0}^r \rho \left[ \frac{V_g^2}{r} + fV_g \right] dr$$

となるので、与えられた軸対称風から各高度の各半径における気圧の値が求められる。

2. 得られた気圧  $p(r, z)$  の値を用いて、各高度、各半径における密度を静力学平衡の関係から計算する。

以降は、この繰り返しで、1 ステップ前との変化量が error 以下なら反復を終了するように設定している。

備考

なし.

### 3.18.3 tangent\_mean\_anom\_scal

機能

任意のスカラー量をデカルト座標系から円筒座標系に変換し、接線方向に平均したアノマリーを計算する.

書式

```
call tangent_mean_anom_scal( x, y, xc, yc, u, r, theta, v )
```

引数

|       |                          |       |                          |
|-------|--------------------------|-------|--------------------------|
| x     | <R(:)>                   | in    | デカルト第一座標.                |
| y     | <R(:)>                   | in    | デカルト第二座標.                |
| xc    | <R>                      | in    | デカルト $x$ 系での円筒座標原点 (後述). |
| yc    | <R>                      | in    | デカルト $y$ 系での円筒座標原点 (後述). |
| u     | <R(size(x),size(y))>     | in    | デカルト系でのアノマリをとるスカラー.      |
| r     | <R(:)>                   | in    | 円筒座標系の動径座標.              |
| theta | <R(:)>                   | in    | 円筒座標系の接線座標 [rad].        |
| v     | <R(size(r),size(theta))> | inout | アノマリーの値.                 |

定義式

2 次元デカルト座標系  $(x, y)$  における点  $(x_c, y_c)$  を原点とする円筒座標系  $(r, \theta)$  に、スカラーデータを変換し、 $\theta$  方向に平均化する。座標系の変換は双線形内挿を行う。  
デカルト系  $(x_i, y_j)$  で定義されたあるスカラー量  $u_{i,j}$  を円筒座標系  $(r_m, \theta_n)$  で定義

されるスカラー量  $v_{m,n}$  に変換する式は

$$v_{m,n} = u_{i,j} + \frac{u_{i+1,j} - u_{i,j}}{x_{i+1} - x_i}(x_m - x_i) + \frac{u_{i,j+1} - u_{i,j}}{y_{j+1} - y_j}(y_n - y_j) \\ + [u_{i+1,j+1} - u_{i,j+1} - u_{i+1,j} + u_{i,j}] \frac{(x_m - x_i)(y_n - y_j)}{(x_{i+1} - x_i)(y_{j+1} - y_j)}$$

である<sup>\*6</sup>。このとき、引数は以下の対応をする。

$$x_i : \mathbf{x}, \quad y_j : \mathbf{y}, \quad u_{i,j} : \mathbf{u}, \quad v_{m,n} : \mathbf{v},$$

$$r_m : \mathbf{r}, \quad \theta_n : \mathbf{theta}$$

#### 備考

- 座標間の概念図は図 3.1 参照。
- 与えられた円筒座標系の動径距離の最大値が  $(x_c, y_c)$  からデカルト座標系が与えられる各端までの距離のいずれかより大きい場合はエラーを返して終了する。

#### 3.18.4 tangent\_mean\_anom\_scal\_Cart

##### 機能

任意のスカラー量を接線方向に平均したアノマリーを計算し、デカルト座標系に戻す。

##### 書式

```
call tangent_mean_anom_scal( x, y, xc, yc, scal, r, theta, scal_anom )
```

##### 引数

|           |                      |       |                          |
|-----------|----------------------|-------|--------------------------|
| x         | <R(:)>               | in    | デカルト第一座標.                |
| y         | <R(:)>               | in    | デカルト第二座標.                |
| xc        | <R>                  | in    | デカルト $x$ 系での円筒座標原点 (後述). |
| yc        | <R>                  | in    | デカルト $y$ 系での円筒座標原点 (後述). |
| scal      | <R(size(x),size(y))> | in    | デカルト系でのアノマリをとるスカラー.      |
| r         | <R(:)>               | in    | 円筒座標系の動径座標.              |
| theta     | <R(:)>               | in    | 円筒座標系の接線座標 [rad].        |
| scal_anom | <R(size(x),size(y))> | inout | デカルト系でのアノマリの値.           |

<sup>\*6</sup>この式は??参照。

## 定義式

`tangent_mean_scal` で計算した接線平均値を用いて、元のデカルト系での値のアノマリを計算する。デカルト座標系の各点での円筒座標系中心からの距離を元に、その距離の近接両端での接線平均値を内挿処理し、その内挿値をそのデカルト座標系での接線平均値とする。

## 備考

- 与えられた円筒座標系の動径距離の最大値が  $(x_c, y_c)$  からデカルト座標系が与えられる各端までの距離のいずれかより大きい場合はエラーを返して終了する。

3.18.5 `tangent_mean_anom_vec`

## 機能

デカルト座標系で定義された任意の 2 次元ベクトルをデカルト座標系から円筒座標系に変換し、接線方向に平均し、そのアノマリをとる。このとき、判別フラグを用いることで、動径方向成分と接線方向成分に分割できる。

## 書式

```
call tangent_mean_anom_vec( charc, x, y, xc, yc, u1, u2, r, theta, v )
```

## 引数

|                    |   |                    |  |
|--------------------|---|--------------------|--|
| <code>charc</code> | <code>&lt;C(6)&gt;</code>                   | <code>in</code>    | 接線成分か動径成分のどちらに平均するか.<br>"scalar" = 動径外向き成分.<br>"vector" = 接線反時計成分. |
| <code>x</code>     | <code>&lt;R(:)&gt;</code>                   | <code>in</code>    | デカルト第一座標.  |
| <code>y</code>     | <code>&lt;R(:)&gt;</code>                   | <code>in</code>    | デカルト第二座標.  |
| <code>xc</code>    | <code>&lt;R&gt;</code>                      | <code>in</code>    | デカルト $x$ 系での円筒座標原点 (後述).   |
| <code>yc</code>    | <code>&lt;R&gt;</code>                      | <code>in</code>    | デカルト $y$ 系での円筒座標原点 (後述).   |
| <code>u1</code>    | <code>&lt;R(size(x),size(y))&gt;</code>     | <code>in</code>    | デカルト系での平均するベクトル.<br>$x$ 成分.  |
| <code>u2</code>    | <code>&lt;R(size(x),size(y))&gt;</code>     | <code>in</code>    | デカルト系での平均するベクトル.<br>$y$ 成分.  |
| <code>r</code>     | <code>&lt;R(:)&gt;</code>                   | <code>in</code>    | 円筒座標系の動径座標.  |
| <code>theta</code> | <code>&lt;R(:)&gt;</code>                   | <code>in</code>    | 円筒座標系の接線座標 [rad].  |
| <code>v</code>     | <code>&lt;R(size(r),size(theta))&gt;</code> | <code>inout</code> | アノマリの値.  |

## 定義式

行う処理は `tangent_mean_scal` とほとんど同じ。最初にフラグ `charc` でデカルト

系ベクトルを円筒系ベクトルに変換し、そのうちフラグ成分のみをスカラーとして計算すれば、上の処理が実現される。ここで、任意のデカルト系におけるベクトルを  $u = (u_1, u_2)$  とし、円筒座標系の位置ベクトルを  $r = r e_r$  とする。ここで、 $e_r$  は動径方向外向きの基底ベクトルである。このとき、この位置ベクトルはデカルト座標系で表現すると、 $r = (x, y)$  で表現できるので、デカルト座標系同士の内積は

$$r \cdot u = |r| |u_r|$$

という量を表現することになる。ここで、 $u_r$  はデカルト系でのベクトルの動径成分である。よって、これを距離で割れば動径方向外向きのベクトルが得られることになる。接線方向の成分もこれと同様の考え方で、位置ベクトルとデカルト系ベクトルの外積から反時計回りを正とする円筒座標系の接線成分を抽出することができる。2次元デカルト座標系  $(x, y)$  における点  $(x_c, y_c)$  を原点とする円筒座標系  $(r, \theta)$  に、スカラーデータを変換し、 $\theta$  方向に平均化する。座標系の変換は双線形内挿を行う。

#### 備考

- 与えられた円筒座標系の動径距離の最大値が  $(x_c, y_c)$  からデカルト座標系が与えられる各端までの距離のいずれかより大きい場合はエラーを返して終了する。

### 3.18.6 tangent\_mean\_scal

#### 機能

任意のスカラー量をデカルト座標系から円筒座標系に変換し、接線方向に平均する。

#### 書式

```
call tangent_mean_scal( x, y, xc, yc, u, r, theta, v )
```

#### 引数

|       |                      |       |                          |
|-------|----------------------|-------|--------------------------|
| x     | <R(:)>               | in    | デカルト第一座標.                |
| y     | <R(:)>               | in    | デカルト第二座標.                |
| xc    | <R>                  | in    | デカルト $x$ 系での円筒座標原点 (後述). |
| yc    | <R>                  | in    | デカルト $y$ 系での円筒座標原点 (後述). |
| u     | <R(size(x),size(y))> | in    | デカルト系での平均するスカラー.         |
| r     | <R(:)>               | in    | 円筒座標系の動径座標.              |
| theta | <R(:)>               | in    | 円筒座標系の接線座標 [rad].        |
| v     | <R(size(r))>         | inout | 接線平均したスカラー.              |

#### 定義式

2次元デカルト座標系  $(x, y)$  における点  $(x_c, y_c)$  を原点とする円筒座標系  $(r, \theta)$  に、

スカラーデータを変換し、 $\theta$  方向に平均化する。座標系の変換は双線形内挿を行う。

デカルト系  $(x_i, y_j)$  で定義されたあるスカラー量  $u_{i,j}$  を円筒座標系  $(r_m, \theta_n)$  で定義されるスカラー量  $v_{m,n}$  に変換する式は

$$v_{m,n} = u_{i,j} + \frac{u_{i+1,j} - u_{i,j}}{x_{i+1} - x_i}(x_m - x_i) + \frac{u_{i,j+1} - u_{i,j}}{y_{j+1} - y_j}(y_n - y_j) \\ + [u_{i+1,j+1} - u_{i,j+1} - u_{i+1,j} + u_{i,j}] \frac{(x_m - x_i)(y_n - y_j)}{(x_{i+1} - x_i)(y_{j+1} - y_j)}$$

である<sup>\*7</sup>。このとき、引数は以下の対応をする。

$$x_i : \mathbf{x}, \quad y_j : \mathbf{y}, \quad u_{i,j} : \mathbf{u}, \quad v_{m,n} : \mathbf{v},$$

$$r_m : \mathbf{r}, \quad \theta_n : \mathbf{theta}$$

#### 備考

- 座標間の概念図は図 3.1 参照。
- 与えられた円筒座標系の動径距離の最大値が  $(x_c, y_c)$  からデカルト座標系が与えられる各端までの距離のいずれかより大きい場合はエラーを返して終了する。

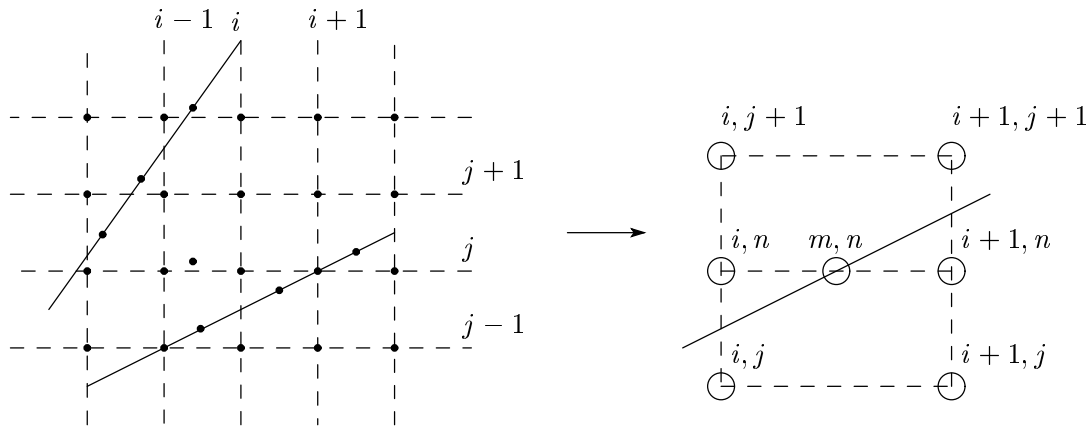


図 3.1: デカルト座標系から円筒座標系への双線形補間の概念。円筒座標系で  $m, n$  点を求めたい場合は、デカルト座標系で  $j$  方向に内挿を計算し、その内挿点から  $i$  方向に線形内挿する。

<sup>\*7</sup> この式は??参照。



## 3.18.7 tangent\_mean\_vec

## 機能

デカルト座標系で定義された任意の 2 次元ベクトルをデカルト座標系から円筒座標系に変換し、接線方向に平均する。このとき、判別フラグを用いることで、動径方向成分と接線方向成分に分割できる。

## 書式

```
call tangent_mean_vec( charc, x, y, xc, yc, u1, u2, r, theta, v )
```

## 引数

|       |                      |       |  |
|-------|----------------------|-------|--|
| charc | <C(6)>               | in    | 接線成分か動径成分の<br>どちらに平均するか.<br>"scalar" = 動径外向き成分.<br>"vector" = 接線反時計成分. |
| x     | <R(:)>               | in    | デカルト第一座標.  |
| y     | <R(:)>               | in    | デカルト第二座標.  |
| xc    | <R>                  | in    | デカルト $x$ 系での円筒座標原点 (後述).   |
| yc    | <R>                  | in    | デカルト $y$ 系での円筒座標原点 (後述).   |
| u1    | <R(size(x),size(y))> | in    | デカルト系での平均するベクトル.<br>$x$ 成分.  |
| u2    | <R(size(x),size(y))> | in    | デカルト系での平均するベクトル.<br>$y$ 成分.  |
| r     | <R(:)>               | in    | 円筒座標系の動径座標.  |
| theta | <R(:)>               | in    | 円筒座標系の接線座標 [rad].  |
| v     | <R(size(r))>         | inout | 接線平均したスカラー.  |

## 定義式

行う処理は `tangent_mean_scal` とほとんど同じ。最初にフラグ `charc` でデカルト系ベクトルを円筒系ベクトルに変換し、そのうちフラグ成分のみをスカラーとして計算すれば、上の処理が実現される。ここで、任意のデカルト系におけるベクトルを  $\mathbf{u} = (u_1, u_2)$  とし、円筒座標系の位置ベクトルを  $\mathbf{r} = r\mathbf{e}_r$  とする。ここで、 $\mathbf{e}_r$  は動径方向外向きの基底ベクトルである。このとき、この位置ベクトルはデカルト座標系で表現すると、 $\mathbf{r} = (x, y)$  で表現できるので、デカルト座標系同士の内積は

$$\mathbf{r} \cdot \mathbf{u} = |\mathbf{r}| |\mathbf{u}_r|$$

という量を表現することになる。ここで、 $\mathbf{u}_r$  はデカルト系でのベクトルの動径成分である。よって、これを距離で割れば動径方向外向きのベクトルが得られることになる。接線方向の成分もこれと同様の考え方で、位置ベクトルとデカルト系ベクトルの外積から反時計回りを正とする円筒座標系の接線成分を抽出することができる。

## 備考

- 与えられた円筒座標系の動径距離の最大値が  $(x_c, y_c)$  からデカルト座標系が与えられる各端までの距離のいずれかより大きい場合はエラーを返して終了する.

## 第4章 サンプルプログラム

ここでは、各ルーチンの使用例としていくつかのサンプルプログラムをあげておく。

### 4.1 サンプルプログラムのコンパイル方法

demo ディレクトリ以下に、本ライブラリを用いたサンプルプログラムが複数同梱されている。本サンプルプログラムの実行には STPK ライブラリが正常にインストールされており、NetCDF ライブラリ、gtool5 ライブラリがインストールされている必要がある。サンプルプログラムの計算結果は NetCDF データで出力されるため、可視化には別途可視化ツールが必要である。

サンプルプログラムのコンパイルには、demo/Mkinclude を各自の環境に合わせて編集しなければならない。変更する可能性がある箇所は以下のとおりである。

|        |                       |
|--------|-----------------------|
| FC     | STPK をインストールしたコンパイラ。  |
| FFLAGS | インストール時のコンパイルオプション。   |
| ISTDIR | STPK のインストールディレクトリ。   |
| INSTNC | netcdf のインストールディレクトリ。 |
| INSTGT | gtool5 のインストールディレクトリ。 |

コンパイルは demo ディレクトリで make コマンドを実行すればよい。

もし、DCLF90 がインストールされているなら、make draw と実行することで、2次元のグラフを描画することのできる実行ファイル draw が作成される。また、Ruby-DCL がインストールされていれば、同じディレクトリに同梱されている dclplot を用いて、テキストフォーマットのデータを gnuplot のようにグラフ化することができる。この dclplot は Ruby スクリプトであり、ruby dclplot で実行すると、どのような引数を与えなければならないかというような usage 情報が出力されるので、それを参考にされたい。

draw コマンドの使い方については、各サンプルプログラムのファイル名の前に draw\_ とヘッダのついた拡張子 .nml のネームリストファイルがあるので、例えば、poison を用いた結果得られたデータ poison.nc を可視化したい場合は、./draw < draw\_poison.nml で可視化することができる。この draw に対応したネームリストファイルの各変数は以下

のとおりである.

```
&drawinput
fig_type = 1 ! 図の種類 1: 等値線, シェード
              ! 2: 等値線, シェード, ベクトル
nx = 100 ! 横軸の格子点数
ny = 100 ! 縦軸の格子点数
xmin = 0.0 ! 横軸の左端
xmax = 1.0 ! 横軸の右端
ymin = 0.0 ! 縦軸の下端
ymax = 1.0 ! 縦軸の上端
fname = 'poison.nc' ! 読み込む netcdf ファイル
txtname = '' ! テキストカラムデータ
cont_val = 'rho' ! 等値線で描く変数
shade_val = 'psi' ! カラーシェードで描く変数
vx_val = '' ! ベクトル x 成分で描く変数
vy_val = '' ! ベクトル y 成分で描く変数
cmin = -4.0 ! 等値線の最小値
cmax = 0.0 ! 等値線の最大値
smin = 0.0 ! カラーシェードの最小値
smax = 5.0 ! カラーシェードの最大値
x_axis = 'x' ! 横軸の変数名
y_axis = 'y' ! 縦軸の変数名
sfact = 1.0 ! シェードのファクター
cfact = 1.0 ! 等値線のファクター
vxfact = 1.0 ! 単位ベクトルの長さ x
vyfact = 1.0 ! 単位ベクトルの長さ y
/
```

他の draw 用ネームリストファイルも全て同じ変数となっている. 各ネームリストファイルは各サンプルを可視化する際, 何も変更しなくても描画することができる.

## 4.2 各プログラムの説明

### 4.3 advection

モジュール ffttp のテスト用プログラム. 線形 1 次元の移流方程式について, スペクトル法を用いてその時間発展を計算する.

計算を行う方程式系は空間方向に 1 次元の物理量  $u(x, t)$  についての純移流方程式:

$$\frac{\partial u}{\partial t} + c \frac{\partial u}{\partial x} = 0$$

である. これを空間方向にはスペクトル展開し, 時間方向にはクランクニ科尔ソンスキームを用いている. 空間格子数等はネームリストファイル advection.nml で設定可能である.

### サンプル

```
1  program advection
2    use ffts ! FFT ルーチン
3    use file_operate ! 結果ファイル出力
4    use Math_Const
5    use gtool_history
6    implicit none
7    integer :: nx ! x 方向の切断波数
8    real :: dt ! 計算時間間隔
9    integer :: nt ! 計算ステップ数
10   real :: xmin ! x 座標左端
11   real :: dx ! x 座標格子間隔
12   integer :: j, k, l, m, n
13   real, allocatable, dimension(:) :: x ! x 座標
14   real, allocatable, dimension(:) :: y ! スカラー変数
15   real, allocatable, dimension(:) :: time ! 時間
16   real, allocatable, dimension(:, :) :: amp ! 時系列データ
17   complex, allocatable, dimension(:) :: fx ! y の変数変換用
18   complex, allocatable, dimension(:) :: fm1 ! スペクトル用
19   complex, allocatable, dimension(:) :: fm2 ! スペクトル用
20   complex, allocatable, dimension(:) :: fm_tmp ! ダンプ出力用
21   complex, parameter :: i=(0.0,1.0)
22   namelist /input /nx,dt,nt,xmin,dx
23   read(5,input)
24   if(mod(nx,2)/=0)then
25     write(*,*) "*** ERROR ***"
26     write(*,*) "nx must be even number. Stop."
27     stop
28   end if
29   allocate(x(0:2*nx))
30   allocate(y(0:2*nx))
31   allocate(time(nt+1))
32   allocate(amp(0:2*nx,nt+1))
33   allocate(fm1(0:2*nx))
34   allocate(fm2(0:2*nx))
35   allocate(fm_tmp(0:2*nx))
36   x=((xmin+dx*real(j)),j=0,2*nx)/)
37   time=((dt*real(j-1)),j=1,nt+1)/)
38   do j=0,2*nx
39     y(j)=sin(x(j))
40     amp(j,1)=y(j)
41     ! y(j)=exp(-(x(j)-0.5*real(2*nx+1)*dx)**2)
42     fm_tmp(j)=y(j)
43   end do
```

```

44      call ffttp_1d( 2*nx+1, fm_tmp, fm1, 'r', 'o' )
45      !-- gtool history (netcdf dump)
46      call HistoryCreate( &                                ! ヒストリー作成
47          & file='advection.nc', title='spectral advecting model', &
48          & source='Sample program of gtool_history/gtool5', &
49          & institution='GFD_Dennou Club davis project', &
50          & dims=(/'x','t'/), dimsizes=(/2*nx+1,nt+1/), &
51          & longnames=(/'X-coordinate','time'/), &
52          & units=(/'m','s'/), &
53          & origin=0.0, interval=real(nt*dt) )
54      call HistoryPut( 'x', x )                                ! 次元変数出力
55      call HistoryAddVariable( &                                ! 変数定義
56          & varname='amp', dims=(/'x','t'/), &
57          & longname='amplitude', units='1', xtype='float')
58      !-- 時間積分開始
59      do j=1,nt
60      !-- CR 法で時間積分
61          fm2(0)=fm1(0)
62          do k=1,nx
63              fm2(k)=((1.0-0.25*(dt*real(k))**2-i*dt*real(k))/ &
64              & (1.0+0.25*(dt*real(k))**2))*fm1(k)
65              fm1(k)=fm2(k) ! 次のステップへ渡す
66              fm2(nx+k)=conjg(fm2(nx-k+1)) ! 計算不要な配列に結果を渡す
67          end do
68          call ffttp_1d( 2*nx+1, fm2, fm_tmp, 'i', 'o' )
69          do k=0,2*nx ! 実数への変換
70              y(k)=real(fm_tmp(k))
71              amp(k,j+1)=y(k)
72          end do
73      end do
74      call HistoryPut( 'amp', amp )                                ! 変数出力
75      call HistoryClose
76      end program

```

#### 実行方法・ネームリスト

```
./advection < advection.nml
```

この結果, advection.nc が出力される. また, ネームリストの変数は以下のとおりである.

```

&input
  nx=100 ! 空間格子点数
  dt=0.05 ! 時間間隔

```

```
nt=100 ! 計算ステップ数
xmin=0.0 ! 領域左端
dx=0.0628 ! 空間格子間隔
/
```

計算結果

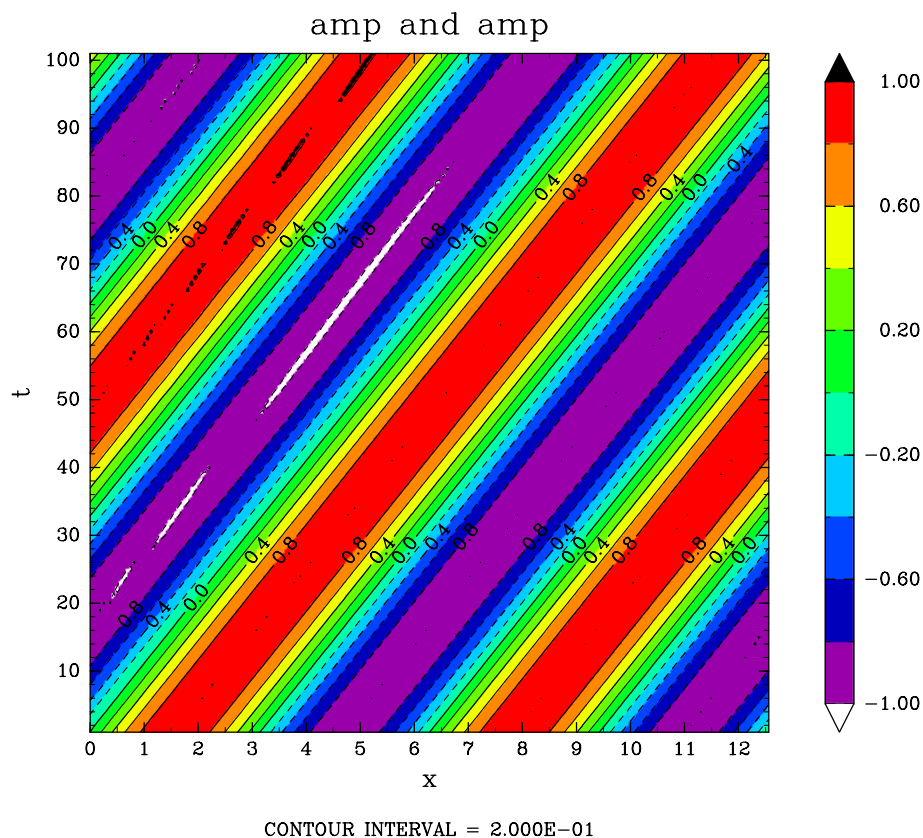


図 4.1: 波の時系列.

## 4.4 cov

モジュール Statistics のテスト用プログラム. ある与えられたデータファイル data.org を元に, 分布図を作成するプログラム. ただし, その分布図を元に回帰直線を引き, 相関係数を計算する.

## サンプル

```
1  program cov
2      use Statistics
3      use max_min
4      implicit none
5      real, allocatable, dimension(:) :: x, y, xa, ya
6      integer :: nx, er, i
7      real :: a, cc, slope, intercept
8      real :: xmax, xmin, ymax, ymin, xmean, ymean
9      integer :: xmim, ymim, xmam, ymam
10     character(1) :: alter
11     nx=0
12     open(unit=10,file='data.org',status='old',iostat=er)
13     do
14         read(10,*,iostat=er) a, a
15         if(er/=0)then
16             exit
17         end if
18         nx=nx+1
19     end do
20     close(unit=10,status='keep')
21     allocate(x(nx))
22     allocate(y(nx))
23     allocate(xa(nx))
24     allocate(ya(nx))
25     open(unit=11,file='data.org',status='old',iostat=er)
26     do i=1,nx
27         read(11,*) x(i), y(i)
28     end do
29     close(unit=11,status='keep')
30     call Cor_Coe( x, y, cc )
31     call Reg_Line( x, y, slope, intercept )
32     call Mean_1d( x, xmean )
33     call Mean_1d( y, ymean )
34     ! call Anomaly_1d( nx, x, xa )
35     ! call Anomaly_1d( nx, y, ya )
36     do i=1,nx
37         xa(i)=x(i)/xmean
38         ya(i)=y(i)/ymean
39     end do
40     call max_val_1d(xa, xmam, xmax )
41     call max_val_1d(ya, ymam, ymax )
42     call min_val_1d(xa, xmim, xmin )
43     call min_val_1d(ya, ymim, ymin )
44     write(*,*) '*****'
```



```

45     write(*,*) 'slope =', slope
46     write(*,*) 'intercept =', intercept
47     write(*,*) 'Cor_Coe =', cc
48     write(*,*) 'data number =', nx
49     write(*,*) '*****'
50     deallocate(x)
51     deallocate(y)
52     deallocate(xa)
53     deallocate(ya)
54     end program

```

### 実行方法・実行結果

本プログラムは単体で実行するだけであり、その出力結果は以下のようになる。

```

*****
slope = 4.4496446E-06
intercept = -3.6121133E-07
Cor_Coe = 3.6029361E-02
data number = 246
*****

```

## 4.5 diffusion

モジュール ffttp のテスト用プログラム。線形 1 次元の拡散方程式について、スペクトル法を用いてその時間発展を計算する。

計算を行う方程式系は空間方向に 1 次元の物理量  $u(x, t)$  についての純拡散方程式：

$$\frac{\partial u}{\partial t} = c \frac{\partial^2 u}{\partial x^2}$$

である。これを空間方向にはスペクトル展開し、時間方向にはクランクニ科尔ソンスキームを用いている。空間格子数等はネームリストファイル diffusion.nml で設定可能である。

### サンプル

```

1  program diffusion
2      use ffts ! FFT ルーチン
3      use file_operate ! 結果ファイル出力
4      use Math_Const
5      use gtool_history
6      implicit none

```

```

7   integer :: nx  ! x 方向の切断波数
8   real :: dt  ! 計算時間間隔
9   integer :: nt  ! 計算ステップ数
10  real :: xmin  ! x 座標左端
11  real :: dx  ! x 座標格子間隔
12  integer :: j, k, l, m, n
13  real, allocatable, dimension(:) :: x  ! x 座標
14  real, allocatable, dimension(:) :: y  ! スカラー変数
15  real, allocatable, dimension(:) :: time  ! 時間
16  real, allocatable, dimension(:, :) :: amp  ! 時系列
17  complex, allocatable, dimension(:) :: fx  ! y の変数変換用
18  complex, allocatable, dimension(:) :: fm1  ! スペクトル用
19  complex, allocatable, dimension(:) :: fm2  ! スペクトル用
20  complex, allocatable, dimension(:) :: fm_tmp  ! ダンプ出力用
21  complex, parameter :: i=(0.0,1.0)
22  namelist /input /nx,dt,nt,xmin,dx
23  read(5,input)
24  if(mod(nx,2)/=0)then
25      write(*,*) "*** ERROR ***"
26      write(*,*) "nx must be even number. Stop."
27      stop
28  end if
29  allocate(x(0:2*nx))
30  allocate(y(0:2*nx))
31  allocate(time(nt+1))
32  allocate(amp(0:2*nx,nt+1))
33  allocate(fm1(0:2*nx))
34  allocate(fm2(0:2*nx))
35  allocate(fm_tmp(0:2*nx))
36  x=/( (xmin+dx*real(j)), j=0,2*nx)/
37  time=/( (dt*real(j-1)), j=1,nt+1)/
38  do j=0,2*nx
39      !   y(j)=sin(x(j))
40      y(j)=exp(-(x(j)-0.5*real(2*nx+1)*dx)**2)
41      amp(j,1)=y(j)
42      fm_tmp(j)=y(j)
43  end do
44  call ffttp_1d( 2*nx+1, fm_tmp, fm1, 'r', 'o' )
45  !-- gtool history (netcdf dump)
46  call HistoryCreate( &                                ! ヒストリー作成
47      & file='diffusion.nc', title='spectral advecting model', &
48      & source='Sample program of gtool_history/gtool5', &
49      & institution='GFD_Dennou Club davis project', &
50      & dims=('/x','t'/), dimsizes=(/2*nx+1,nt+1/), &
51      & longnames=('/X-coordinate','time'/), &

```

```

52      & units=('/m','s'/),                                &
53      & origin=0.0, interval=real(nt*dt) )
54      call HistoryPut( 'x', x )                          ! 次元変数出力
55      call HistoryAddVariable( &                          ! 変数定義
56      & varname='amp', dims=('/x','t'/), &
57      & longname='amplitude', units='1', xtype='float')
58      !-- 時間積分開始
59      do j=1,nt
60      !-- CR 法で時間積分
61          fm2(0)=fm1(0)
62          do k=1,nx
63              fm2(k)=((1.0-0.5*dt*real(k)**2)/ &
64              &          (1.0+0.5*dt*real(k)**2))*fm1(k)
65              fm1(k)=fm2(k) ! 次ステップへ渡す
66              fm2(nx+k)=conjg(fm2(nx-k+1)) ! 計算不要な配列に結果を渡す
67          end do
68          call ffttp_1d( 2*nx+1, fm2, fm_tmp, 'i', 'o' )
69          do k=0,2*nx ! 実数への変換
70              y(k)=real(fm_tmp(k))
71              amp(k,j+1)=y(k)
72          end do
73      end do
74      call HistoryPut( 'amp', amp )                        ! 変数出力
75      call HistoryClose
76  end program

```

### 実行方法・ネームリスト

```
./diffusion < diffusion.nml
```

この結果, diffusion.nc が出力される. また, ネームリストの変数は以下のとおりである.

```

&input
  nx=100 ! 空間格子点数
  dt=0.05 ! 時間間隔
  nt=100 ! 計算ステップ数
  xmin=0.0 ! 領域左端
  dx=0.0628 ! 空間格子間隔
/

```

### 計算結果

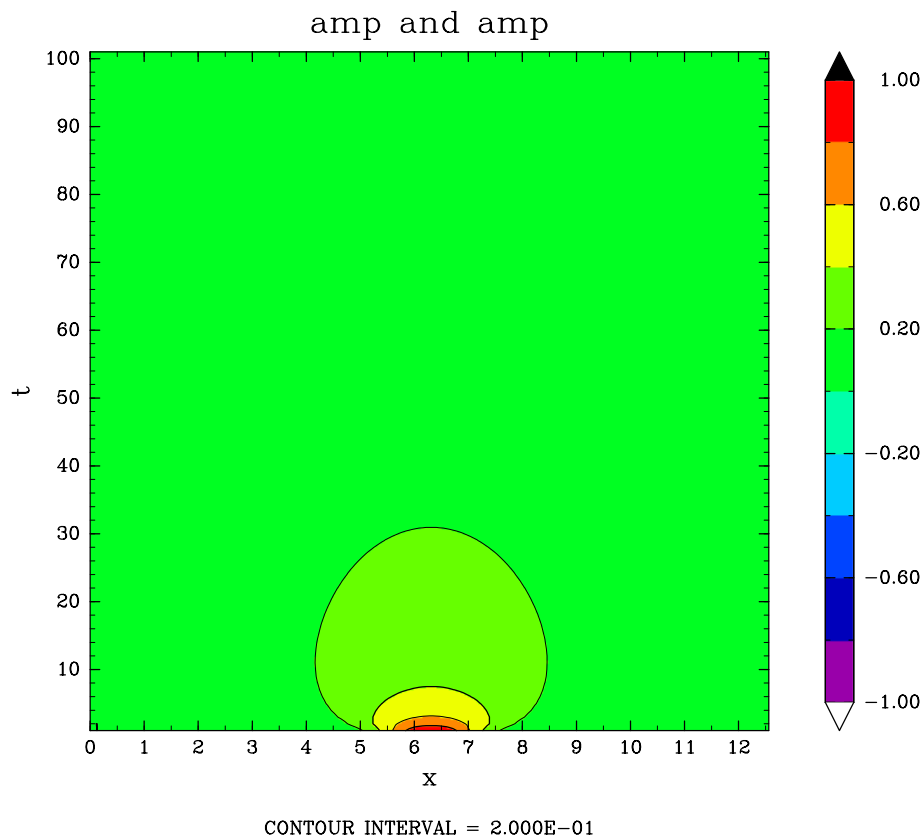


図 4.2: 波の時系列.

## 4.6 matrix\_test

3次元行列を与え、そのデータをもとに様々な行列計算ルーチンを実行するプログラム.

### サンプル

```
1  program matrix_test
2      use Matrix_Calc
3      implicit none
4      integer, parameter :: nx=3
5      real, dimension(nx) :: x, y, z
6      real, dimension(nx,nx) :: a, b, c
7      integer :: i, j, k
8      real :: eps, accel, val
9      write(*,*) "input the method."
```

```
10  write(*,*) "[1]=gauss, [2]=LU, [3]=Gau_sei, [4]=Jacobi,"
11  write(*,*) "[5]=SOR_Gau, [6]=SOR_Jacobi, [7]=invert, [8]=eigenvalue."
12  write(*,*) "[9]=Jacobi engen."
13  read(*,*) k
14  if(k==9.or.k==8)then  ! 9 番だけ, eigen.dat を開く.
15      open(unit=10,file='eigen.dat',status='old')
16  else
17      open(unit=10,file='data.dat',status='old')
18  end if
19      do i=1,nx
20          read(10,*) (a(i,j),j=1,nx), z(i)
21      end do
22  close(unit=10,status='keep')
23  write(*,*) "output reading array"
24  do i=1,nx
25      write(*,*) (a(i,j),j=1,nx)
26  end do
27  eps=1.e-6
28  accel=1.0
29  select case(k)
30  case(1)
31      call gauss( a, z, x )
32      do i=1,nx
33          write(*,*) x(i)
34      end do
35  case(2)
36      call LU_devs( a, z, x, 10 )
37      do i=1,nx
38          write(*,*) x(i)
39      end do
40  case(3)
41      call Gau_Se( a, z, eps, x )
42      do i=1,nx
43          write(*,*) x(i)
44      end do
45  case(4)
46      call Jacobi_algebra( a, z, eps, x )
47      do i=1,nx
48          write(*,*) x(i)
49      end do
50  case(5)
51      call SOR_Gau_Se( a, z, eps, accel, x )
52      do i=1,nx
53          write(*,*) x(i)
54      end do
55  case(6)
56      call SOR_Jacobi_algebra( a, z, eps, accel, x )
57      do i=1,nx
```

```
58         write(*,*) x(i)
59     end do
60     case(7)
61         b=0.0
62         call invert_mat( a, b )
63         write(*,*) "answer is,"
64         do i=1,nx
65             write(*,*) (b(i,j),j=1,nx)
66         end do
67     case(8)
68         b=0.0
69         x=0.0
70         call eigenvalue_power( a, eps, val, x )
71         write(*,*) "eigenvalue is ", val
72         write(*,*) "eigen vector is"
73         do i=1,nx
74             write(*,*) x(i)
75         end do
76     case(9)
77         b=0.0
78         x=0.0
79         call Jacobi_eigen( a, x, eps )
80         write(*,*) "eigenvalue is "
81         do i=1,nx
82             write(*,*) x(i)
83         end do
84     end select
85 end program
```

### 実行方法

本プログラムは単体で実行すればよい。実行すると、どのような計算を行うかを聞かれるので、標準入力番号を入力する。番号は以下のような対応になっている。

1. ガウスの消去法を用いて, 3 元の連立方程式の求解を行う.
2. LU 分解を用いて, 3 元連立方程式の求解を行う.
3. ガウスザイデル法を用いて, 3 元連立方程式の求解を行う.
4. ヤコビ法を用いて, 3 元連立方程式の求解を行う.
5. ガウスザイデル法を SOR で加速しながら, 3 元連立方程式の求解を行う.
6. ヤコビ法を SOR で加速しながら, 3 元連立方程式の求解を行う.
7. 3 次元正方行列の逆行列を計算する.
8. べき乗法を用いて 3 次元の正方行列の最大固有値とそれに対応する固有ベクトルを計算する.
9. ヤコビ法を用いて, 3 次元正方行列の全固有値を計算する.

## 4.7 normal\_poly

モジュール `poly_normal`, `special_function` のテストプログラム. 標準入力する関数名の関数を一定の定義域において計算し, テキストカラムデータで出力するプログラム.

本プログラムの実行によって出力されたテキストデータファイルは同じディレクトリに同梱されている ruby スクリプト `dclplot` を実行することで容易に可視化できる.

### サンプル

```
1  program normal_poly
2  ! 多項式, 特殊関数ルーチンのデモ
3  use poly_function
4  use special_function
5  integer, parameter :: n=4, nmax=100
6  integer i, j, k, num
7  real :: xmin, xmax, dx, ymin, ymax
8  real :: x(nmax), p(0:n,nmax)
9  real :: y0(nmax), y1(nmax), y2(nmax), y3(nmax), y4(nmax)
10 real :: alpha, beta, lambda
11 character(10) :: title
12 ! 対応する整数を代入すると, その関数が計算される.
13 write(*,*) "input the calculate num."
```

```
14  write(*,*) "1->Legendre."
15  write(*,*) "2->Hermite."
16  write(*,*) "3->Laguerre."
17  write(*,*) "4->Jacobi."
18  write(*,*) "5->Gegenbauer."
19  write(*,*) "6->Chevishev"
20  write(*,*) "7->Sonine"
21  write(*,*) "8->Bessel"
22  write(*,*) "9->Gamma"
23  write(*,*) "10->Neumann"
24  write(*,*) "11->df_Bess"
25  write(*,*) "12->df_Neum"
26  read(*,*) num
27  select case (num)
28  case(1)
29      xmin=-1.0
30      xmax=1.0
31      dx=(xmax-xmin)/(nmax-1)
32      do i=1,nmax
33          x(i)=xmin+dx*(i-1)
34      end do
35      call legendre(n,x,p)
36      title="LEGENDRE"
37  case(2)
38      xmin=-5.0
39      xmax=5.0
40      dx=(xmax-xmin)/(nmax-1)
41      do i=1,nmax
42          x(i)=xmin+dx*(i-1)
43      end do
44      call hermite(n,x,p)
45      do j=0,n
46          if(j.eq.0)then
47              m=1
48          else
49              m=j*m
50          end if
51          do i=1,nmax
52              p(j,i)=(exp(-0.5*(x(i)**2)))*p(j,i)/(sqrt(2.0**j*m))
53          end do
54      end do
55      title="HERMITE"
56  case(3)
57      xmin=0.0
58      xmax=20.0
59      dx=(xmax-xmin)/(nmax-1)
60      do i=1,nmax
61          x(i)=xmin+dx*(i-1)
62      end do
```



```
63      call laguerre(n,x,p)
64      do j=0,n
65          if(j.eq.0)then
66              m=1
67          else
68              m=j*m
69          end if
70          do i=1,nmax
71              p(j,i)=(exp(-0.5*x(i))/m)*p(j,i)
72          end do
73      end do
74      title="LAGUERRE"
75  case(4)
76      xmin=-1.0
77      xmax=1.0
78      dx=(xmax-xmin)/(nmax-1)
79      do i=1,nmax
80          x(i)=xmin+dx*(i-1)
81      end do
82      write(*,*) "input the alpha, beta."
83      read(*,*) alpha, beta
84      call jacobi_poly(n,x,p,alpha,beta)
85      title="JACOBI"
86  case(5)
87      xmin=-1.0
88      xmax=1.0
89      dx=(xmax-xmin)/(nmax-1)
90      do i=1,nmax
91          x(i)=xmin+dx*(i-1)
92      end do
93      write(*,*) "input the lambda."
94      read(*,*) lambda
95      call gegenbauer(n,x,p,lambda)
96      title="GEGENBAUER"
97  case(6)
98      xmin=-1.0
99      xmax=1.0
100     dx=(xmax-xmin)/(nmax-1)
101     do i=1,nmax
102         x(i)=xmin+dx*(i-1)
103     end do
104     call chebyshev(n,x,p)
105     title="CHEBYSHEV"
106  case(7)
107     xmin=0.0
108     xmax=20.0
109     dx=(xmax-xmin)/(nmax-1)
110     do i=1,nmax
111         x(i)=xmin+dx*(i-1)
```

```
112      end do
113      write(*,*) "input the alpha."
114      read(*,*) alpha
115      call sonine(n,x,p,alpha)
116      !      do j=0,n
117      !      if(j.eq.0)then
118      !          m=1
119      !      else
120      !          m=j*m
121      !      end if
122      do j=0,n
123          do i=1,nmax
124              p(j,i)=(exp(-0.5*x(i)))*p(j,i)
125          end do
126      end do
127      title="SONINE"
128      case(8)
129          xmin=0.0
130          xmax=10.0
131          dx=(xmax-xmin)/(nmax-1)
132          do i=1,nmax
133              x(i)=xmin+dx*(i-1)
134              p(0,i)=bessj(0,x(i))
135              p(1,i)=bessj(1,x(i))
136              p(2,i)=bessj(2,x(i))
137              p(3,i)=bessj(3,x(i))
138              p(4,i)=bessj(4,x(i))
139          end do
140          title="BESSEL"
141      case(9)
142          xmin=-0.5
143          xmax=2.0
144          dx=(xmax-xmin)/(nmax-1)
145          do i=1,nmax
146              x(i)=xmin+dx*(i-1)
147              p(0,i)=gamma_func(x(i))
148              p(1,i)=0.0
149              p(2,i)=0.0
150              p(3,i)=0.0
151              p(4,i)=0.0
152          end do
153          title="GAMMA"
154      case(10)
155          xmin=1.0
156          xmax=10.5
157          dx=(xmax-xmin)/(nmax-1)
158          do i=1,nmax
159              x(i)=xmin+dx*(i-1)
160              p(0,i)=bessy(0,x(i))
```

```
161         p(1,i)=bessy(1,x(i))
162         p(2,i)=bessy(2,x(i))
163         p(3,i)=bessy(3,x(i))
164         p(4,i)=bessy(4,x(i))
165         do j=0,4
166             if(p(j,i)<-1.0)then
167                 p(j,i)=999.0
168             end if
169         end do
170     end do
171     title="NEUMANN"
172 case(11)
173     xmin=0.25
174     xmax=3.0
175     dx=(xmax-xmin)/(nmax-1)
176     do i=1,nmax
177         x(i)=xmin+dx*(i-1)
178         p(0,i)=df_bessj(0,x(i))
179         p(1,i)=df_bessj(1,x(i))
180         p(2,i)=df_bessj(2,x(i))
181         p(3,i)=df_bessj(3,x(i))
182         p(4,i)=df_bessj(4,x(i))
183     end do
184     title="DFBESS"
185 case(12)
186     xmin=0.5
187     xmax=3.0
188     dx=(xmax-xmin)/(nmax-1)
189     do i=1,nmax
190         x(i)=xmin+dx*(i-1)
191         p(0,i)=df_bessy(0,x(i))
192         p(1,i)=df_bessy(1,x(i))
193         p(2,i)=df_bessy(2,x(i))
194         p(3,i)=df_bessy(3,x(i))
195         p(4,i)=df_bessy(4,x(i))
196         do j=0,4
197             if(p(j,i)>10.0)then
198                 p(j,i)=999.0
199             end if
200         end do
201     end do
202     title="DFNEUM"
203 end select
204 do i=1,nmax
205     y0(i)=p(0,i)
206     y1(i)=p(1,i)
207     y2(i)=p(2,i)
208     y3(i)=p(3,i)
```

```
209      y4(i)=p(4,i)
210    end do
211    select case (num)
212    case(10)
213      ymin=-1.0
214      ymax=1.0
215    case(11)
216      ymin=0.0
217      ymax=10.0
218    case(12)
219      ymin=0.0
220      ymax=10.0
221    end select
222    !-- text writing
223    open(unit=10,file='normal_poly.dat',status='unknown')
224    write(10,'(1000a)') "'x-axis', ", "'", trim(title), "'", "'", trim(title), "'", "'",
225    write(10,'(1000a)') "'", "'", "'", "'", "'", "'",
226    do i=1,nmax
227      write(*,*) x(i), ',', y0(i), ',', y1(i), ',', y2(i), ',', y3(i), ',', y4(i)
228      write(10,'(f10.5,1a,f10.5,1a,f10.5,1a,f10.5,1a,f10.5,1a,f10.5)') x(i), ',', y0(i),
229    end do
230    close(unit=10,status='keep')
231  end program
```

### 実行方法

本プログラムは単体で実行することができ、実行するとどの関数を計算するかということを標準入力で決定する。各番号は以下のような対応をしている。

1. ルジャンドル多項式.
2. エルミート多項式.
3. ラゲール多項式.
4. ヤコビ多項式.
5. ゲーゲンバウアー多項式.
6. チェビシェフ多項式.
7. ソニン多項式.
8. ベッセル関数.
9. ガンマ関数.
10. ノイマン関数.
11. 変形ベッセル関数.
12. 変形ノイマン関数.

## 計算結果

### ルジャンドル多項式の場合

図 4.3 にルジャンドル多項式の場合を示す.

### エルミート多項式の場合

図 4.4 にエルミート多項式の場合を示す.

### ラゲール多項式の場合

図 4.5 にラゲール多項式の場合を示す.

### ベッセル関数の場合

図 4.6 にベッセル関数の場合を示す.

### ノイマン関数の場合

図 4.7 にノイマン関数の場合を示す.

### 変形ベッセル関数の場合

図 4.8 に変形ベッセル関数の場合を示す.

### 変形ノイマン関数の場合

図 4.9 に変形ノイマン関数の場合を示す.

### ガンマ関数の場合

図 4.10 にガンマ関数の場合を示す.

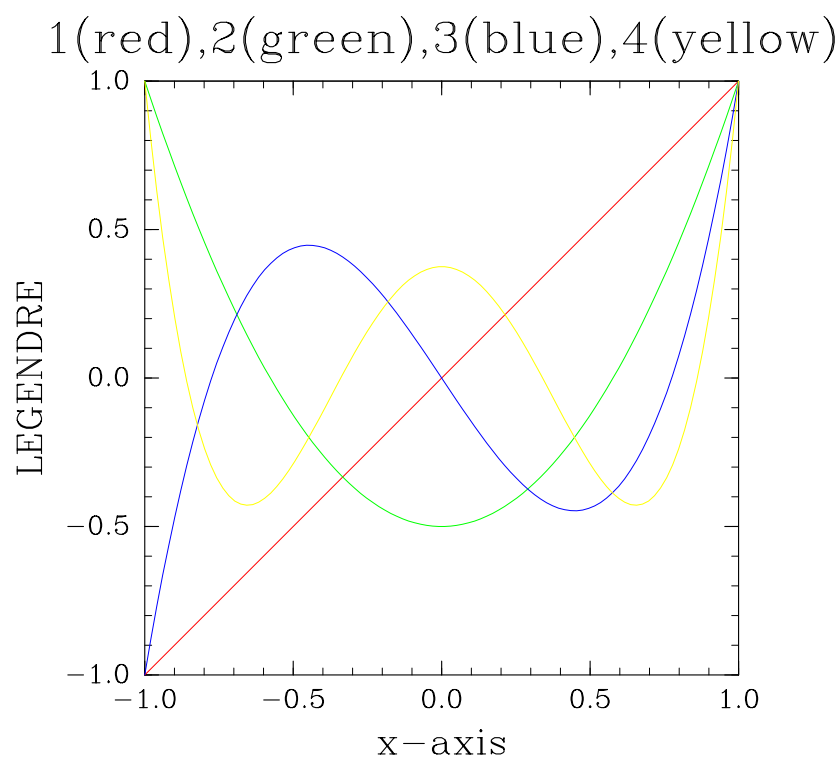


図 4.3: ルジャンドル多項式 (黒線が 0 次, 赤線が 1 次, 緑線が 2 次, 青線が 3 次, 黄線が 4 次).

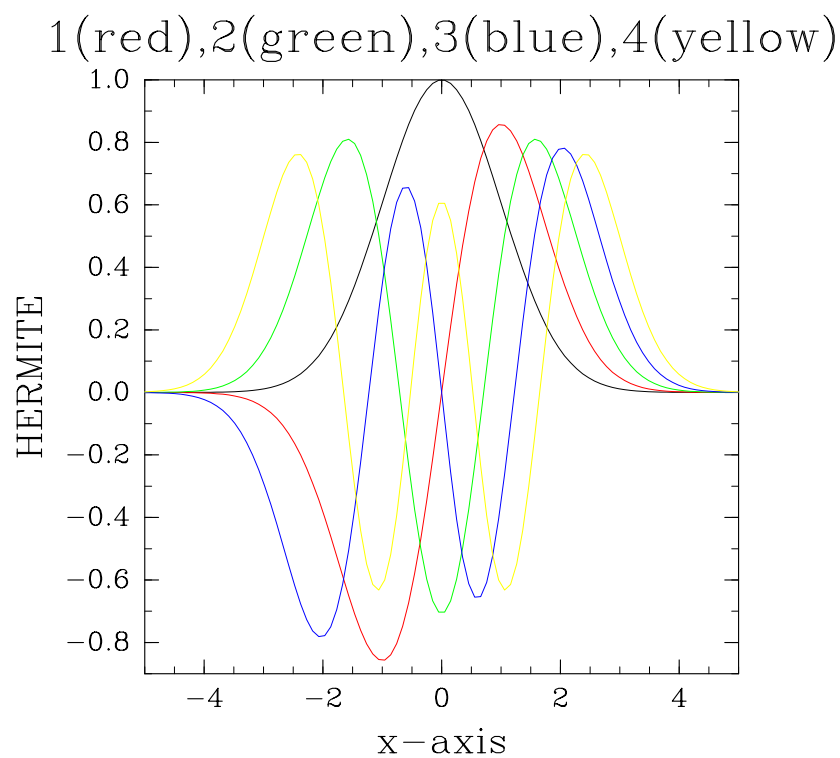


図 4.4: エルミート多項式 (黒線が 0 次, 赤線が 1 次, 緑線が 2 次, 青線が 3 次, 黄線が 4 次).

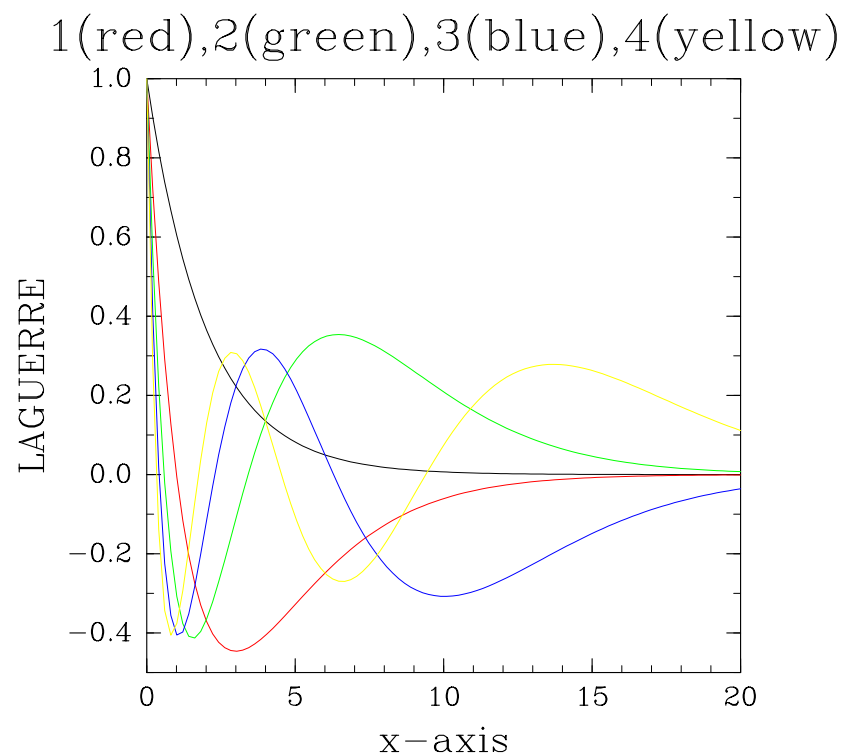


図 4.5: ラゲール多項式 (黒線が 0 次, 赤線が 1 次, 緑線が 2 次, 青線が 3 次, 黄線が 4 次).

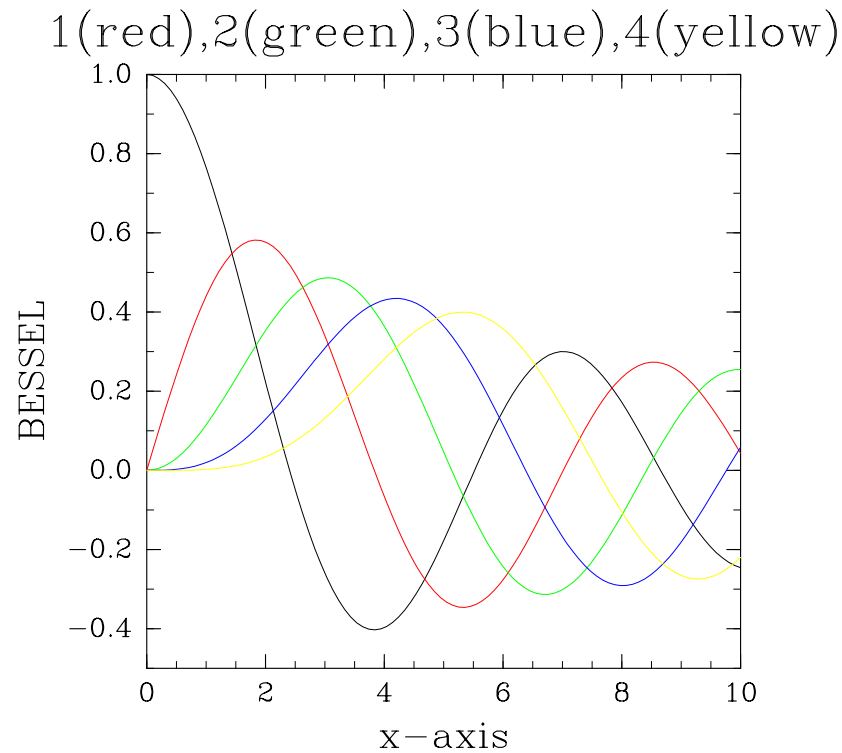


図 4.6: ベッセル関数 (黒線が 0 次, 赤線が 1 次, 緑線が 2 次, 青線が 3 次, 黄線が 4 次).

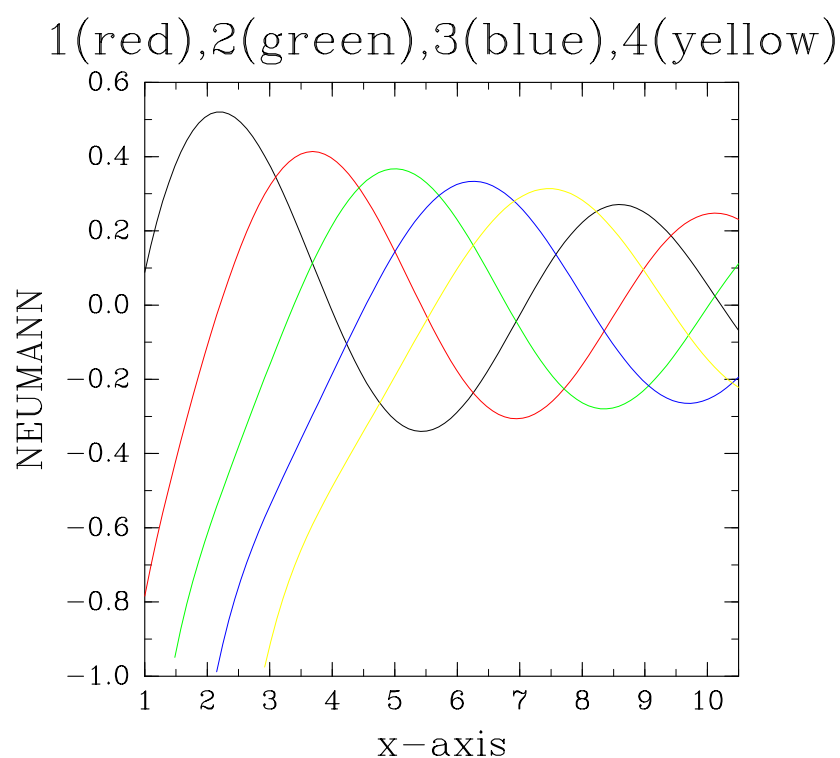


図 4.7: ノイマン関数 (黒線が 0 次, 赤線が 1 次, 緑線が 2 次, 青線が 3 次, 黄線が 4 次).

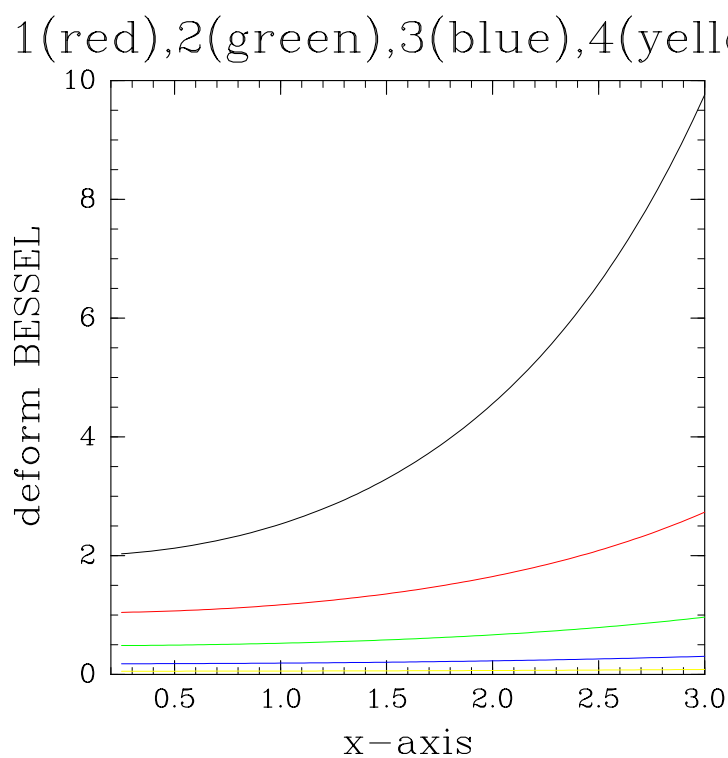


図 4.8: 変形ベッセル関数 (黒線が 0 次, 赤線が 1 次, 緑線が 2 次, 青線が 3 次, 黄線が 4 次).



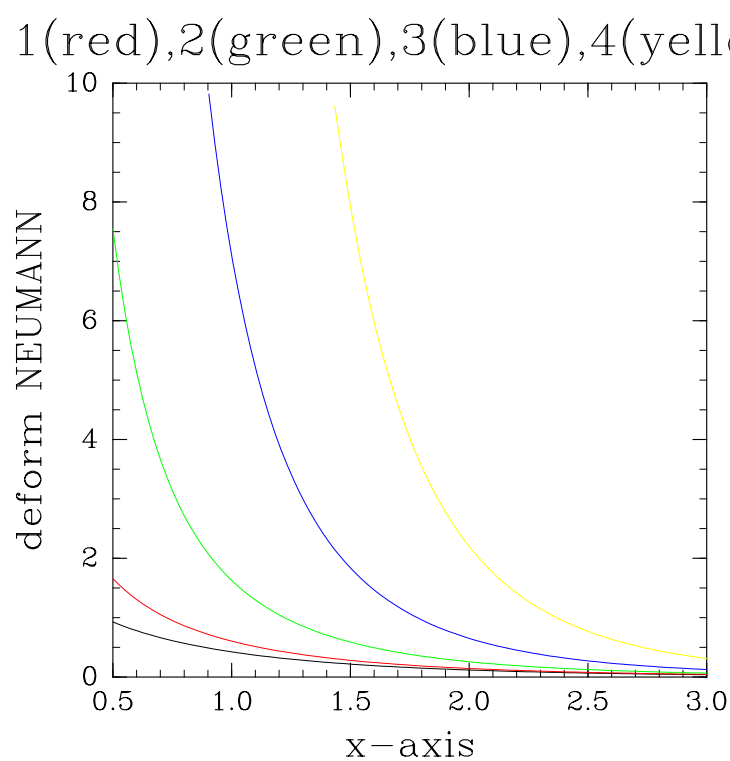


図 4.9: 変形ノイマン関数 (黒線が 0 次, 赤線が 1 次, 緑線が 2 次, 青線が 3 次, 黄線が 4 次).

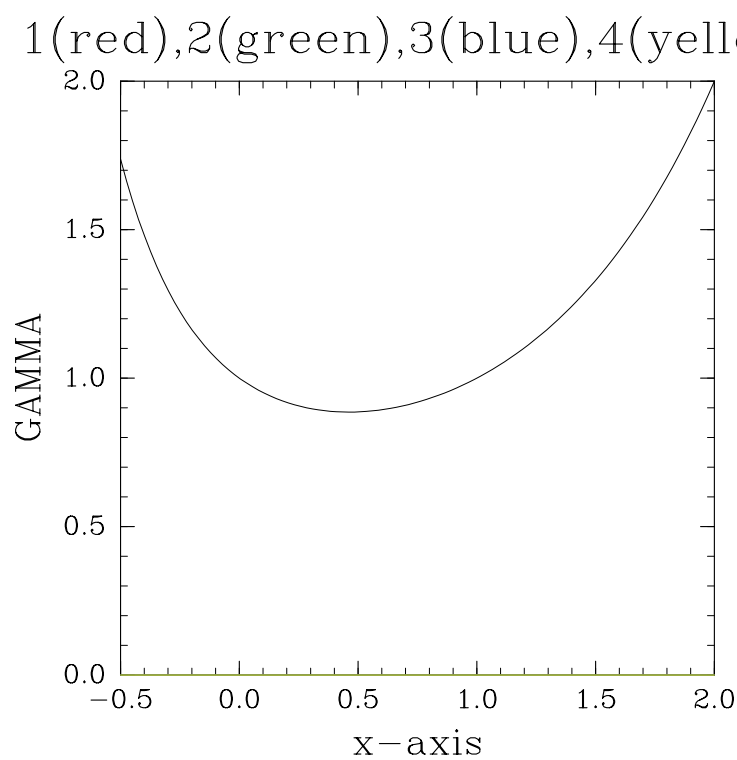


図 4.10: ガンマ関数.

## 4.8 poison

2次元水平面におけるポアソン方程式を計算するプログラム。強制項は領域の中心に有限領域をもつテーブル関数型の強制を設定している。

計算する方程式は

$$\frac{\partial^2 \psi}{\partial x^2} + \frac{\partial^2 \psi}{\partial y^2} = -\rho$$

である。ここで、 $\psi$  は 2 次元の未知関数、 $\rho$  は 2 次元の強制であり、本計算では、領域中心にテーブル型の関数を与えている。

### ネームリスト

ネームリストファイルは `poison.nml`。

|                     |                           |                    |
|---------------------|---------------------------|--------------------|
| <code>nx</code>     | <code>&lt;I&gt;</code>    | 右手系第一座標。           |
| <code>ny</code>     | <code>&lt;I&gt;</code>    | 右手系第二座標。           |
| <code>tp</code>     | <code>&lt;C(4)&gt;</code> | 各境界での境界条件 (備考参照)。  |
| <code>method</code> | <code>I</code>            | ポアソンソルバの選択 (備考参照)。 |

### サンプル

```

1  program poison
2    use gtool_history
3    use Alge_Solv
4    integer :: nx, ny
5    real :: dx, dy
6    real, allocatable :: x(:), y(:)
7    real, allocatable :: rho(:, :)
8    real, allocatable :: psi(:, :)
9    integer :: method
10   character(4) :: tp
11   namelist /input /nx,ny,tp,method
12   read(5,input)
13   allocate(x(nx))
14   allocate(y(ny))
15   allocate(psi(nx,ny))
16   allocate(rho(nx,ny))
17   dx=1.0/real(nx-1)
18   dy=1.0/real(ny-1)
19   x=(/(dx*(i-1),i=1,nx)/)
20   y=(/(dy*(i-1),i=1,ny)/)
21   rho=0.0
22   ! do i=1,nx

```

```

23  ! do j=1,ny
24  ! rho(i,j)=exp(-10.0*((x(i)-0.5)**2+(y(j)-0.5)**2))
25  ! end do
26  ! end do
27  do i=1,nx
28      do j=1,ny
29          if((((i-50)**2+(j-50)**2)*dx*dy)<0.05*0.05)then
30              rho(i,j)=-1.0e4/8.85
31          end if
32      end do
33  end do
34  select case (method)
35  case(1)
36      call Poisson_GauSei(x,y,rho,1.0e-6,tp,psi)
37  case(2)
38      call Poisson_Jacobi(x,y,rho,1.0e-6,tp,psi)
39  end select
40  !-- gtool history (netcdf dump)
41  call HistoryCreate( &                                ! ヒストリー作成
42      & file='poison.nc', title='poison model', &
43      & source='Sample program of gtool_history/gtool5', &
44      & institution='GFD_Dennou Club davis project', &
45      & dims=('/x','y'/), dimsizes=(/nx,ny/), &
46      & longnames=('/X-coordinate','Y-coordinate'/), &
47      & units=('/m','m'/), &
48      & origin=0.0, interval=0.0 )
49  call HistoryPut( 'x', x )                                ! 次元変数出力
50  call HistoryPut( 'y', y )                                ! 次元変数出力
51  call HistoryAddVariable( &                                ! 変数定義
52      & varname='psi', dims=('/x','y'/), &
53      & longname='psi', units='1', xtype='float')
54  call HistoryPut('psi',psi)                                ! 変数出力
55  call HistoryAddVariable( &                                ! 変数定義
56      & varname='rho', dims=('/x','y'/), &
57      & longname='forcing', units='1', xtype='float')
58  call HistoryPut('rho',rho)                                ! 変数出力
59  call HistoryClose
60  end program

```

### 計算結果

領域中心に円形テーブル関数型の強制を与えたときのポアソン方程式の計算結果は図 4.11 である.

- 備考
- 境界条件の設定 tp はポアソンソルバの引数としてそのまま与えているので, 境界条件の数字の意味は 3.1.1, 3.1.2 参照.
  - ポアソンソルバの設定 method は, 1 がガウスサイデル, 2 がヤコビ法.

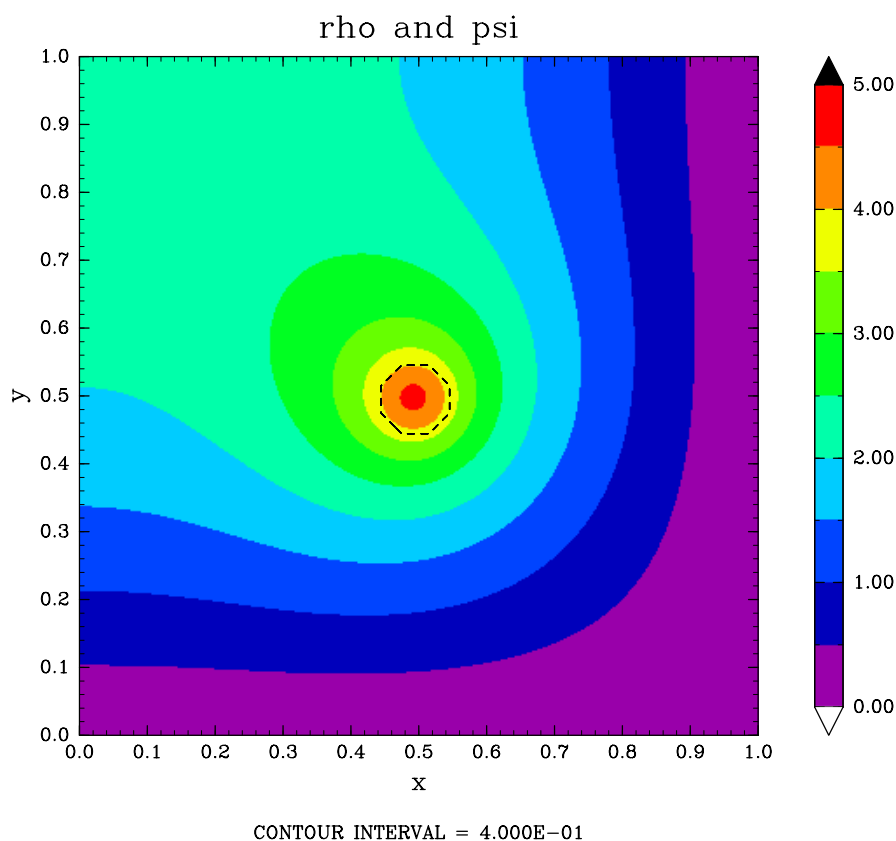


図 4.11: 領域中心にテーブル関数型の強制を与えた場合のポアソン応答. カラーが応答の分布であり, 等値線が強制の境界である.

## 4.9 read\_mgdsst\_nc

mgdsst データを netcdf データに変換するためのプログラム.

### 実行方法・ネームリスト

実行前に, 変換する mgdsst ファイル名を全て `sst.list` という名称のファイルにテキストで保存しておく. その元ファイル名の拡張子を `.nc` とした名称で netcdf ファイルは生成される. 実行は, 単体で実行すれば, 先のリストに示された分だけ自動的に netcdf ファイルに変換される.

```
$ ./read_mgdsst_nc
```

ここで, オリジナルの mgdsst データは海氷を示す値が 888 であるが, この変換によって, その値は 263.0 K に設定されることに注意.

### 計算結果

本プログラムの結果から得られた netcdf のデータをそのまま描画したものが図 4.12 である. 本結果の描画ツールはこちらでは用意していないので, 各自使用しているツールを用いて変換されたい.

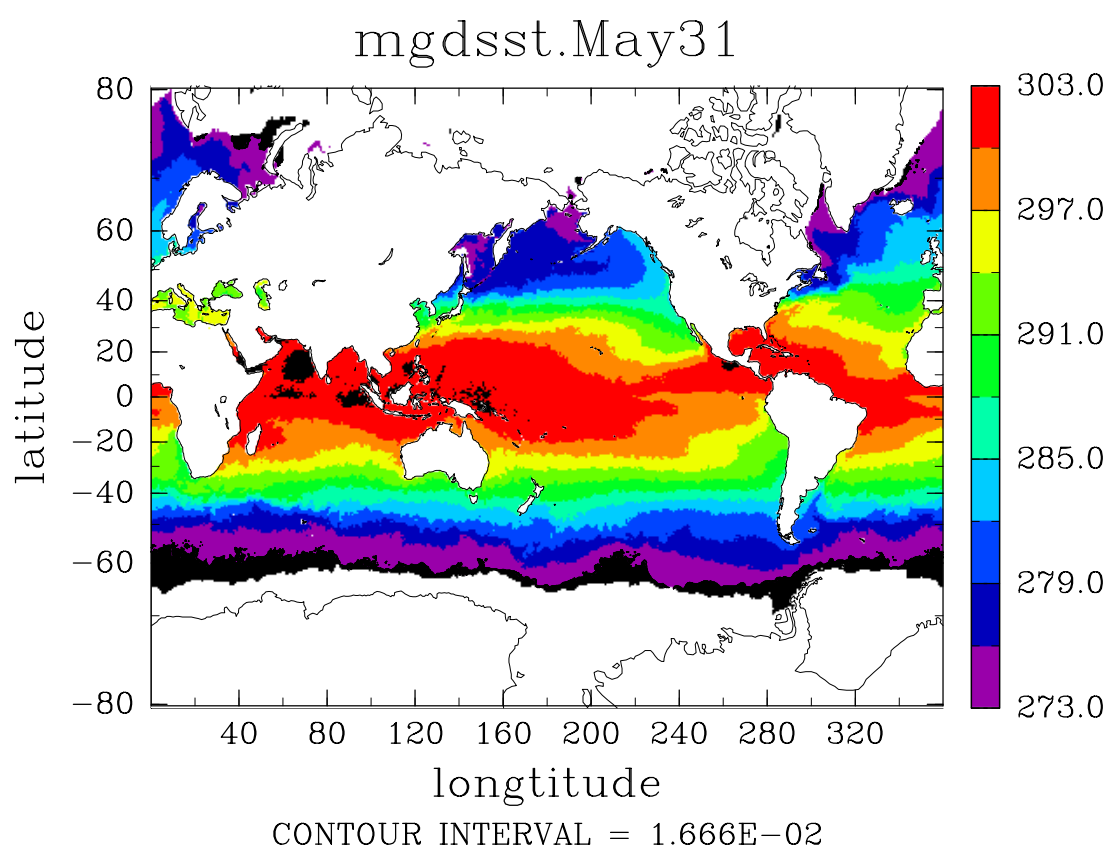


図 4.12: netcdf に変換されたデータから生成された全球海面水温の分布.

## 4.10 SEQ

Pendergrass and Willoughby 2009 (MWR) における 2 次元軸対称ソーヤーエリアセッションモデル (SEQ) である。接線風の渦の分布と環境場の温度構造、壁雲を想定した非断熱加熱の分布を与えると、静力学、傾度風バランスを満たした 2 次循環 (インフロー + 上昇流) の分布を計算する (いわゆる強制・応答問題)。

demo/SEQ 以下にモデル式が格納されている。demo/SEQ のディレクトリには、さらに詳細に各循環を示した図も同梱されているので、確認されたい。元の論文の結果とほぼ同様の結果となっていることが確認されるであろう。

### 実行方法・ネームリスト

本プログラムは 3 つのプログラムを順に実行することで 2 次循環を計算する。

1. sound\_make は 1 次元の理想的なサウンディングファイルを作成する。既にサウンディングがある場合は、このプロセスは省略することができる。
2. initial\_make は先の 1 次元サウンディングファイルを 2 次元方向に拡張する。その際、このプログラム内で定義されている 1 次循環に基づいて、傾度風バランス、温度風バランスするように温度や気圧の水平分布を修正する。
3. 先の 2 次元初期値生成プログラムで作成された 1 次循環と非断熱加熱の分布、温度分布をもとに、2 次循環の分布を計算する。

```
$ ./sound_make < SEQ.nml
```

を実行すると、sounding.dat が生成される。

```
$ ./initial_make < SEQ.nml
```

を実行すると、先の sounding.dat に基づいて、2 次元の初期値データ initial.nc が生成される。

```
$ ./SEQ < SEQ.nml
```

を実行すると、initial.nc から 2 次循環の分布を診断的に計算する。その結果は result\_initial.nc というファイルに出力される。

また、実行に必要なネームリストファイルの内容は以下のとおりである。

```
&input
nr = 751
nz = 21
dr = 2000.0
dz = 1000.0
bc = '1112'
fname = 'initial.nc'
sound_name = 'sounding.dat'
/
```

### 計算結果

本プログラムの結果から得られた 2 次循環の分布は図 4.13 に示す。

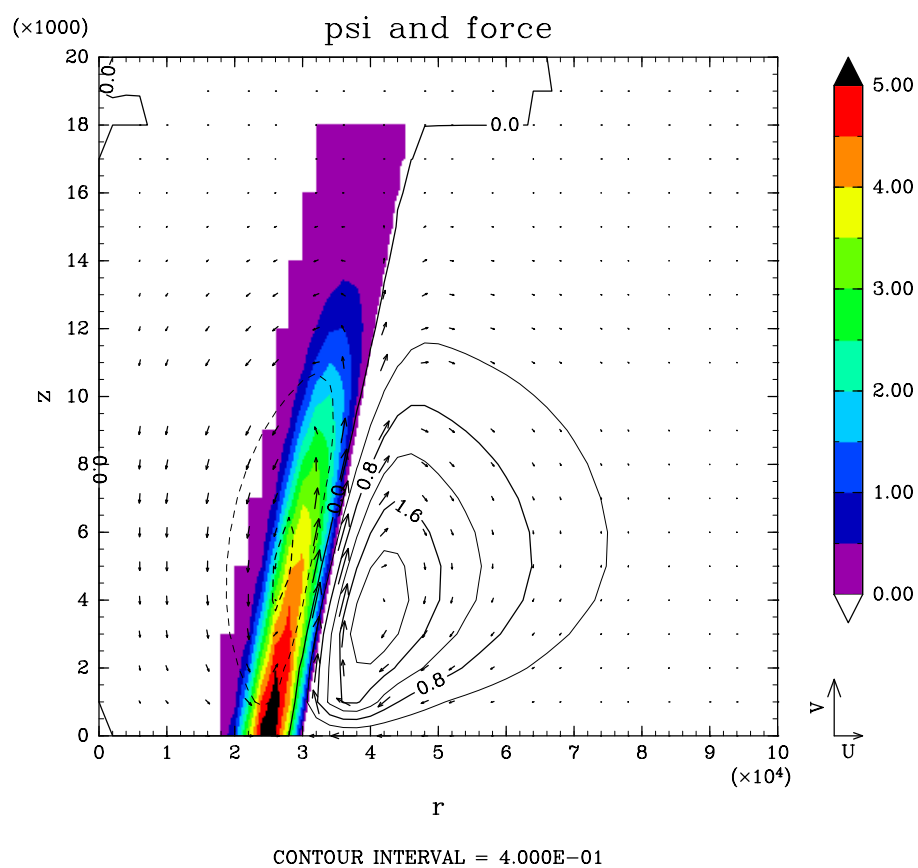


図 4.13: 診断的に求められた 2 次循環 (矢印) と非断熱加熱の分布 (カラー), さらに質量流線関数 (等値線) である.

## 4.11 thermo

Thermo\_Function に登録されている関数について, テストを行うプログラム. 気圧, 温度, 湿度等の情報を与えて, 返された値が妥当なものであるかを検証するプログラム.

### サンプル

```
1  program thermo ! thermo 関係の関数確認用
2      use Thermo_Function
3      implicit none
4      real :: temp, pres, rh, rho, es, qv, tmp
5      write(*,*) "pres"
6      read(*,*) pres
7      write(*,*) "temp"
8      read(*,*) temp
9      write(*,*) "rh"
10     read(*,*) rh
11     es=RHT_2_e(rh,temp)
12     qv=eP_2_qv(es,pres)
13     rho=TP_2_rho(temp,pres)
14     tmp=tetens(temp)
15     write(*,*) "tetens", tetens(temp)
16     write(*,*) "goff-gratch", goff_gratch(temp)
17     write(*,*) "goff-gratch_i", goff_gratch_i(temp)
18     write(*,*) "es_Bolton", es_Bolton(temp)
19     write(*,*) "es_TD", es_TD(es)
20     write(*,*) "LH", LH(temp)
21     write(*,*) "eP_2_qv", eP_2_qv(es,pres)
22     write(*,*) "TP_2_qvs", TP_2_qvs(temp,pres)
23     write(*,*) "qvP_2_e", qvP_2_e(qv,pres)
24     write(*,*) "theta_dry", theta_dry(temp,pres)
25     write(*,*) "theta_moist", theta_moist(temp,pres,qv)
26     write(*,*) "thetaP_2_T", thetaP_2_T(temp,pres)
27     write(*,*) "thetaT_2_P", thetaT_2_P(temp,temp)
28     write(*,*) "TqvP_2_TLCL", TqvP_2_TLCL(temp,qv,pres)
29     write(*,*) "thetae_Bolton", thetae_Bolton(temp,qv,pres)
30     write(*,*) "thetaes_Bolton", thetaes_Bolton(temp,pres)
31     write(*,*) "TqvP_2_thetae", TqvP_2_thetae(temp,qv,pres)
32     write(*,*) "TqvP_2_thetaes", TqvP_2_thetaes(temp,pres)
33     write(*,*) "RHT_2_e", RHT_2_e(rh,temp)
34     write(*,*) "eT_2_RH", eT_2_RH(es,temp)
35     write(*,*) "RHTP_2_qv", RHTP_2_qv(rh,temp,pres)
```



```
36     write(*,*) "qvTP_2_RH", qvTP_2_RH(qv,temp,pres)
37     tmp=exner_func_dry(pres)
38     write(*,*) "exner_func_dry", tmp
39     write(*,*) "hypsometric_form", hypsometric_form(pres, 0.0, temp, 100.0)
40     write(*,*) "rhoT_2_P", rhoT_2_P(rho,temp)
41     write(*,*) "rhoP_2_T", rhoP_2_T(rho,pres)
42     write(*,*) "TP_2_rho", TP_2_rho(temp,pres)
43     write(*,*) "get_gamma_d", get_gamma_d()
44     write(*,*) "moist_laps_temp", moist_laps_temp(pres,temp,pres-10000.0)
45 end program
```

## 4.12 Thorpe

Thorpe and Bishop (1995) によって計算された PV inversion の 3 次元理想モデルを 2 次元版にして簡易計算させたモデル. 領域中央に円形の PV アノマリーを配置し, それに応答するジオポテンシャルの分布を計算する. ソースコードの強制項部分を変更するだけで, 様々なタイプのアノマリに対する応答を計算することができる. 出力結果は, ジオポテンシャルとそこから計算される地衡風の分布が格納されている.

### 実行方法・ネームリスト

本プログラムは以下のように実行する.

```
$ ./Thorpe < Thorpe.nml
これにより計算結果である Thorpe.nc が生成される.
```

また, 実行に必要なネームリストファイルの内容は以下のとおりである.

```
&input
nx=100
ny=100
tp='1111'
method=2
/
```

### 計算結果

本プログラムの結果から得られた 2 次循環の分布は図 4.14 に示す. 2 次元計算であるため, 地衡風は 1 成分しか計算することはできない. カラーで示した量は紙面に垂直な成分を示したものである.

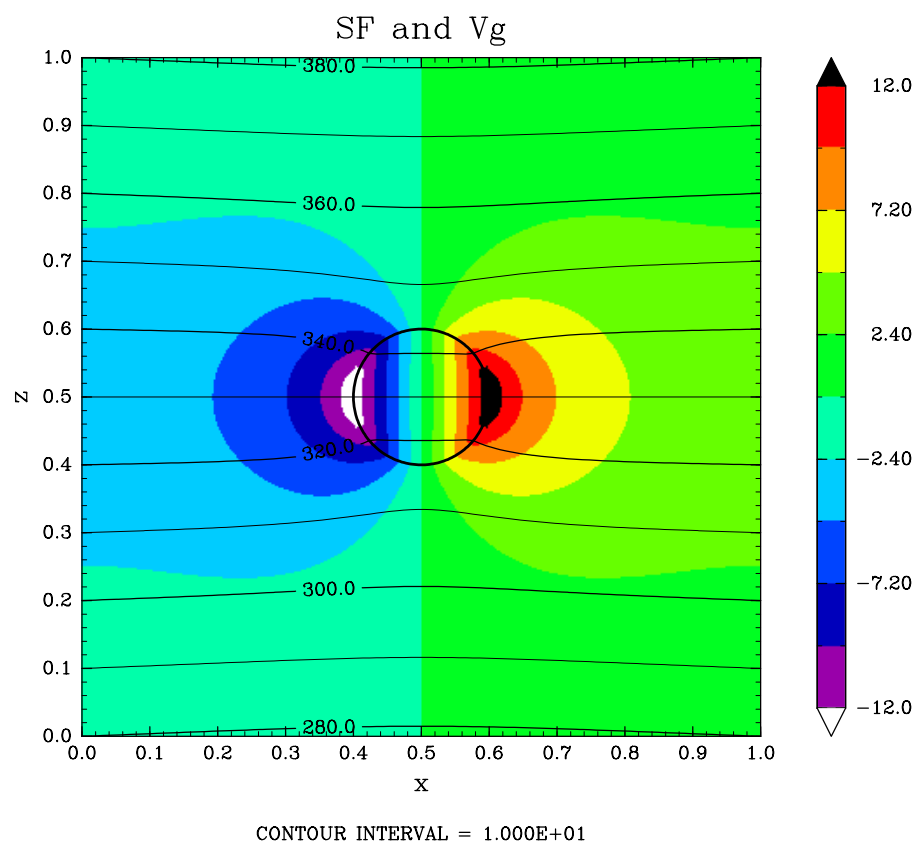


図 4.14: 中央の円形の黒線を境界にもつ PV アノマリが存在する場合の温位 (等値線) と地衡風 (カラー) の応答.

### 4.13 wind

モジュール Derivation, Trajectory のルーチンをテストするプログラム。  
解析的な気圧場を与えて、そこから気圧勾配を計算し地衡風場を、その得られた地衡風について渦度を計算し、さらに速度場から流線計算を行う。気圧場の分布と最後に計算された流線の軌跡が一致することを確かめることができる。ここで与える気圧場  $p(x, y)$  は

$$p(x, y) = \cos x + \cos y$$

である。

#### サンプル

```

1  program wind
2      use Math_Const
3      use trajectory
4      use Derivation
5      use gtool_history
6      implicit none
7      integer :: i, j, k
8      integer, parameter :: nx=300, ny=300, tstep=20000
9      real, dimension(nx,ny) :: u, v, rot_2d, pres, dummy
10     real, dimension(tstep,1) :: tx, ty
11     real :: x(nx), y(ny)
12     real, parameter :: xmin=-pi, xmax=pi, ymin=-pi, ymax=pi, dt=0.1
13     real :: dx, dy
14     real :: xscale, yscale
15     dx=(xmax-xmin)/(nx-1)
16     dy=(ymax-ymin)/(ny-1)
17     dummy=-10.0
18     x=/( (xmin+dx*(i-1)), i=1, nx) /
19     y=/( (ymin+dy*(i-1)), i=1, ny) /
20     do j=1, ny
21         do i=1, nx
22             pres(i,j)=cos(x(i))+cos(y(j))
23         end do
24     end do
25     do j=1, ny
26         call grad_1d( x, pres(:,j), v(:,j) )
27     end do
28     do i=1, nx
29         call grad_1d( y, pres(i,:), u(i,:) )
30     end do
31     v=-v

```

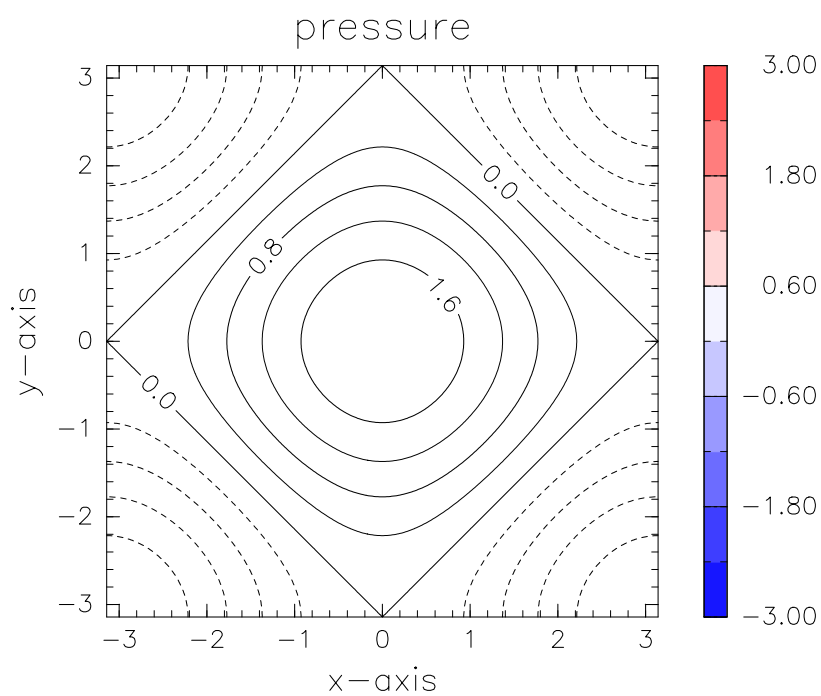
```

32    call curl( x, y, u, v, rot_2d )
33    call Stream_Line_2d( dt, tstep, 0.1, 0.1, x, y, u, v, tx(:,1), ty(:,1), 'RK4' )
34    !-- gtool writing (netcdf)
35    call HistoryCreate( &                                ! ヒストリー作成
36        & file='wind.nc', title='derivation test program', &
37        & source='Sample program of gtool_history/gtool5', &
38        & institution='GFD_Dennou Club davis project', &
39        & dims=('/x','y'/), dimsizes=(/nx,ny/), &
40        & longnames=('/X-coordinate','Y-coordinate'/), &
41        & units=('/m','m'/), &
42        & origin=0.0, interval=0.0 )
43    call HistoryPut('x',x)                                ! 次元変数出力
44    call HistoryPut('y',y)                                ! 次元変数出力
45    call HistoryAddVariable( &                            ! 変数定義
46        & varname='pres', dims=('/x','y'/), &
47        & longname='pressure', units='1', xtype='float')
48    call HistoryPut('pres',pres)                          ! 変数出力
49    call HistoryAddVariable( &                            ! 変数定義
50        & varname='rot', dims=('/x','y'/), &
51        & longname='rotation', units='1/s', xtype='float')
52    call HistoryPut('rot',rot_2d)                          ! 変数出力
53    call HistoryAddVariable( &                            ! 変数定義
54        & varname='u', dims=('/x','y'/), &
55        & longname='X-wind', units='1', xtype='float')
56    call HistoryPut('u',u)                                ! 変数出力
57    call HistoryAddVariable( &                            ! 変数定義
58        & varname='v', dims=('/x','y'/), &
59        & longname='Y-wind', units='1', xtype='float')
60    call HistoryPut('v',v)                                ! 変数出力
61    call HistoryClose
62    end program

```

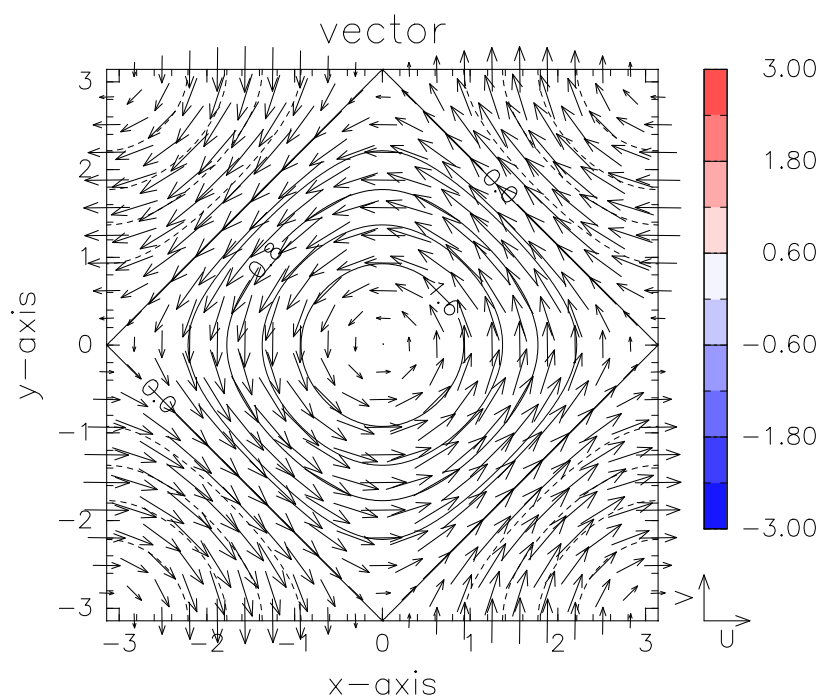
### 計算結果

解析的に与えた気圧場は図 4.15, この気圧場から計算される水平速度場は図 4.16, 得られた速度場から計算される鉛直渦度場は図 4.17, 水平速度場をもとに計算される流線は図 4.18 である。ここで、流線は領域中心から最も近い円形であり、気圧場の等値線と同心円を形成していることに注意。



CONTOUR INTERVAL = 4.000E-01

図 4.15: 解析的に与えられた気圧の場.



CONTOUR INTERVAL = 4.000E-01

図 4.16: 気圧場から診断的に求められた水平風速場.

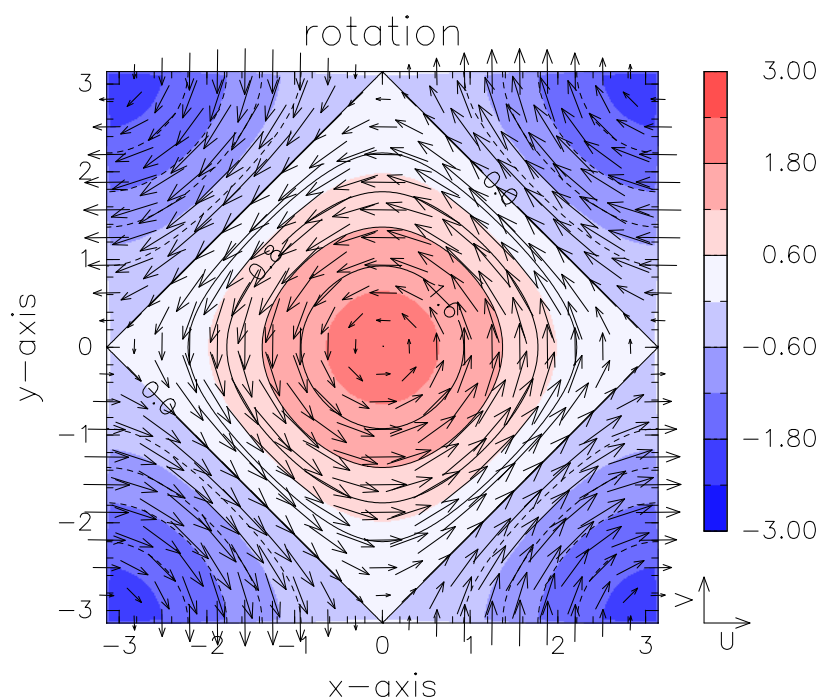


図 4.17: 速度場から求められた鉛直渦度場.

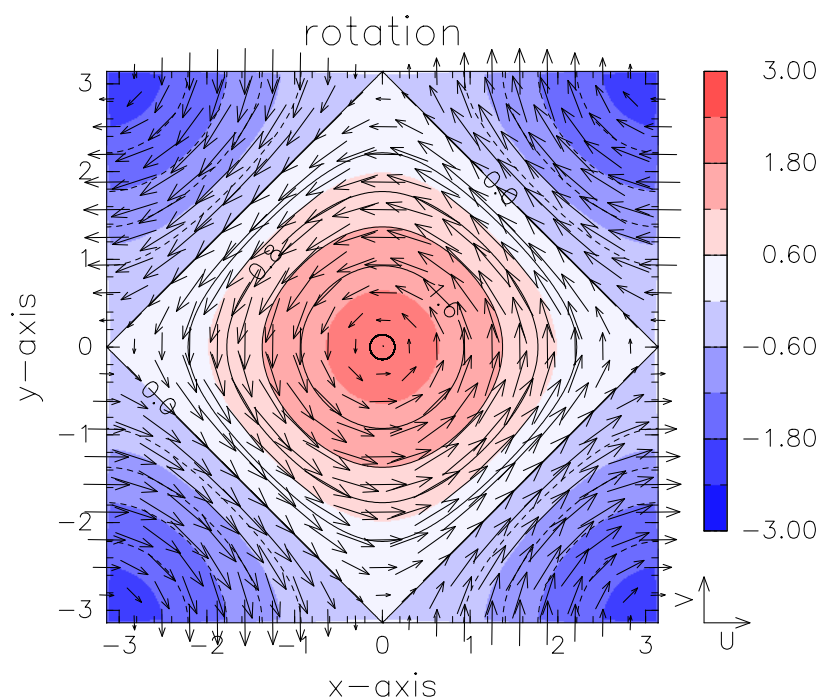


図 4.18: 速度場から計算される流線の軌跡.

## 第5章 付録

Ver.1.0.0.0 で完成予定

## 参考文献

- 浅井冨雄, 武田喬男, 木村竜治, 1981: 大気科学講座 2 雲や降水を伴う大気. 東京大学出版会, 249 pp.
- Bolton, D., 1980: The computation of equivalent potential temperature. *Mon. Wea. Rev.*, **108**, 1046–1053.
- Emanuel, K. A., 1994: *Atmospheric Convection*. Oxford University Press, 580 pp.
- 平岡和幸, 堀玄, 2004: プログラミングのための線形代数. オーム社, 355 pp.
- Holton, J. R., 2004: *An Introduction to Dynamic Meteorology. Fourth Edition*. Elsevier Academic Press, 535 pp.
- 石岡圭一, 2004: スペクトル法による数値計算入門. 東京大学出版会, 232 pp.
- 森口繁一, 一松信, 宇田川 一, 1987: 岩波数学公式 III 特殊関数. 岩波書店, 310 pp.
- Murakami, M., 1990: Numerical modeling of dynamical and microphysical evolution of an isolated convective cloud. -The 19 July 1981 CCOPE cloud-. *J. Met. Soc. Japan.*, **68**, 107–128.
- 二宮洸三, 2000: 気象がわかる数と式. オーム社, 303 pp.
- 小倉義光, 1987: 気象力学通論. 東京大学出版会, 249 pp.
- 大関誠, 2006: 気象研究ノート 第 211 号 スペクトルモデル入門. 日本気象学会, 175 pp.
- Pedlosky, J., 1987: *Geophysical Fluid Dynamics. Second Edition*. Springer, 710 pp.
- Pendergrass, A. G. and H. E. Willoughby, 2009: Diabatically induced secondary flows in tropical cyclones. part I: Quasi-steady forcing. *Mon. Wea. Rev.*, 805–821.
- Rotunno, R. and K. A. Emanuel, 1987: An air-sea interaction theory for tropical cyclones. Part II: Evolutionary study using a nonhydrostatic axisymmetric numerical model. *J. Atmos. Sci.*, **44**, 542–561.
- 巽友正, 1982: 新物理学シリーズ 21 流体力学. 培風館, 453 pp.